## République Algérienne Démocratique et Populaire

## Ministère de l'Enseignement Supérieure et de la Recherche Scientifique

## Université Mouloud Mammeri Tizi Ouzou

Faculté des Sciences Biologiques et des Sciences Agronomiques

Département de Biochimie et Microbiologie



Thèse Présentée en vue de l'obtention du diplôme de: Doctorat es Sciences Spécialité: Biotechnologie

### **THEME**

Caractérisation biochimique et activités biologiques des extraits de l'olivier de Laperrine *Olea europaea* subsp *laperrinei* (Batt. et Trab.) Cifferi

## Présentée par Souad LAHCENE

Devant le jury

Présidente Mme Djamila ALI AHMED SADOUDI Pr Directeur Mr Karim HOUALI Pr Co-Directrice Mme Mebarka HARCHAOUI OUAFI Pr Examinateurs Mme Yasmina BENAZZOUG Pr Mr Djamel BAALI-CHERIF Pr Mme Adiba BENAHMED DJILALI Me

Professeur à l'UMMTO Professeur à l'USTHB Professeur à l'USTHB Professeur à l'ENSA MCA à l'UMMTO

Année universitaire 2019-2020



## REMERCIEMENTS

Au terme de ce travail, il m'est agréable de présenter mes plus vifs remerciements à Mme le professeur Ali Ahmed Sadoudi D. de l'UMMTO, pour me faire l'honneur de présider le jury qui va examiner ce travail. Je tiens à lui exprimer ma reconnaissance pour m'avoir facilité la procédure administrative, étape cauchemar de tous les thésards.

J'ai toujours rêvée d'avoir Mme le professeur Benazzoug Y. dans l'un de mes jury de thèse depuis que je l'ai connue en tant qu'enseignante à l'USTHB. Aujourd'hui elle me permet de réaliser ce rêve en acceptant d'examiner ce travail. C'est avec gratitude que je l'en remercie.

Je remercie vivement et doublement Mr le professeur Baali-Cherif D. de l'ENSA d'El Harrach. D'abord pour m'avoir fait connaître l'olivier de Laperrine, en effet; c'est au cours de la soutenance de son doctorat d'état que j'ai appris à respecter et à aimer cet arbre qui nous donne l'espoir de sauver un jour l'olivier cultivé du réchauffement climatique. Ensuite de me faire l'honneur de participer à ce jury en tant qu'examinateur.

Je tiens à présenter mon profond respect et mes plus vifs remerciements au Dr Benahmed Djilali A., maître de conférence à l'UMMTO de m'honorer de sa présence en tant qu'examinatrice et de me faire profiter de son expérience dans le domaine des polyphénols.

Je suis particulièrement reconnaissante envers le professeur Harchaoui-Ouafi M. de l'USTHB qui était présente pour moi, elle m'a soutenue et défendue au moment de ma transition. Je la remercie du fond du cœur de m'avoir fait l'honneur de co-diriger ce travail.

J'aimerai exprimer ma profonde gratitude à mon mentor, le professeur Houali K. de l'UMMTO. Il a ce don de faire ressortir le meilleur de toutes les personnes qui ont la chance de le connaître et de donner à ses étudiants le meilleur de luimême. Je le remercie du privilège qu'il m'a accordé en acceptant de diriger ce travail. Il m'a fait profiter de son soutien au quotidien, de ses conseils, de ses connaîssances, de sa bienveillance, de sa gentillesse et surtout de sa volonté à voir aboutir ce travail.

Il m'a donné la chance de partager l'ambiance amicale et chaleureuse de son équipe qui à comme leitmotiv le partage et l'entre-aide.

J'ai été contente voir même heureuse et très chanceuse d'avoir travaillé avec le Dr Mestar-Guechaoui N. et le Dr Aiche-Iratni G., qui m'ont beaucoup aidé à travers les discussions animées et très constructives que nous avons eu au cours de mes manipulations, elles n'ont pas hésité à partager leurs expériences avec moi ce qui m'a grandement aider à avancer dans mon travail.

Je remercie ma chère amie Mme Ammarkhodja N. de m'avoir aidé et soutenue tout au long de mon expérimentation et qui a grandement contribué à la saisie et à l'arrangement de mes références bibliographiques. Je lui souhaite toute la réussite qu'elle mérite d'avoir.

Je suis reconnaissante envers le Dr Taibi-Boumedjel F. de l'université de Annaba de m'avoir permis de réaliser mon expérimentation sur l'aspect bio-insecticide des extraits de l'olivier de Laperrine dans son laboratoire et je remercie vivement le Dr Boumendjel M. d'avoir rendu cette manipulation possible.

Je remercie du fond du cœur Mme Ali Ahmed S. et le Dr Liman A., pour leur aide inestimable concernant les traitements statistiques de mes données et l'interprétation des résultats.

Je tiens à remercier le Dr Bettache Z. et le Dr Benakmoune T. pour les HPLC sur les différents extraits de l'olivier de Laperrine réalisées au sein de leur laboratoire.

C'est avec une profonde gratitude que je remercie Mme le Pr Gaceb Terrak R. de m'avoir aidé à identifier les principaux composés chimiques des extraits de l'olivier de Laperrine.

Je tiens à remercier et à exprimer ma gratitude à Mme Sahki R. de la station de l'INRF de Tamanrasset, de m'avoir facilité la récolte du matériel végétal sur le terrain. Je la remercie pour sa présence, ses conseils, sa patience et sa bienveillance à mon égard

J'adresse un merci amical et reconnaissant à Mme Moulahoum A. et au Dr Benghanem N. pour leurs nombreuses lectures, pour leur soutien, leur extrême gentillesse, leur chaleur humaine et leur enthousiasme tellement communicatif qui m'a redonné ce courage qui me manquait parfois.

Je remercie chaleureusement toutes les personnes qui ont permis que cette thèse voit le jour. Mr Bezzazi M. L., le Dr Mansour Benamar N., le Pr Saadoun Smail N., le Dr Boudiaf Nait Kaci M., le Pr Benabdesslam R., le Dr Hannachi L., le Dr Daoudi H., le Dr Bariz K., Mr Sebbane H., le Dr Moualek I., le Dr Hacide F., le Dr Bouacem K. et le Dr Meguelatti H.

Je suis très reconnaissante à Houria, notre ingénieur de laboratoire, pour son aide et à Naima et Samia nos secrétaires du département.

Je ne peux oublier de remercier Mr Benramdane E, actuellement doctorant à l'université de Bejaia, qui à toujours répondu présent à mes appels et qui m'a beaucoup aidé lors de mise en forme de ce document.

Enfin, je dois une affectueuse pensée à ma famille qui m'a soutenue tout au long de ce travail.

## ملخص

شجرة زيتون اللابرين من الأنواع المستوطنة التي لوحظت في الصحراء الوسطى, الجزائر النيجر. والسودان انه قريب من شجرة الزيتون المتوسطية ويمثل موردا وراثيا هاما. إن جودة مقاومته للجفاف ، تجعله مصدرًا محتملاً لمختلف أصناف الزيتون المزروعة.

تتعلق هذه الدراسة بالتوصيف الكيميائي للمستخلصات من شجرة زيتون Laperrine وتقييم إمكاناتها المضادة للأكسدة والمبيدات الحيوية. في هذا السياق ، يتم تحديد نشاط مضادات الأكسدة في المختبر من خلال إجمالي سعة مضادات الأكسدة ، واختبارات H2O2 ،DPPH ،FRAP وتبييض بيتا كاروتين. سمح لنا التحليل الكيميائي باكتشاف أولوروبين ، هيدروكسي إيترزول ، لوتولين ، أبجينين ، حمض الكافيين ، روتين ، نارينجين-7-غلوكوسيد و لوتولين-7-غلوكوسيد. وقد أبرزت الجرعات الكيميائية التي طورتها الأشعة فوق البنفسجية المرئية مستويات عالية من الفينولات والفلافونويدات والعفص الكلي. يشرح ثراء مستخلصات البوليفينول الإمكانات العالية المضادة للأكسدة لشجرة زيتون اللابرين. تم اختبار تأثير المبيدات الحشرية البيولوجية للمستخلصات على Ephestia kuehniella ، وهي آفة ضد البقول الجافة . إن إدارتها عن طريق الاستنشاق إلى الشرانق الخارجة حديثًا تطيل مدة تطورها اليرقي وتزعج تكاثر البالغين. تم اختباره على الفراشات البالغة، حيث تسبب المستخلصات المختلفة الوفيات المبكرة.

كلمات البحث: Olea europaea subsp. laperrinei، Hoggar ، البوليفينول ، HPLC ، نشاط مضاد للأكسدة ، مبيدات حشرية حيوية ، Ephestia kuehniella ، التكاثر

## **SOMMAIRE**

		Page
INTRODUCT	TION	2
CHAPITRE 1	: SYNTHESE BIBLIOGRAPHIQUES	
1 <sup>ERE</sup> PAR	TIE: PRESENTATION DE L'OLIVIER DE LAPERRINE ET DI PYRALE DE LA FARINE	E LA
1-1	Caractéristiques générales de l'olivier de Laperrine	8
1-2	Présentation de la pyrale de la farine ( <i>Ephestia kuehniella</i> )	15
$2^{\mathrm{EME}}$	PARTIE: ETUDE PHYTOCHIMIQUE DES EXTRAITS DE FEU DE L'OLIVIER DE LAPERRINE	UILLES
1-3	Généralités sur les radicaux libres	19
1-4 1-4-1 1-4-1-1 1-4-1-2 1-4-1-2-1 1-4-1-2-2 1-4-2 1-5 1-5-1 1-5-2 1-6 1-6-1 1-6-2 1-6-3	Généralités sur les métabolites secondaires Les non flavonoïdes Les acides phénols Les tanins et les lignines Les tanins La lignine Les flavonoïdes.  Rôles et Activités biologiques des polyphénols Rôles des tanins Rôles des flavonoïdes.  Mécanismes d'action des polyphénols Transfert d'atome d'hydrogène Transfert d'électron Chélation des métaux de transition  Activités biologiques des l'olivier et des extraits de l'olivier	24 26 26 27 27 27 28 29 30 31 33 33 33 33
<b>CHAPITRE I</b> 2-1 2-1-1	I : MATERIEL ET METHODES D'ETUDES  Matériel  Matériel végétal	37 37
2-1-2 2-1-3	Elevage de la pyrale au laboratoire	40 40

2-2	Méthodes	41	
2-2-1	Procédure d'extraction	41	
2-2-1-1	Extraction aqueuse	41	
2-2-1-2	Extraction éthanolique	42	
2-2-1-3	Extraction acide		
2-2-2	Analyse quantitative.		
2-2-2-1	Détermination de la teneur en phénols totaux		
2-2-2-2	Détermination de la teneur en flavonoïdes totaux		
2-2-2-3	Détermination de la teneur en tanins totaux		
2-2-2-4	Dosage global des aglycones flavoniques 4		
2-2-2-5	Dosage des anthocyanes		
2-2-2-6	Dosage des C-glycosides	48	
2-2-3	Analyse qualitative	48	
2-2-3-1	Teneurs absolues des molécules biochimiques	48	
2-2-3-1	Activités antioxydantes	49	
2-2-4-1	Capacité antioxydante totale ou test du phosphomolybdate (TAC Assay).	49	
2-2-4-2	Détermination du pouvoir réducteur (FRAP Assay).	49	
2-2-4-3	Détermination de l'activité de piégeage des radicaux libres (DPPH	7)	
2-2-4-3	Assay)	50	
2-2-4-4	Inhibition du blanchiment du β-carotène (BCB Assay)	51	
2-2-4-4	Détermination de l'activité de piégeage du peroxyde d'hydrogène	52	
2-2-4-3	Test hémolytique	52	
2-2-6	Activité bio-insecticide.	52	
2-2-7	Traitements des données.	54	
CHAPITR	E III : RESULTATS ET DISCUSSION		
1 <sup>ERF</sup>	PARTIE: ACTIVITES ANTIOXYDANTES		
3-1	Analyse quantitative	57	
3-2	Analyse qualitative	60	
3-3	Activités antioxydantes	61	
3-3-1	Capacité antioxydante totale	61	
3-3-2	Pouvoir réducteur	61	
3-3-3	Activité de piégeage des radicaux libres DPPH	64	
3-3-4	Inhibition du blanchiment du β-carotène	65	
3-3-5	Activité de piégeage du peroxyde d'hydrogène	67	
5 5 5	Tien, no do progongo da poronjuo a njurogono	37	
3-4	Test hémolytique	69	
	Conclusion	69	

## 2<sup>EME</sup> PARTIE: ACTIVITE INSECTICIDE

3-2	Analyse quantitative	72			
3-3	Analyse qualitative	73			
3-4	Effet des extraits bruts de l'olivier de Laperrine sur la reproduction d'Ephestia kuehniella	75			
3-4-1	Effet des extraits bruts sur la période de développement nymphal	75			
3-4-2	Effet des extraits bruts de l'olivier de Laperrine, sur durée de la				
	période de pré-oviposition	78			
3-4-3	Effet des extraits bruts de l'olivier de Laperrine sur la durée de la période d'oviposition	79			
3-4-4	Effet des extraits bruts de l'olivier de Laperrine sur la fécondité de la femelle d' <i>Ephestia kuehniella</i>	81			
3-5	Effet des extraits bruts de l'Olivier de Laperrine sur la mortalité des adultes d' <i>Ephestia kuehniella</i>	83			
	Conclusion	87			
CONCLUSION GENERALE ET PERSPECTIVES					
INDEX D	INDEX DES TABLEAUX ET DES FIGURES				
REFERENCES BIBLIOGRAPHIQUES					
ARTICL	F.	125			

## LISTE DES ABREVIATIONS

**RAPD** Random Amplified Polymorphic DNA (ADN polymorphe amplifié au

hasard)

**AFLP** Amplified Fragment Length Polymorphism (Polymorphisme de longueur des

fragments amplifiés)

**BP** Before Present (Nombre d'années avant 1950, date fixée arbitrairement

comme année de référence et correspond aux premiers essais de datation par

le carbone 14.)

EE Extrait éthanolique EA Extrait aqueux

**EF** Extrait éthéré de feuilles **BF** Extrait butanolique de feuilles

EXT Extrait éthéré de tiges
BT Extrait butanolique de tiges

PT Polyphénols totaux
FT Flavonoïdes totaux
TT Tanins totaux

EAG Equivalent acide gallique
EQ Equivalent quercétine
EAT Equivalent acide tannique
EPC Equivalent procyanidine
EO Equivalent orientine

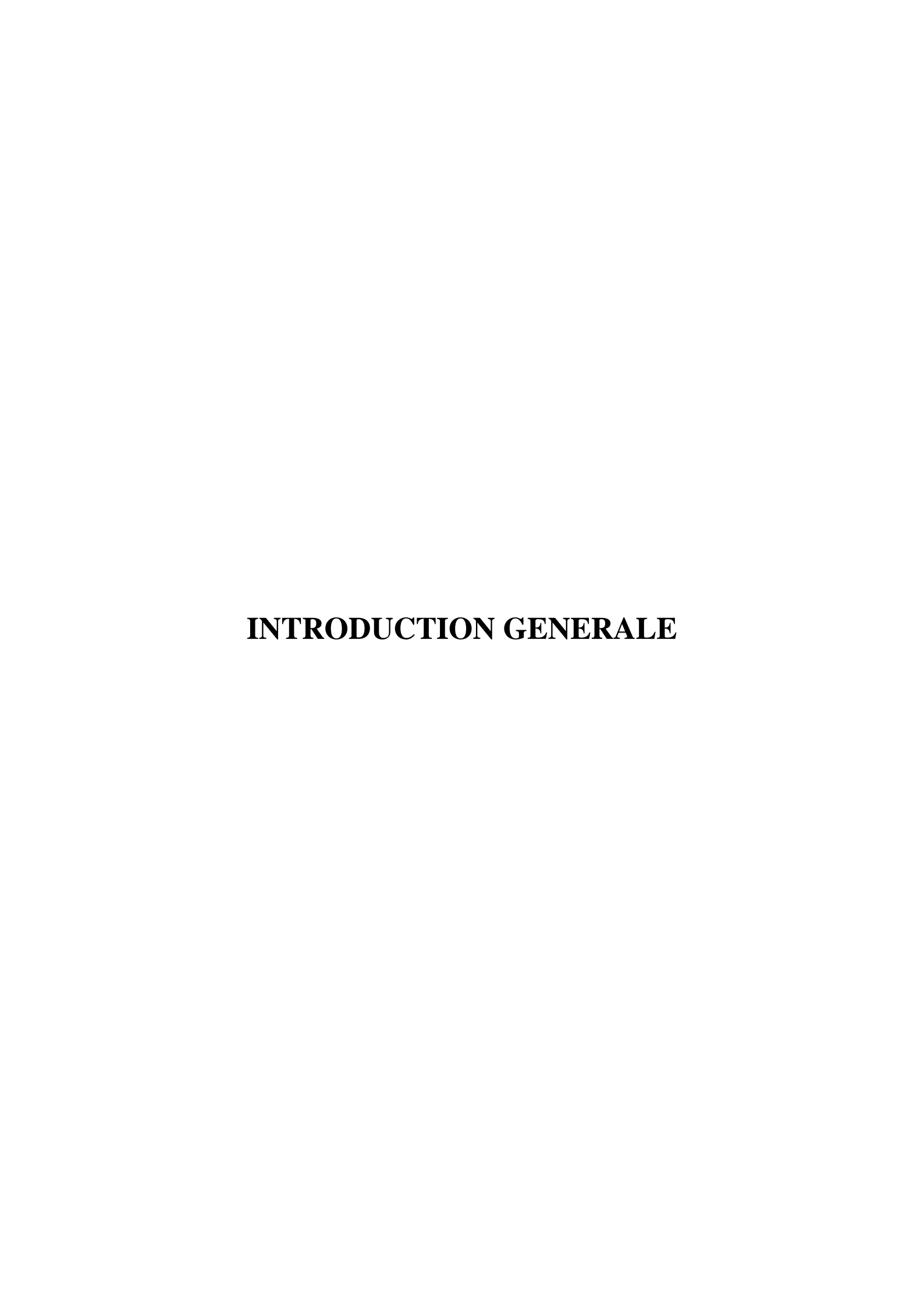
EAA Equivalent acide ascorbique
EH Equivalent hydroxytyrosol
EAC Equivalent acide caféique
EC Equivalent catéchine
ETR Equivalent troxol

MS Matière sèche
PV Poudre végétale
RS Résidu sec

**TAC** Capacité antioxydante totale ou test du phosphomolybdate

**FRAP** Pouvoir réducteur

**BCB** Test d'inhibition du blanchiment du β-carotène



## INTROCUCTION

Le Hoggar ou Ahaggar est situé au Sahara central, au Sud-est de l'Algérie. Il est limité au Sud par le Niger et à l'Est par la Lybie. Il occupe une vaste étendue entre 21° et 25° latitude Nord et 2° et 6° longitude Est, dont la superficie recouvre environ 450000 km². Il est représenté par un ensemble de montagnes dont les sommets atteignent 2000 à 3000 m d'altitude L'extrême rigueur du climat se manifeste par des courants chauds et secs et des précipitations faibles et irrégulières (Baali-Cherif et *al.*, 2007).

Sa richesse floristique ne compte pas moins de 350 espèces végétales (Quezél, 1954). De nombreuses espèces endémiques y sont répertoriées, parmi lesquelles l'olivier de Laperrine. Ce dernier représente un élément fondamental de l'écosystème des montagnes du Hoggar Baali-Cherif et Besnard, 2005; Baali-Cherif et *al.*, 2007; Besnard, 2009).

 Cependant les conditions climatiques extrêmes associées à un très faible taux d'humidité auxquels sont soumises les populations d'olivier ont favorisé la sélection d'individus ayant développé une capacité adaptative qui leur permet de faire face à des conditions environnementales très arides. Cette stratégie adaptative se manifeste au niveau morphologique, physiologique et anatomique.

Ainsi et afin de limiter les pertes en eau par transpiration, il y'a une réduction de la surface foliaire de l'olivier. Les feuilles prennent alors une forme lancéolées-étroites (Baali-Cherif et Besnard, 2005).

Selon Baali-Cherif et *al.* (2007), les stomates sont abondants (263/mm) au niveau de la face inferieure de la feuille, moins exposée au soleil. De plus, la présence d'un grand nombre de trichomes recouvrant la face foliaire supérieure permet de les protéger en améliorant ainsi la tolérance à la sécheresse en limitant les pertes en eau par transpiration (Besnard et *al.*, 2012).

Le système racinaire de l'olivier s'adapte à la profondeur du sol en fonction de sa texture et de sa structure. Ainsi, en conditions de sécheresse, l'olivier à la capacité d'émettre des racines plus profondes à la recherche de l'humidité (Baali-Cherif, 2007).

Son adaptation à la pression pastorale se manifeste par un ralentissement marqué de la croissance, suite auquel l'arbre adopte une architecture buissonnante comprenant des rameaux épineux qui le protègent contre les herbivores (Baali-Cherif, 2007).

Exposé à l'extrême aridité du climat, l'olivier de Laperrine fructifie rarement dans son milieu naturel (Baali-Cherif et Besnard, 2005). En effet, seuls quelques individus sont capables de fleurir et produire des graines (Besnard et *al.*, 2007a). Les herbivores broutent les jeunes pousses réduisant ainsi la régénération naturelle, cette dernière est considérée comme nulle (Baali-Cherif et Besnard, 2005). En conséquence, la multiplication clonale permettant le maintien des génotypes est favorisée (Besnard et Baali-Cherif, 2009). Ainsi, sa capacité de rejeter de souche montre que ce taxon est capable de persister de très longues périodes de sécheresse par multiplication végétative. Il peut cependant revenir à une reproduction sexuée sous des conditions climatiques favorables (Besnard et *al.*, 2012).

- Dans leurs travaux sur les populations d'olivier de Laperrine, Besnard et Baali-Cherif (2009),
- 2 ont mis en évidence la présence de génotypes triploïdes plus vigoureux que les génotypes
- diploïdes et qui serraient préférentiellement sélectionnés en l'absence d'une régénération par
- 4 voie sexuée.
- 5 L'étude de la diversité génétique dans les populations de l'olivier dans les massifs du Hoggar,
- 6 du Tassili N'Ajjer et du Niger montrent que la richesse allélique dans le massif du Hoggar est
- 7 supérieure à celle observée dans les autres massifs, suggérant que ce dernier est peut être le
- 8 centre d'origine de l'olivier à partir duquel les autres massifs ont été peuplés (Besnard et al.,
- 9 2007a; Besnard, 2009).

10 11

D'après Besnard et *al.* (2012), l'olivier de Laperrine représente une ressource génétique potentiellement intéressante pour l'olivier méditerranéen pour plusieurs raisons:

12 13 14

\*Son adaptation à un environnement extrêmement sec en fait un bon candidat pour améliorer la tolérance à la sécheresse de l'olivier méditerranéen;

15 16 17

\*\*Son fruit sucré est un trait qui pourrait être utilisé pour la diversification de l'olive cultivée.

18 19 20

21 22

23 24 La remarquable tolérance de l'olivier de Laperrine à son environnement se manifeste en outre, par la synthèse de substances spécifiques, ce sont les métabolites secondaires. Ces derniers sont nombreux et très diversifiés et permettent d'une part de réguler le déséquilibre généré par divers stress (Legrand, 2015) et d'autre part, ils jouent un rôle primordial dans la capacité adaptative (Caretto et *al.*, 2015) et l'acclimatation (Di Ferdinando et *al.*,2014) de la plante à son milieu.

252627

28

29

30

31

Les composés phénoliques représentent l'une des principales classes des métabolites secondaires. Leur accumulation dans les organes aériens (cuticule et cellules épidermiques des feuilles) est corrélée avec la protection des plantes contre le rayonnement solaire et la filtration des radiations UV-B qui peuvent causer des dommages au niveau des tissus photosynthétiques (Achat, 2013 ; Di Ferdinando et al., 2014).

Ces composés présentent un grand intérêt pour la santé, ils interviennent dans la prévention et le traitement de certains cancers, le traitement de maladies inflammatoires, cardiovasculaires et neurodégénératives (Hadj Salem, 2009). Ce sont de puissants antioxydants capables de

piéger les espèces radicalaires et de chélater les métaux de transition comme le fer et le cuivre (Pietta, 2000; Halbwirth, 2010) qui permettent de catalyser les oxydations (Guillouty, 2016).

- De nombreux chercheurs (Le Tutour et Guedon, 1992 ; Tsimogiannis et *al.*, 2007; Lee et *al.*,
- 39 2009 ; Adjimani et Asare, 2015...) considèrent l'olivier (*Olea europaea*) comme une source
- 40 d'antioxydants naturels qui peut être utilisée dans les industries agroalimentaire,
- 41 pharmaceutique et cosmétique (Savarese et al., 2007). D'autres études ont mis en évidence les
- 42 capacités antifongique et antimicrobienne de ses extraits de feuilles (Djenane et al., 2012).
- 43 Cependant et à notre connaissance, aucun rapport portant sur l'activité antioxydante de
- 1'olivier de Laperrine n'est disponible au jour d'aujourd'hui.

Les produits agricoles les plus échangés sur les marchés internationaux sont représentés par les denrées stockées (Delimi et al., 2013), dont les principaux ravageurs sont les insectes. Ces derniers sont très nombreux et très diversifiées et les dégâts qui leurs sont liés sont considérables. Selon les estimations de la FAO, 35 % des récoltes mondiales de céréales et de légumineuses sont détruites par les insectes pendant leur stockage (Benayad, 2008)

Les denrées stockées représentent une source alimentaire et un habitat que ces insectes contaminent avec leurs fèces, leurs toiles de soie, leurs cadavres et leurs mues, causant ainsi des pertes quantitatives et qualitatives dans les stocks. Suite à la contamination par les ravageurs des denrées stockées, ces dernières sont envahies par des champignons qui vivent sur les graines infestées, en particulier les céréales (Aba Toumnou, 2013). Ces champignons ou moisissures appartenant entre autres, au genre Fusarium, secrètent des mycotoxines appelées aflatoxines, qui selon Williams et al. (2012); Carrieri et al. (2013) sont de puissants produits carcinogènes connus chez l'Homme et l'animal.

13 14 15

16

17

18

1

2

3

4 5

6

7

8 9

10 11

12

Ces insectes nuisibles appartiennent à plusieurs ordres mais les plus fréquents sont les coléoptères et les lépidoptères (Delobel et Tran, 1993). L'ordre des lépidoptères regroupe les pyrales ou teignes telles que la teigne du tabac et la pyrale de la farine. Ces insectes causent des pertes importantes en Algérie et génèrent des coûts importants pour l'industrie agroalimentaire (Hami et al., 2005).

19 20 21

22

23 24

25

26

27

28

29

30

31 32

33

34

Pour lutter contre ces ravageurs, l'Homme préconise la lutte chimique par l'utilisation des pesticides, moyen le plus efficace et le moins coûteux pour contrôler les insectes. Ainsi, beaucoup de systèmes de stockage reposent sur l'utilisation d'insecticides de synthèse et de fumigants, comme le bromure de méthyle et la phosphine pour lutter contre les ravageurs des produits stockés (Kheirkhah et al., 2015). Bien qu'économiques et efficaces, les pesticides chimiques présentent l'inconvénient de provoquer une résistance chez les insectes traités (Nayak et al., 2003; Bilal et al., 2015) et sont nocifs pour l'environnement et l'Homme (Taibi et al., 2003). Pour ces raisons, les recherches s'orientent vers l'utilisation de substances naturelles actives, non polluantes, pour une lutte moins nocive (Benayad, 2008), pour l'environnement et pour l'Homme. De nombreuses études ont montré que les extraits de plantes constituent une méthode alternative efficace de lutte contre les insectes ravageurs des denrées stockées, parce qu'ils sont source de composés naturels bioactifs (Park et al., 2003). De plus leur utilisation en tant que bio-insecticides est de plus en plus utilisée (Cochereau, 1982). Ces insecticides naturels, dits insecticides de plantes, sont avantageux par la rapidité de leur biodégradation (El Idrissi et al., 2014; Aouati et Berchi (2015).

35 36 37

38

39

40

41

Dans l'optique de la valorisation des produits naturels, axe de recherche adopté par le Laboratoire de Biochimie Analytique et Biotechnologie (LABAB) de la faculté de biologie de l'université Mouloud Mammeri de Tizi Ouzou et dans le souci d'apporter une contribution à une meilleur connaissance de notre patrimoine végétal et de le valoriser en tant que sources potentielles d'antioxydants naturels et de bio-insecticide, nous nous sommes intéressés à l'olivier de Laperrine, espèce emblématique des hautes montagnes Sahariennes.

42

43 Dans ce contexte, une évaluation des activités antioxydantes des extraits aqueux et éthanolique du matériel végétal récolté est réalisée. 44

De surcroit, l'absence de travaux sur les effets bio-insecticides des extraits de l'olivier de Laperrine a orienté notre recherche vers la mise en évidence de leur aptitude à jouer le rôle de bio-insecticide contre *Ephestia kuehniella*, insecte ravageur des denrées stockées.

Le présent travail est structuré en trois chapitres. Une description botanique et écologique de l'olivier de Laperrine et de la pyrale de la farine est présentée dans le chapitre I.

Dans le chapitre II, nous reprenons l'ensemble des techniques sur lesquelles se basent la caractérisation quantitative et qualitative des extraits de l'olivier de Laperrine et l'évaluation de leurs activités biologiques.

Le chapitre III traite du potentiel antioxydant et bio-insecticide sur la pyrale de la farine des extraits de l'olivier de Laperrine. Enfin nous présentons une conclusion générale dans laquelle nous proposons quelques perspectives.

## CHAPITRE I SYNTHESE BIBLIOGRAPHIQUE

## PREMIERE PARTIE

## PRESENTATION DE L'OLIVIER DE LAPERRINE ET DE LA PYRALE DE LA FARINE

## 1-1-CARACTERISTIQUES GENERALES DE L'OLIVIER DE LAPERRINE

 Olea europaea subsp. laperrinei (Batt.et Trab.), ou olivier de Laperrine, connu aussi sous le nom de l'olivier du Sud est une sous-espèce d'olivier appartenant à la famille des Oleaceae. Ce taxon endémique, naturellement adapt é aux zones arides est observ é en Algérie uniquement dans les régions montagneuses du Sahara central depuis le sud algérien jusqu'au nord-est soudanais en passant par le Niger (Green, 2002; Baali-Cherif et al., 2007). Proche de l'olivier du bassin méditerranéen il représente une ressource génétique importante pour la qualit éde sa résistance à la sécheresse.

D'après Maire (1933) et Quez d (1978), c'est une forme relique r sultant d'une ancienne population africaine (Besnard et *al.*, 2002), et selon Maley (1980), elle est originaire de la Rand Flora. Cette dernière, représente les vestiges d'une flore xérophile très ancienne répandue à travers toute l'Afrique (Monod, 1957) et adapt ée au climat méditerran éen (Besnard et *al.*, 2002). Pour Quez d (1978) et Maley (1980), l'olivier de Laperrine est une espèce relique qui dérive des populations d'*Olea* ayant subsist é au Sahara au tertiaire avant l'aridification de cette région. Pour Angiolillo et *al.* (1999), l'olivier de Laperrine est le résultat d'une hybridation entre individus de l'Afrique tropicale et individus du Nord de l'Afrique.

Les conditions désertiques ont fait leur apparition au Sahara central au début du pliocène, et les oliviers ont trouvé refuge dans les massifs montagneux où les conditions étaient favorables à leur développement. L'aridification a commencé il y'a 5 à 6 millions d'années, et s'est intensifiée jusqu'à la première phase pluviale du quaternaire (au pléstocène) où l'augmentation des précipitations a permis les échanges entre la région méditerran éenne et le Sahara central (Quez él, 1978).

D'après Quez d (1978) et Suc (1984) *Olea europaea* est considéré comme un dément floristique d'origine paléo-tropicale qui a colonisé le bassin méditerranéen à partir de l'Afrique tropicale. Des migrations successives entre l'Afrique centrale et le bassin méditerranéen ont pu avoir lieu durant les phases favorables du quaternaire (Besnard, 1999), et il est possible que l'olivier de Laperrine ait diffusé vers le bassin méditerranéen (Quez d, 1978; Maley, 1980).

 Des études de la diversité cytoplasmique men ées par Breton et *al*. (2006) et Besnard et *al*. (2007a), relèvent en effet, que les populations de l'olivier méditerranéen et de l'olivier de Laperrine ont un anc être maternel en commun. Le même cytotype se retrouve dans les deux populations et d'après Breton et *al*. (2006), il est probable que l'olivier méditerranéen ait hérité ce cytotype de l'olivier de Laperrine qui peut être considéré comme son ancêtre maternel.

L'olivier de Laperrine et l'olivier méditerranéen sont phylogénétiquement apparentés (Besnard et *al.*, 2007a). Ainsi, au cours de leurs investigations dans le Hoggar, Baali-Cherif et *al.* (2007), ont retrouv & les d'éments d'une association végétale représent & par *Olea* 

*laperrinei* et *Pistacia atlantica*, et qui a son équivalent dans la région méditerranéenne (Nord de l'Algérie), *Olea europaea europaea* et *Pistacia lentiscus*. Ces associations vicariantes entre le Hoggar et le Nord Algérien confirment bien la relation étroite qui existe entre l'olivier du Nord et l'olivier du Sud (Baali-Cherif, 2007).

Des flux de gènes entre les différents taxons ont pu avoir lieu pendant les périodes favorables, ce qui a contribu é à l'évolution de l'olivier méditerranéen (Besnard et *al.*, 2002).

 D'après Rubio de Casas et *al.* (2006) et Besnard et *al.* (2013), la vari ét é magrébine "Dhokar" a une origine maternelle saharienne et résulte du mélange entre l'olivier de Laperrine et l'olivier méditerranéen. Cette variété apporte la preuve de l'implication de l'olivier de Laperrine dans la diversification de l'olivier cultiv é(Besnard et *al.*, 2013).

L'olivier appartient au complexe *Olea europaea* (Tab. I), définit par Green et Wickens (1989) sur des critères morphologiques et révisé par Green (2002). Des analyses du polymorphisme de l'ADN avec les marqueurs RAPD (Besnard et *al.*, 2007a) et AFLP (Rubio de Casas et *al.*, 2006), ont bien reconnu ce complexe, et ont permis de distinguer les six sous espèces comme proposé par Green (2002).

Tableau I: Sous espèces du complexe Olea europaea L.

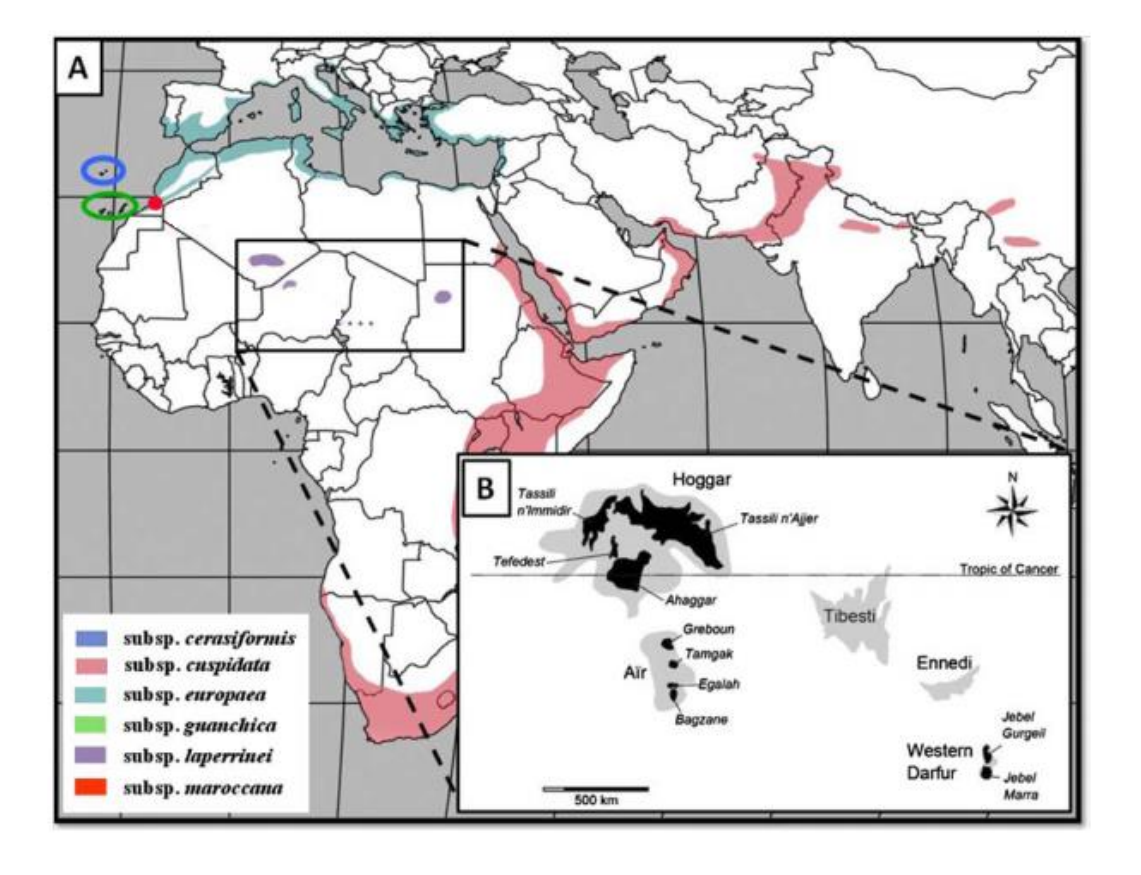
Sous esp èces	Localisation
Olea europaea subsp. europaea - var sylvestris (Miller) Lehr var europaea	Ol éastres du bassin m éditerran éen Cultivars du bassin m éditerran éen
<i>Olea europaea</i> subsp. <i>Laperrinei</i> (Batt. et Trab.) Ciferri	Massifs du Sahara central
Olea europaea subsp. maroccana (Greut. et Burd.).	Haut Atlas marocain
Olea europaea subsp. guanchica P. Vargas et al.	Îes des Canaries
Olea europaea subsp. Cerasiformis (Webb et Berth.) Kunk. et Sund.	Mad ère
Olea europaea subsp. cuspidata (Wall.) Ciferri	Afrique du Sud jusqu'en Chine

L'olivier (Fig.1A) est présent depuis l'Afrique du Sud jusqu'en Chine, en Méditerranée, en Macaron ésie (Canaries et Madère) et dans les montagnes sahariennes.

Cette espèce correspond à la section *Olea* au niveau de laquelle les sous espèces ont des niveaux de plo ïlie spécifiques. Ainsi, selon Besnard et Rubio de Casas (2016), les sous espèces *europaea*, *guanchica*, *cuspidata* sont diplo ïles (2X), la sous espèce *laperrinei* est majoritairement diplo ïle, quelques individus *triplo ïles* (3X) sont cependant répertori és par Besnard et Baali-Cherif (2009). Les sous espèces *cerasiformis* et *maroccana* sont respectivement tétraplo ïles (4X) et hexaplo ïles (6X).

Le complexe *Olea europaea* est d'origine africaine (Besnard, 1999), et les taxons qui le composent sont sexuellement compatibles et inter-fertiles (Baali-Cherif et *al.*, 2007). Besnard et *al.* (2012) rapportent à ce propos, des hybridations entre l'olivier de Laperrine et les sous-espèces *cuspidata* et *europaea*.

En Algérie, l'olivier de Laperrine est présent dans quatre massifs montagneux, ce sont le Hoggar, le Tassili n'Ajjer, le Tafedest et le Mouyedir (Fig. 1B). Au Niger, il est présent dans l'Aïr et au Soudan dans le Djebel Marra et le Gourgeil (Fig. 1B).



**Figure 1**. Distribution du complexe de l'olivier (**A**) et de l'olivier de Laperrine(**B**). Les massifs sahariens sont indiqu és en gris sur la figure 1.B. La répartition de la sousespèce *laperrinei* dans ces montagnes est représent ée en noir (Besnard et *al*, 2012).

Une étude réalisée par Besnard et *al.* (2007b) sur la diversité génétique basée sur des marqueurs nucléaires et chloroplastiques atteste que l'olivier de Laperrine présente une grande diversité dans les populations du Hoggar comparativement aux autres massifs.

Ce fait suggère que le Hoggar est un important réservoir de gènes pour le taxon et peut être son centre d'origine (Besnard, 2009). Selon Wickens (1976), l'olivier de Laperrine a été introduit au jebel Marra au Soudan par les pigeons ou par l'homme à partir des peuplements du Hoggar.

1 2

La classification propos ée par Cronquist (1981), de l'olivier de Laperrine, appelé par les Touaregs Al éou est reprise dans le tableau II.

Tableau II: Position systématique de l'olivier de Laperrine

R ègne	Plantae
Sous règne	Tracheobionta
Division	Magnoliophyta
Classe	Magnoliopsida
Sous classe	Asteridae
Ordre	Scrophulariales
Famille	Oleaceae
Genre	Olea
Esp èce	O. europaea
Sous esp èce	O. e. laperrinei (Batt. et Trab.) Cifferi.

L'olivier de Laperrine est une espèce x érophyte et héliophile adaptée aux conditions environnementales du Sahara central où sa distribution est très fragmentée.

 Il est présent dans des massifs montagneux très isol és les uns des autres et la répartition des arbres au sein de ces massifs est également très dispers ée. L'effectif rapporté par Baali-Cherif (2007), au Hoggar et au Tassili est d'environ 2 à 3 milliers d'arbres répartis sur de nombreuses stations. Le nombre d'individus par station ne dépasse généralement pas les 100 individus (Baali-Cherif et *al.*, 2007), ce nombre est parfois inferieur à cinq (Baali-Cherif, 2007).

Cet arbre est présent en haute altitude entre 1400 et 2700 m (Besnard et *al.*, 2007b) et peut se retrouver, d'après Baali-Cherif et Besnard (2005), jusqu'à 2800 m. Il pousse sur des roches volcaniques ou éruptives, généralement dans les lits d'oueds et les falaises (Fig.2A) où les populations sont souvent difficiles à atteindre (Baali-Cherif et Besnard, 2005).

Ce taxon est retrouv édans des zones très sèches où les précipitations moyennes annuelles varient de 50 à 100 mm/an (Besnard et *al.*, 2009)











**Figure 2** : Localisation dans les lits d'oueds (**A**) et aspect buissonnant (**B**) de l'olivier de Laperrine (Clich éLahcene)

Il est rare de trouver l'olivier de Laperrine sous forme de pied franc, il se présente le plus souvent sous une forme buissonnante (Fig. 2B) form ée de 3 à 6 rejets (Baali-Cherif, 2007). Selon Battandier et Trabut (1911), la taille moyenne des rejets varie de 1,5 à 4 m de haut avec un diam ètre de 0,4 à 0,5 cm environ (Benichou, 1962).

Les rameaux sont gr des et flexibles, portant des feuilles coriaces entières et oppos és (Fig 3.A). Elles ont une forme lanc éol ée-lin éaire de 4 à 6 cm de long en moyenne. La face sup érieure ou face adaxiale est verte (Fig. 3B), alors que la face inferieure ou face abaxiale est argent ée (Fig.3C). La surface foliaire est réduite ce qui permet de limiter la perte d'eau (Baali-Cherif et Besnard, 2005).

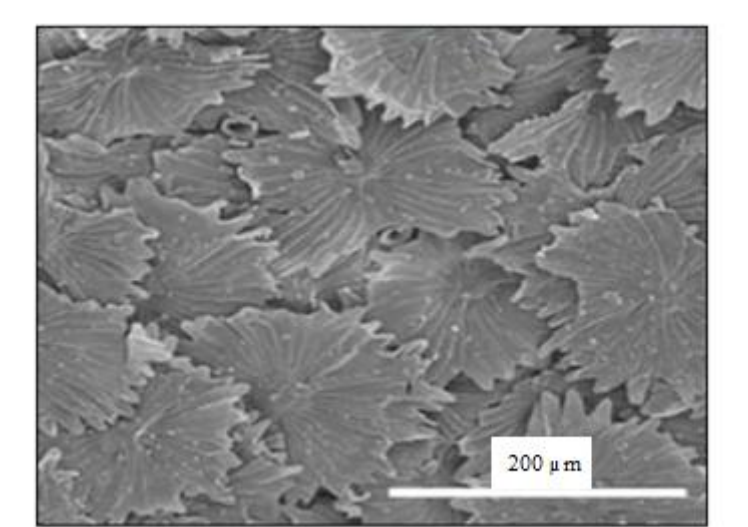


Figure 3 : Forme lancéolée des feuilles de l'olivier de Laperrine.

(A : Rameau, B : Face adaxiale, C : Face abaxiale)

(Clich é Lahcene)

Le rev êtement de la face abaxiale ou indument est constitué d'un grand nombre d'écailles pelt ées et chevauchantes (Besnard, 1999), ce sont les trichomes illustrés par la figure 4. Ils prot ègent les stomates améliorant ainsi la résistance de l'olivier à la sécheresse en limitant les pertes en eau par transpiration (Besnard et *al.*, 2012).

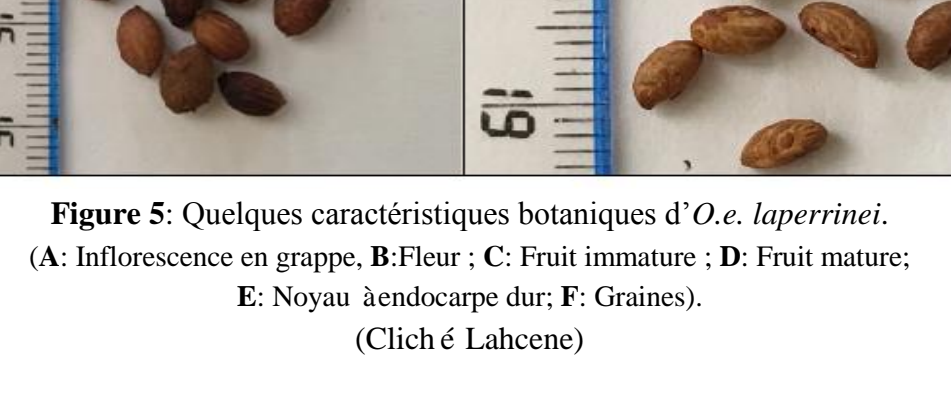


**Figure 4**: Face abaxiale d'une feuille d'olivier de Laperrine montrant les écailles peltées observ és au microscope dectronique (Besnard et *al.*, 2012).

Les événements de floraison de l'olivier de Laperrine sont rares dans le climat du Sahara central (Besnard, 2008) et la plupart des arbres ne fleurissent pas chaque ann ée (Besnard et *al.*, 2007b).

Les inflorescences (Fig. 5A) sont constitu ées par des grappes flexibles comportant un axe principal avec 2 à 4 ramifications secondaires, les fleurs sont axillaires de couleur blanche de 4 à 6 mm de diamètre (Fig. 5B). L'olivier de Laperrine fructifie rarement (Baali-Cherif et Besnard, 2005) et seulement quelques arbres produisent des graines (Besnard et *al.*, 2007b). Les jeunes plants n'ont cependant jamais étéobserv és (Baali-Cherif et *al.*, 2007).

Le fruit ou l'olive est une drupe de forme ovoïde à sphérique à peau lisse mesurant de 4 à 5 mm de diam ètre et 5 à 8 mm de longueur (M édail et *al.*, 2001). L'olive d'abord de couleur vert tendre (Fig. 5C) passe à la couleur noir être (Fig. 5D) à maturit é Le m ésocarpe est charnu et mou, il renferme un noyau à endocarpe scarifi é (Fig. 5E) contenant de 1 à 2 graines (Fig. 5F).



Le système racinaire adaptéde ce taxon lui permet de capter l'eau à une grande profondeur (Baali-Cherif et Besnard, 2005).

La long évité de l'olivier est remarquable et d'après Besnard (1999), certaines souches au Hoggar sont soupçonnées de dater de l'époque des dernières phases pluviales au Sahara (6000 et 3500 BP).

L'olivier est exploit é par l'homme pour son bois (Angiolillo et *al.*, 1999; Anthelme et *al.*, 2008). Cet arbre est une ressource fourragère pour les animaux domestiques (chèvres et

chameaux) et sauvages en voie de disparition comme le mouflon à manchette (*Ammotragus levia*) (Besnard et Baali-Cherif, 2009).

## 1-2 - PRESENTATION DE LA PYRALE DE LA FARINE

Plus connue sous le nom de la pyrale de la farine, *Ephestia kuehniella*, est décrite pour la premi ère fois en 1879 par Zeller. Le tableau III, résume sa position systématique.

**Tableau III**: Classification d'Ephestia kuehniella

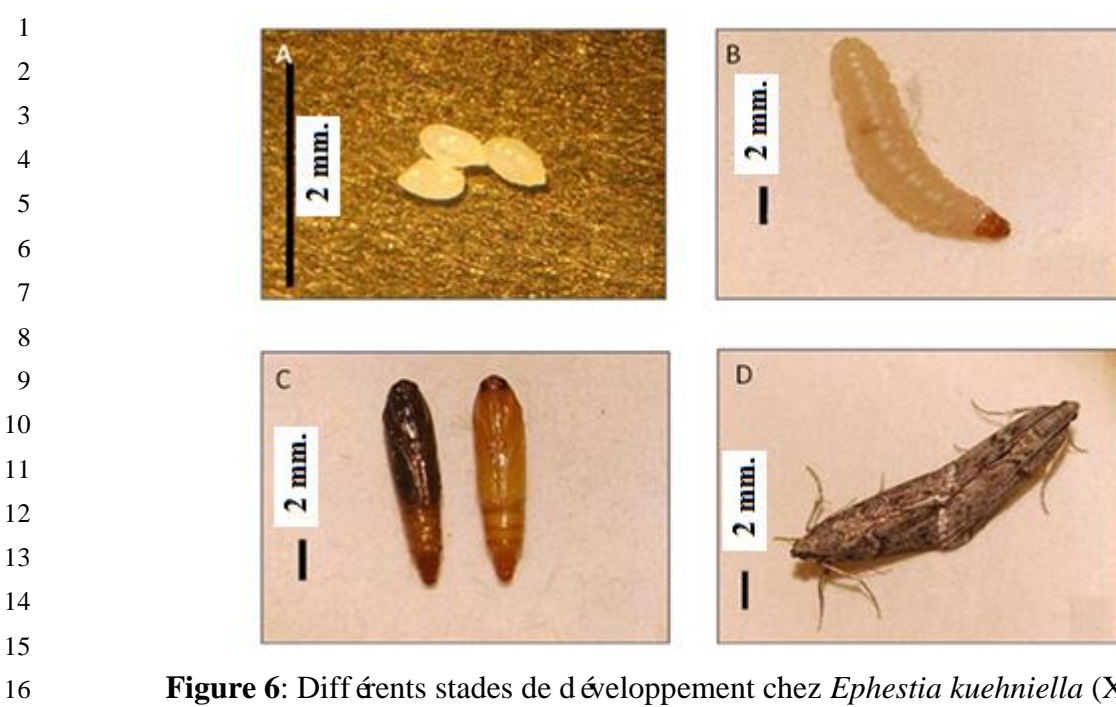
R ègne	Animalia
Sous règne	Metazoa
Embranchement	Arthropoda
Sous embranchement	Hexapoda
Classe	Insecta
Sous classe	Pterygota
Ordre	Lepidoptera
Famille	Pyralidae
Genre	Ephestia
Esp èce	E. kuehniella Zeller

 Ephestia kuehniella est une espèce redoutable qui occupe une place incontestable parmi les insectes nuisibles aux denrées stockées (Sedlacek et al., 1996). C'est une mite alimentaire qui s'attaque essentiellement aux denrées alimentaires stockées telles que la farine, les graines de c'étales (riz, ma ïs et bl é), la semoule, les pâtes alimentaires et plus exceptionnellement aux fruits s'éth és comme le raisin sec, les figues et les abricots. Elle r'éduit la qualit é du produit par sa présence et cause des dommages directs pour l'alimentation (Johnson et al., 1997).

La contamination des denrés stockés par *E. kuehniella* est plus grande durant la saison chaude allant de Mai àSeptembre.

Outre les dégâts caus és sur les denr és stock ées, la pyrale de la farine affecte la sant é humaine. En effet, une étude réalis ée par Morichau-Beauchant et Brisou (1962) montre que cet insecte est une source allergénique chez l'homme, de par la présence de particules de farine agglom ér ées par des fils de soies et m dang ées d'excréments et provoque de l'asthme et des rhinites (Yetzi et Soltani-Mazouni, 2010).

Dans les conditions optimales de développement, à une temp érature variant de 25 à 27 °C et une humidit é relative de plus de 50%, le cycle vital dure environ 50 jours (Gonzalez Nicholas, 1966). Il est représent é par quatre stades morphologiques (Fig. 6), et varie, en fonction des conditions de l'alimentation, de la température et de l'humidit é



**Figure 6**: Diff érents stades de développement chez *Ephestia kuehniella* (Xu, 2010). (**A**: Œuf, **B**: Larve au stade 6, C: Chrysalide mature (Fonc é); immature (Brun) et **D**: Adulte).

L'œuf (Fig. 6A) est petit, de couleur gris blanch âtre et de forme elliptique, il mesure entre 500 et 550µm de long sur 290 et 325µm de large (Moreno et *al.*, 1994) et p èse en moyenne 0,023 mg (Brindley, 1930).

La larve ou chenille (Fig. 6B), passe par six stades larvaires. C'est au stade larvaire qu'*E. kueniella* devient l'ennemi redoutable du garde-manger, en effet, c'est à cette étape que la mite se nourrit de mani ère vorace. La larve du premier stade mesure de 1 à 1,5 mm de long, elle peut atteindre jusqu'à 15 à 20 mm au stade final. Dès son exuviation, la larve se nourrit directement de la farine, elle est de couleur blanche virant lég èrement vers le rose.

La distinction des sexes est bien visible au stade larvaire, les larves mâles présentent deux points bruns sur la face dorsale de l'abdomen (Fig.7) correspondant aux testicules (Taibi, 2007).

A B
Testicules

**Figure 7**: Dimorphisme sexuel de la pyrale de la farine (**A**: Femelle, **B**: M âle). (Clich é D<sup>r</sup> Taibi, laboratoire de Biologie Animale Appliqu & Universit é de Annaba)

La figure 6C représente la chrysalide appel é aussi nymphe. La larve du dernier stade subit une mue nymphale et se transforme en chrysalide. Ce stade se caract érise essentiellement par la maturation sexuelle (Cassier, 1996), qui se d'éroule sous le contrôle des ecdyst éro ïles.

A l'exuviation adulte, les insectes des deux sexes sont sexuellement matures (Bensalem-Djidi, 2014).

La nymphe est de couleur blanchâtre et prend un aspect plus foncée avec l'âge, elle s'entoure d'un cocon de soie blanche contenant des substances nutritives. La chrysalide mue au bout de 8 à 12 jours en papillon qui représente la forme adulte de la pyrale, et mesure de 10 à 12 mm de long.

Le papillon ou imago (Fig. 6D), possède une petite tête globuleuse, des ailes antérieures gris âtres et satinées avec des points noirs et des ailes postérieures finement frangées qui sont blanch âtres. Les papillons sont plus actifs la nuit.

Chez la femelle, la ponte débute juste après l'accouplement et comprend environ 300 œufs que la femelle dépose seuls ou en petits groupes dans les denrées qui serviront de nourriture aux larves (Balachowsky, 1972).

La lutte chimique qui fait appel aux pesticides est la plus utilisée à l'heure actuelle pour faire face aux ennemis du stockage. Ces derniers causent des pertes importantes sur les denrées stockées et des couts onéreux pour l'industrie agroalimentaire. Les pesticides sont utilisés à grande échelle aussi bien sur les sols de culture que dans les bâtiments de stockage (Taibi et *al.*, 2003). Cependant, ces produits sont dangereux pour l'Homme et pour l'environnement.

# DEUXIEME PARTIE ETUDE PHYTOCHIMIQUE DES EXTRAITS DE FEUILLES DE L'OLIVIER DE LAPERRINE

## 1-3- GENERALITES SUR LES RADICAUX LIBRES

 La cellule peut être soumise à des agressions physiques (traumatisme, irradiation, hyper ou hypothermie), chimiques (acidose, toxines) et métaboliques (exposition à des x énobiotiques, privation d'un facteur hormonal ou un facteur de croissance). Ces agressions débouchent sur un stress oxydant, dû à l'exagération d'un phénomène physiologique qui est la production de radicaux dérivés de l'oxygène ou espèces réactives à l'oxygène (ERO) (Walker *et al.*, 1982), ou la diminution de la défense antioxydante ou les deux simultanément ou encore à une déficience des systèmes de réparation.

Un radical libre est une espèce chimique qui se caractérise par la présence d'un électron non appari é sur la couche dectronique la plus externe. C'est une espèce caractérisée par son instabilité et /ou son pouvoir oxydant fort (Afonso et *al.*, 2007). Afin d'atteindre un état plus stable, le radical libre va soit accepter un électron qu'il arrache à une molécule voisine cible (se comportant ainsi comme un oxydant) soit transférer son électron libre (se comportant comme un réducteur) sur une autre molécule (ADN, lipide, proténe) afin de le reapparier. Cela entra îne une réaction en cha îne qui produit de nouveaux radicaux libres car la molécule agressée par le radical libre devient à son tour radicalaire (Guillouty, 2016).

D'après Favier (2003), il existe deux types de radicaux libres (Fig. 8):

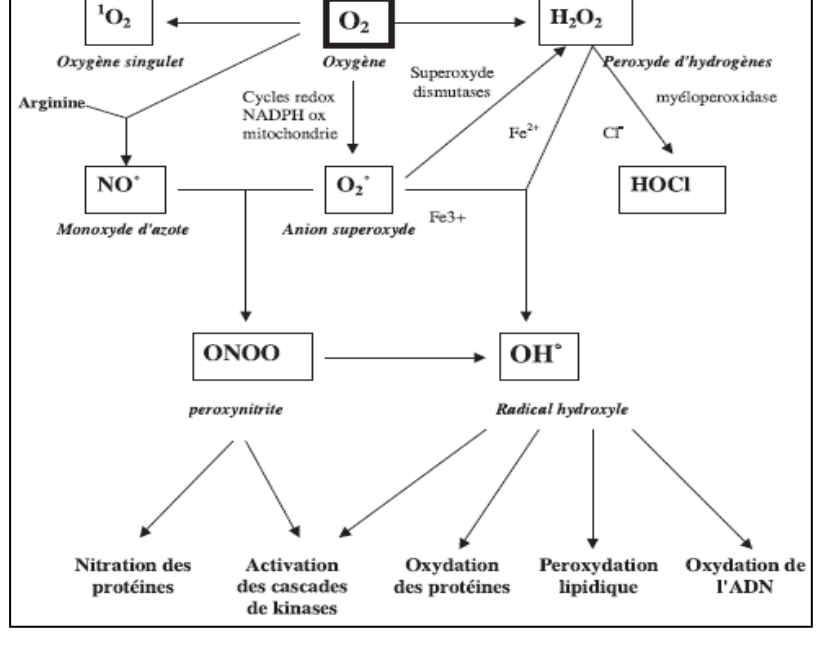
\* Les radicaux primaires tels que: l'anion superoxyde  $(O_2^{\bullet-})$ , le radical hydroxyle  $(OH^{\bullet})$ , le monoxyde d'azote  $(NO^{\bullet})$ , le radical peroxyle  $(ROO^{\bullet})$  et le radical alkoxyle  $(RO^{\bullet})$ .

\*\*Les radicaux secondaires tels que l'oxygène singulet  ${}^{1}O_{2}$ , le peroxyde d'hydrogène (H<sub>2</sub>O<sub>2</sub>) et le nitroperoxyde (ONOOH). Ils se forment par réaction des radicaux primaires sur les compos és biochimiques de la cellule.

La formation de radicaux libres est une cons équence normale du métabolisme a érobie chez l'homme. Ils sont normalement produits en faible quantité, en conditions d'aérobie au cours du métabolisme de tout organisme (Calatayud et al., 2013). Ainsi, au sein de la cellule, tous les processus utilisant de l'oxygène sont capables de produire des ERO. Cependant, c'est la mitochondrie qui en est le siège majeur. En effet, 80% de l'anion super oxyde  $(O_2^{\bullet-})$  proviennent de la cha îne respiratoire (Carri ère et al., 2006).

La mitochondrie est un organite intracellulaire responsable de la synthèse de l'énergie nécessaire au fonctionnement de la cellule sous forme d'ATP. Elle poss ède deux membranes d'élimitant un espace inter-membranaire et un compartiment matriciel. La membrane externe, contient une prot éne transmembranaire, la porine, qui permet le passage des ions et de petites mol écules. La membrane interne est imperm éable.





oxydases

Lumière UV

Figure 8 : Principales espèces réactives à l'oxygène (Favier, 2003)

Elle est le siège de la respiration qui correspond à un transfert d'électrons à travers la chaîne respiratoire jusqu'à l'accepteur final qui est l'oxygène. La chaîne respiratoire ou chaîne de transport d'électrons est formée de cinq complexe protéiques (I: NADH-ubiq uinone réductase, II: succinate-ubiquinone réductase, III: Coenzyme Q: cytochrome c réductase, IV: cytochrome oxydase, V: ATP synthase).

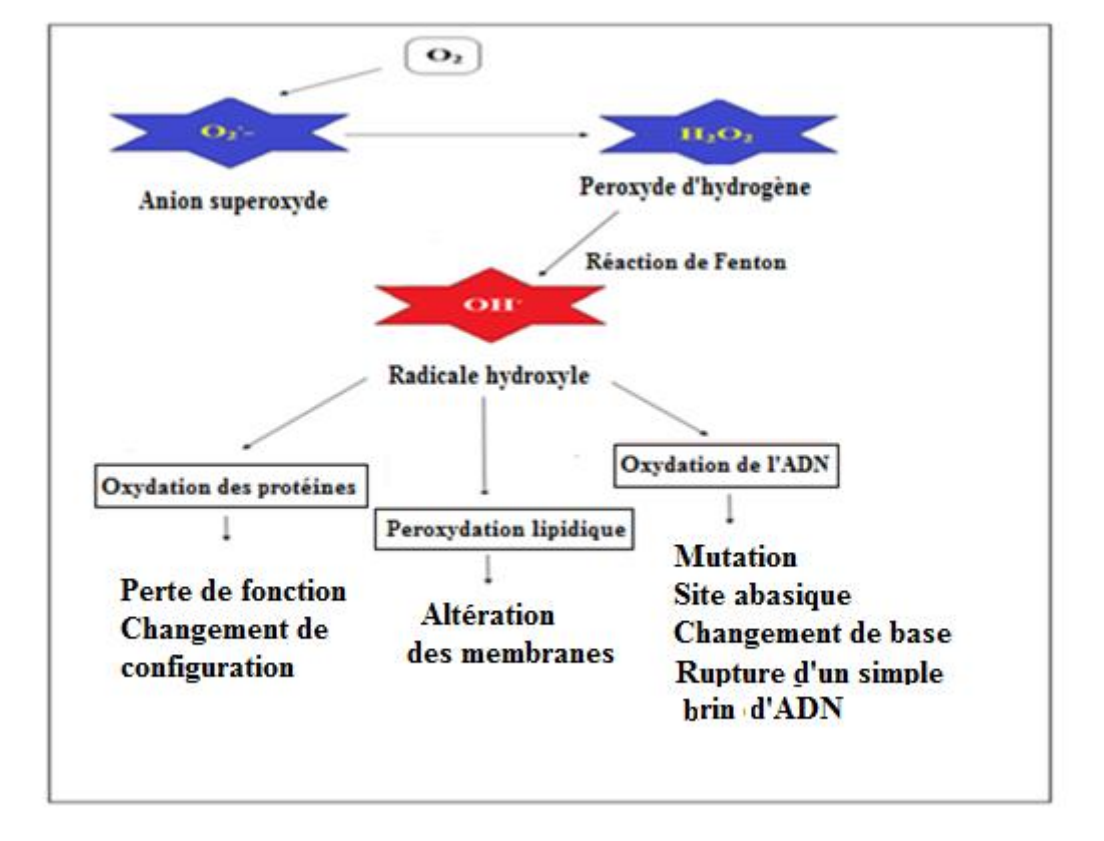
L'oxygène étant un accepteur d'électrons universel, il permet aux organismes a érobies d'utiliser l'énergie issue de la transformation des lipides et des prot énes alimentaires. Ainsi, la majorité de l'oxygène consommé est réduit de manière tétravalente par l'enzyme cytochrome oxydase conduisant à la production d'eau (O₂+4e-+4H<sup>+</sup>→2H₂O). Cependant, 2 à 6% de l'oxygène consommé échappent à la réduction complète en H₂O, et subissent une cascade de transformations qui conduisent à la formation des ERO (Carrière et *al.*, 2006).

La production des ERO commence par la réduction monovalente de l'oxygène au niveau des complexes I et III. L'oxygène capte un électron pour former l'anion superoxyde  $(O_2^{\bullet-})$ . Ce dernier est dismuté spontanément ou par action de la superoxyde dismutase et donne du peroxyde d'hydrogène  $(H_2O_2)$  et de l'oxygène  $(2O_2^{\bullet-}+2H^+\rightarrow O_2+H_2O_2)$ .

Le peroxyde d'hydrogène n'est pas un radical libre au sens propre car tous ces dectrons sont appari és. Son grand pouvoir oxydant est dû à sa capacit é de former en présence d'ions méalliques le radical hydroxyle (OH•). Ainsi, d'après Garait (2006), au cours de la réaction de Fenton, le peroxyde d'hydrogène se décompose en présence du fer ferreux pour donner un

radical hydroxyle  $OH^{\bullet}$  et un anion  $OH^{-}$  selon la réaction suivante:  $H_{2}O_{2} + Fe^{2+} \rightarrow OH^{\bullet} + OH^{-}$ +  $Fe^{3+}$ . Le fer ferreux provient de la réaction entre le fer ferrique et l'anion superoxyde  $(Fe^{3+} + O_{2}^{\bullet-} \rightarrow Fe^{2+} + O_{2})$ .

Le radical hydroxyle est le plus instable et le plus réactif des ERO. Selon Gutteridge (1994), il est très agressif. Il agit en arrachant soit un électron soit un atome d'hydrogène. Ses cibles biologiques sont toutes les mol écules se trouvant à proximit é, en particulier, l'ADN, les proténes et les lipides (Fig.9). Il provoque sur son passage de multiples dommages cellulaires suite à l'oxydation des lipides, des protéines et de l'ADN.



**Figure 9**: Sch éma représentant l'effet du radical l'hydroxyle sur les mol écules cibles (Garait, 2006) Modifi é

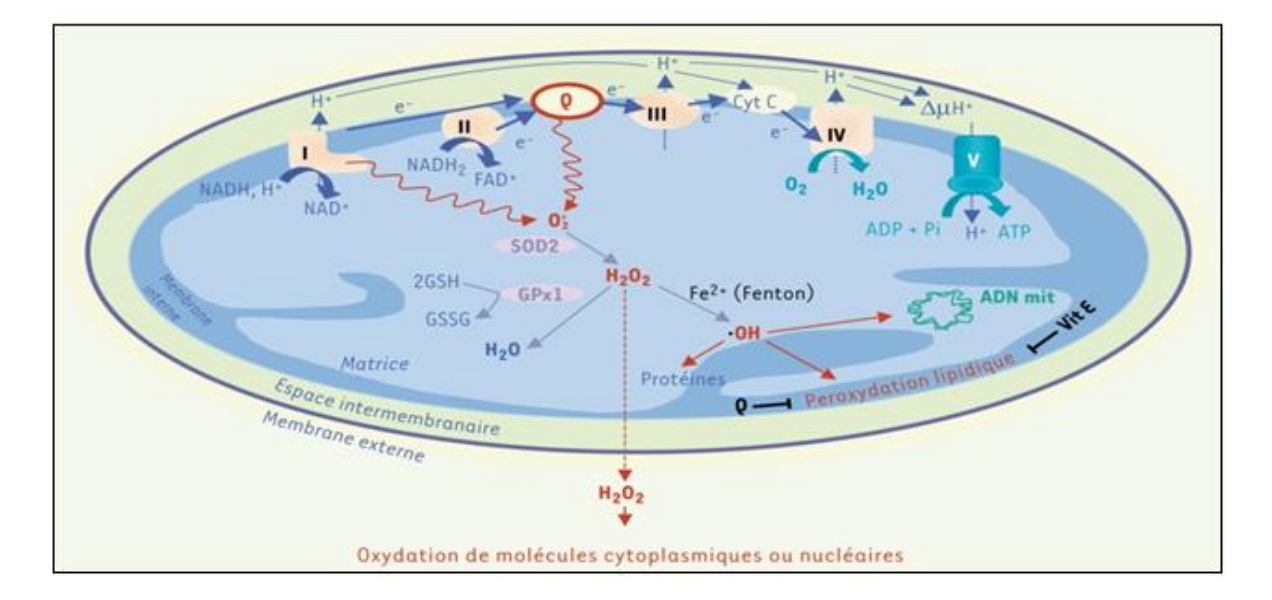
La production des ERO peut être augment ét suite à un apport excessif de substrats par rapport aux réels besoins énerg étiques de la cellule (Carrière et *al.*, 2006), ou sous l'effet de différents mécanismes physio-pathologiques tels que l'inflammation et l'activité physique (Garait, 2006) ou encore suite à une exposition aux facteurs environnementaux comme les rayonnements UV, la pollution, le tabac (Guillouty,2016).

 La production physiologique des ERO est régul ée par différents systèmes antioxydants enzymatiques (la superoxyde dismutase, la catalase et le système glutathion-peroxydase), de proténes (transferrine, ferritine, cérul éoplasmine), et de mol écules antioxydantes exogènes qui vont venir soutenir l'effet des antioxydants endogènes (vitamine C et E, et les polyphénols). Afonso et *al.* (2007) d'éfinissent les antioxydants comme des substances

capables de concurrencer d'autres substrats oxydables à des concentrations relativement basses et de retarder ou d'empêcher l'oxydation de ces substrats.

Ainsi le système antioxydant endogène représente la première ligne de défense de l'organisme contre les ERO. D'après Gutteridge (1994), la superoxyde dismutase dimine les radicaux superoxydes par dismutation du radical  $O_2^{\bullet -}$  en  $H_2O_2$  (Fig.10). Elle permet l'dimination des radicaux superoxydes mais provoque l'apparition du peroxyde d'hydrogène. Celui-ci peut être d'écomposé en  $H_2O$  par la catalase (Goudable et Favier 1997), ou par le complexe glutathion peroxydase en présence de glutathion réduit (Carrière et *al.*, 2006). Les proténes antioxydantes maintiennent les métaux de transition dans un état inactif pour la formation des ERO (Pincemail et *al.*, 2002).

 Ainsi en se liant à la transferrine, le fer ne peut plus participer aux réactions radicalaires (Gutteridge, 1994), empêchant ainsi la réaction de Fenton d'avoir lieu. La vitamine C est un pi égeur des radicaux  $O_2^{\bullet}$  et  $OH^{\bullet}$  (Haleng et al., 2007).



**Figure 10**: R égulation de la production d'ERO par les systèmes de d'éenses antioxydantes (Carri ère et *al.*, 2006).

Les polyphénols sont capables de piéger des espèces radicalaires et de chélater les métaux de transition comme le Fer et le Cuivre qui permettent de catalyser les oxydations (Hennebelle et *al.*, 2004).

Dans les conditions normales, les antioxydants sont quantitativement plus importants que les oxydants et la balance oxydative définit l'équilibre entre les espèces réactives de l'oxygène et les espèces antioxydantes. Toutefois, quand les systèmes antioxydants sont dépassés suite à une surproduction des ERO, il y'a un dés équilibre dans la balance oxydants/antioxydants en faveur des ERO. Ce dérèglement conduit au stress oxydatif pouvant entrainer des altérations moléculaires et cellulaires.

Les ERO ne sont pas spécifiques, et toutes les molécules (les proténes, les hydrates de carbone, les lipides et les acides nucléques) peuvent être leur cible. (Deby-Dupont et *al.*, 2002). Cependant c'est l'ADN et les lipides qui y sont particuli ètement sensibles (Goudable et Favier, 1997).

Les radicaux libres sont directement impliqués non seulement dans le processus de vieillissement via le raccourcissement des télomères au niveau des chromosomes (Gupta, 2015), mais également dans le développement de nombreuses pathologies telles que les cancers, l'athérosclérose, le diabète, les maladies neuro-dégénératives et rhumatismal (Pincemail et *al.*, 2002; Guillouty, 2016).

Le paradoxe des radicaux libres en biologie est qu'ils sont à l'origine de pathologies graves et mortelles pour l'Homme, tout en étant indispensables à la vie. En effet, d'après Favier (2003), ils interviennent dans de nombreuses fonctions physiologiques lors de la croissance ou de la d'éense de l'organisme. Ils participent au fonctionnement de certaines enzymes, à la défense immunitaire contre les agents pathogènes, à l'apoptose des cellules tumorales, au cycle cellulaire, au fonctionnement de certains neurones et notamment ceux de la mémoire, à la fécondation de l'ovule et à la régulation des gènes.

Favier (2003), précise que les radicaux libres constituent un système de transmission de signaux, sans doute apparu très tôt au cours de l'évolution et conservéchez les êtres évolués y compris les mammifères. Les radicaux oxygénés peuvent être considérés comme des messagers intra- et extracellulaires.

Ils permettent d'induire la réponse cellulaire à de nombreux stress (thermique, ultraviolets, x énobiotique), permettant l'expression de gènes de d'ense. Chez les bactéries par exemple, les gènes de d'ense contre le stress oxydant sont organis és en régulon, un gène exprime un premier facteur de transcription qui, après activation par un dérivé oxygén é, va activer le gène d'un deuxième facteur de transcription ubiquitaire pour un ensemble de systèmes antioxydants. Ainsi, Ils exercent un rôle de médiateur de la signalisation cellulaire en régulant l'expression des enzymes impliquées dans la défense antioxydante (Ferhat, 2015).

Chez l'Homme, parmi les gènes antioxydants les plus inductibles par un stress oxydatif nous citons ceux de la superoxyde dismutase qui accélère la dismutation de l'anion superoxyde en peroxyde d'hydrogène et de la catalase qui est capable de neutraliser le peroxyde d'hydrogène.

Le stress oxydatif n'est pas spécifique à l'homme, il peut également être observé chez les vég étaux. Deux types de stress peuvent affecter les plantes; le stress biotique caus é par des organismes vivants (les insectes, les micro-organismes...) et le stress abiotique dû à des facteurs environnementaux tels que la sécheresse, le gel, les temp étatures extrêmes, la forte luminosité, le vent. Suite à ces agressions, il y'a une augmentation de la concentration en compos és phénoliques chez les vég étaux. En effet, la biosynthèse des polyphénols est le

r sultat de la réponse des plantes à certaines conditions environnementales et est sous le contrôle de facteurs génétiques impliqués dans la réponse au stress incluant des changements morphologiques, biochimiques et physiologiques (Calatayud et *al.*, 2013). Di Ferdinando et *al.* (2012), ont mis en évidence chez les plantes une relation de causalité entre la synth èse des polyphénols et certains paramètres environnementaux représentés par les fortes radiations solaires et l'absence d'azote et d'eau.

Les polyphénols constituent l'un des groupes les plus répandus de compos és phytochimiques. Ce sont des métabolites secondaires qui jouent un rôle important dans la croissance et la reproduction des plantes et offrent une protection efficace contre les agents pathog ènes et les prédateurs (Ignat et *al.*, 2011).

Ils sont connus pour être de puissants agents antioxydants. Leur activit é antioxydante est attribuée à leur structure phénolique avec la présence d'un grand nombre de groupements hydroxyles et leur position sur les noyaux aromatiques (Rolland, 2004), ainsi que la capacit é qu'ont ces derniers à supporter une délocalisation des électrons (Saffidine, 2015). Ils exercent leur capacit é antioxydante en stimulant ou en prot égeant les syst èmes antioxydants endog ènes

18 (Ross et Kasum, 2002).

- Les composés phénoliques réagissent rapidement avec les radicaux libres, notamment les peroxyles en donnant un radical phénoxyl, les rendant incapable de propager la réaction radicalaire (Guillouty, 2016).
  - Ils provoquent l'inhibition de la peroxydation lipidique causée par les ERO dans la bi-couche phospholipidique. Du fait de leur caractère hydrophile, ils peuvent interférer avec les réactions en chaîne à l'interface des membranes et prévenir ainsi leur propagation (Cillard et Cillard, 2006). Certains flavono ïles peuvent chélater des ions méalliques de transition responsables de la formation des ERO (Pietta, 2000; Halbwirth, 2010) et ainsi, inhiber la réaction de la lipooxygénase.

Un grand nombre de mol  $\acute{\text{c}}$ ules antioxydantes sont isol  $\acute{\text{e}}$ s du monde v  $\acute{\text{e}}$   $\acute{\text{e}}$ tal (Hennebelle et al., 2004).

## 1-4-GENERALITES SUR LES METABOLITES SECONDAIRES

 Historiquement, les compos és produits par les plantes ont étés épar és en métabolites primaires et métabolites secondaires. Par définition, les métabolites primaires sont des mol écules présentes dans toutes les cellules végétales et nécessaires à la vie de la plante. Les sucres simples, les acides aminés, les proténes et les acides nucléques sont des exemples de métabolites primaires. Selon Jay et al. (1996), le métabolisme secondaire correspond à un certain nombre de voies s'articulant sur des molécules charnières telles que l'acétate, le shikimate, le mévalonate... De ces molécules naissent les trois principales classes de métabolites secondaires chez les plantes à savoir les alcalo ïles, les terpéno ïles et les compos és phénoliques.

Ils sont caract éris és par une répartition qualitative et quantitative in égale selon les espèces vég étales considérées (Macheix et *al.*, 2005) comme dans la plante elle-même. Ils sont typiquement produits à différents endroits de la cellule, dans un organe, tissu ou type cellulaire spécifique à des stades particuliers du développement (Raven et *al.*, 2007). Ils sont emmagasinés dans la vacuole, c'est le cas des composés solubles dans l'eau tels que les alcalo ïles, les hétérosides, les anthocyanes et certains tanins faiblement polyméris és, alors que les compos és insolubles tels que les dériv és phénoliques et les terpènes, ils se fixent sur la paroi squelettique dont ils renforcent l'imputrescibilité (Guignard, 2000).

L'intérêt porté aux alcalo ïles repose traditionnellement sur leur action physiologique et psychologique particulièrement violente chez l'homme. Près de 10000 alcalo ïles ont étéisolé et identifié, comme la morphine (qui provient du pavot, *Papaver somniferum*), la coca ïne qui provient du coca (*Eryhroxylum coca*), la caféine que l'on trouve chez certaines plantes telles que le café (*Coffea arabica*), le thé (*Camellia sinensis*) et le cacao (*Theobroma cacao*), la nicotine produite par les feuilles de tabac (*Nicotina tabacum*) et l'atropine qui provient de la jusquiame d'Egypte (*Hyosciamus muticus*).

Les terpénoïdes existent chez toutes les plantes et sont composés d'unités isoprène (terp éno ïle le plus simple, c'est un hydrocarbure de structure  $C_5H_8$ ) et comprennent les huiles essentielles, le taxol extrait de l'écorce de l'if du pacifique ( $Taxus\ brevifolia$ ) des aiguilles de l'if d'Europe ( $Taxus\ baccata$ ), le caoutchouc obtenu à partir du latex (liquide laiteux) produit par une plante tropicale nomm ée h év éa ( $Hevea\ brasiliensis$ ) et les glycosides cardiotoniques qui, d'ériv és de st érol sont des poisons et peuvent provoquer des crises cardiaques.

Les digitales (*Digitalis*) sont les principales sources des glycosides cardiotoniques les plus actifs, la digitoxine et la digoxine. Les glycosides cardiotoniques synth étis és chez certaines espèces d'asclépiadacées et d'apocynacées sont un moyen de défense contre les herbivores.

Utilis és en médecine, les glycosides cardiotoniques peuvent ralentir ou stimuler les battements du cœur (Raven et *al.*, 2007).

Les compos és phénoliques regroupent une vaste gamme de substances chimiques d'origine naturelle, caractérisées par la présence d'un noyau aromatique auquel est lié au moins un groupement hydroxyle (-OH). Ils sont présents dans presque toutes les plantes et ils s'accumulent dans toutes les parties de l'organisme (racines, tiges, feuilles, fleurs et fruits) (Raven et *al.*, 2007).

Les compos és phénoliques sont class és en deux groupes majeurs, les non-flavono ïles et les flavono ïles.

## 1-4-1-LES NON FLAVONO ÏDES

Ce sont essentiellement les acides phénols, les tanins et les lignines.

## 1-4-1-1-LES ACIDES PHENOLS

Ce groupe comprend les acides benzo ques, les acides cinnamiques et les coumarines.

Les acides benzo ques largement répandus aussi bien chez les angiospermes que chez les gymnospermes sont représent és par l'acide gentistique, l'acide salicylique, l'acide vanillique, l'acide syringique, l'acide ρ-hydroxybenzo que, l'acide gallique et l'acide ellagique.

L'acide p-hydroxybenzoïque, l'acide vanillique et l'acide syringique sont des constituants de la lignine dont ils sont extraits par hydrolyse alcaline. D'après Ribereau-Gayon (1968), les plantes qui ne contiennent pas de lignine ne produisent pas ces trois acides

L'acide gallique et l'acide salicylique jouent un r de prépond érant dans la structure de certains tanins dont ils sont lib érés par hydrolyse acide.

Il faut noter que l'acide ellagique est absent chez les monocotyl édones, les gymnospermes et les foug ères.

Les acides cinnamiques sont très largement répandus chez les végétaux, ce sont ; l'acide p-coumarique, l'acide caféique, l'acide ferulique et l'acide sinapique.

Selon Hopkins (2003), les coumarines constituent un groupe de lactones largement répandues. Leur nom vient de "cumaru" qui est le nom amazonien de l'arbre de Tonka (*Dipteryx odorata*) dont les fèves contiennent 1 à 3% de coumarine. Elle est présente en quantités plus faibles dans plusieurs plantes comme le méliot, la sauge sclarée et la lavande. Nous la trouvons également dans le miel, le thévert et la cannelle.

La coumarine donne au foin fraichement coup é son odeur douce âtre caract éristique. Elle est également un composant de l'huile de bergamote, qui est utilisée pour parfumer le tabac de pipe, le thé et d'autres produits. Alors que la coumarine n'est pas toxique en soi, elle peut être convertie par les champignons, en une toxine (le dicoumarol) qui est typiquement pr ésent dans le foin moisi. Chez le b étail, le dicoumarol provoque des h émorragies fatales en inhibant la vitamine K qui est un facteur essentiel de la coagulation du sang (Hopkins, 2003).

La découverte du dicoumarol dans les années 1940 a conduit à développer la production d'un dérivé de la coumarine, le warfarine qui est un raticide.

La scopolétine qui est la coumarine la plus fréquente chez les plantes supérieures, est souvent présente dans les enveloppes des graines. Elle serait inhibitrice de la germination qui doit être lessivé avant que la graine ne puisse germer (Hopkins, 2003).

Les coumarines interviennent dans la défense des plantes contre les herbivores.

#### 1-4-1-2-LES TANINS ET LES LIGNINES

#### 1-4-1-2-1-LES TANINS

Ce sont des compos & phénoliques dont le poids mol éculaire est compris entre 500 et 3000 Da (Ribereau-Gayon, 1968). Ils ont la propriété de précipiter les proténes et donc de les dénaturer, ce qui leur a value leur utilisation en tannerie où ils ont la propriété de transformer les peaux animales fraiches en cuir imputrescible. En effet, les tanins dénaturent les proténes du cuir en s'y liant par des liaisons résistantes aux attaques bactériennes et fongiques assurant ainsi leur protection (Dangles et *al.*,1992).

Les tanins sont essentiellement stock & dans les tissus épidermiques et sub-épidermiques, ils sont présents à des concentrations relativement dev ées dans les feuilles mais se rencontrent aussi dans les racines, les fleurs et les fruits. Ils sont isol és dans les vacuoles, les autres composants de la cellule sont ainsi prot ég & (Raven et *al.*, 2007). Les tanins sont des polymères d'unités flavonoïdes reliées par des liaisons fortes C-C, selon la structure de la mol écule, nous avons les tanins hydrolysables, et les tanins condens és.

Les tanins hydrosolubles sont moins fréquents que les tanins condens és, leur structure de base est un glucide, habituellement le glucose dont le radical hydroxyle forme une liaison ester avec l'acide gallique. Ils donnent par hydrolyse acide une fraction glucidique et une fraction phénolique constitu ée elle-même soit, par de l'acide gallique, soit par de l'acide ellagique, dim ère du précédent (Ribereau-Gayon, 1968).

Les tanins condens és sont constitu és par la polymérisation de molécules élémentaires qui possèdent la structure générale des flavono ïles, ce sont les flavanes (Hopkins, 2003).

#### 1-4-1-2- 2-LA LIGNINE

La lignine correspond à la partie non glucidique de la membrane cellulaire, elle correspond à un polymère formé de trois monomères, le p-coumaryle, le coniferyle et l'alcool sinapique. Les proportions de chacun de ces monomères diffèrent significativement suivant que la lignine provient de gymnospermes, d'angiospermes ligneux ou de plantes herbacées. En outre, la composition monomérique des lignines varie beaucoup suivant les espèces, les organes, les tissus et mêne les fractions de paroi cellulaire (Raven et *al.*, 2007).

Contrairement aux autres composés phénoliques, la lignine n'est pas stockée dans la vacuole, mais, se dépose dans la paroi cellulaire (Raven et al., 2007) et plus spécialement

dans les parois secondaires des étéments conducteurs contribuant à la résistance méanique et à la rigidité des tiges lignifiées (Hopkins, 2003). Bien que sa fonction soit d'ordre structural, la lignine est considérée comme agent chimique intervenant dans la défense de la plante, car elle n'est pas facilement digérée. Par ailleurs, le renforcement de la paroi des cellules végétales par la lignine constitue une barrière protectrice contre le dess èchement et la pénétration des micro-organismes (Zouiten et El Hadrami, 2001).

#### 1-4-2- LES FLAVONO ÏDES

 Les flavono ïles constituent le plus grand groupe de compos és phénoliques chez les plantes, en effet, nous en comptons plus de 8000. Ce sont des pigments solubles dans l'eau, répandus dans les feuilles, les fleurs et les fruits. Ils sont largement distribu és dans le règne v ég étal. Ils sont fréquents chez les bryophytes (mousses), les ptéridophytes (foug ères), les gymnospermes (conifères), mais c'est chez les angiospermes qu'ils manifestent la plus grande diversit é

Les flavono ïles sont synth étis és au niveau du chloroplaste qu'ils quittent pour s'accumuler dans la vacuole (Guignard, 2000; Mierziak et *al.*, 2014). Ils sont composés d'un squelette à quinze carbone comportant deux anneaux phényle (anneaux A et B) reli és par un pont à trois carbone représenté par l'anneau C (Iwashina, 2000). Ils sont regroup és en une douzaine de classes (Bruneton, 1993), qui peuvent être subdivis és d'après Hopkins (2003), en trois principaux groupes, représent és par les flavones, les flavonols et les anthocyanes (Fig. 11).

La plupart des flavones et flavonols sont des pigments jaun âtres ou ivoire, certains sont incolores. Les flavones et les flavonols incolores peuvent modifier la couleur d'une plante en formant des complexes avec les anthocyanes et des ions métalliques. Ce phénomène appel é copigmentation, est responsable de la couleur bleue intense des fleurs (Raven et *al.*, 2007).

Les flavones et les flavonols sont les flavono des les plus répandus dans le règne végétal. Parmi eux, nous citons, l'apigénine et la lutéoline dans le cas des flavones, la quercétine, la kaempférol et la myricétine représentent les flavonols (Ghedira, 2005).

La gamme de couleurs des anthocyanes va du rouge au pourpre et au bleu. Selon Ribereau-Gayon, (1968), cette coloration varie en fonction de l'acidité, rouges en milieu acide, bleues en milieu neutre ou alcalin. Les anthocyanes sont répandus dans les fleurs et les fruits.

**Figure 11:** Structures de base des trois principaux groupes de flavono ïles (Guillouty, 2016). Modifi é

#### 1-5-ROLES ET ACTIVITES BIOLOGIQUES DES POLYPHENOLS

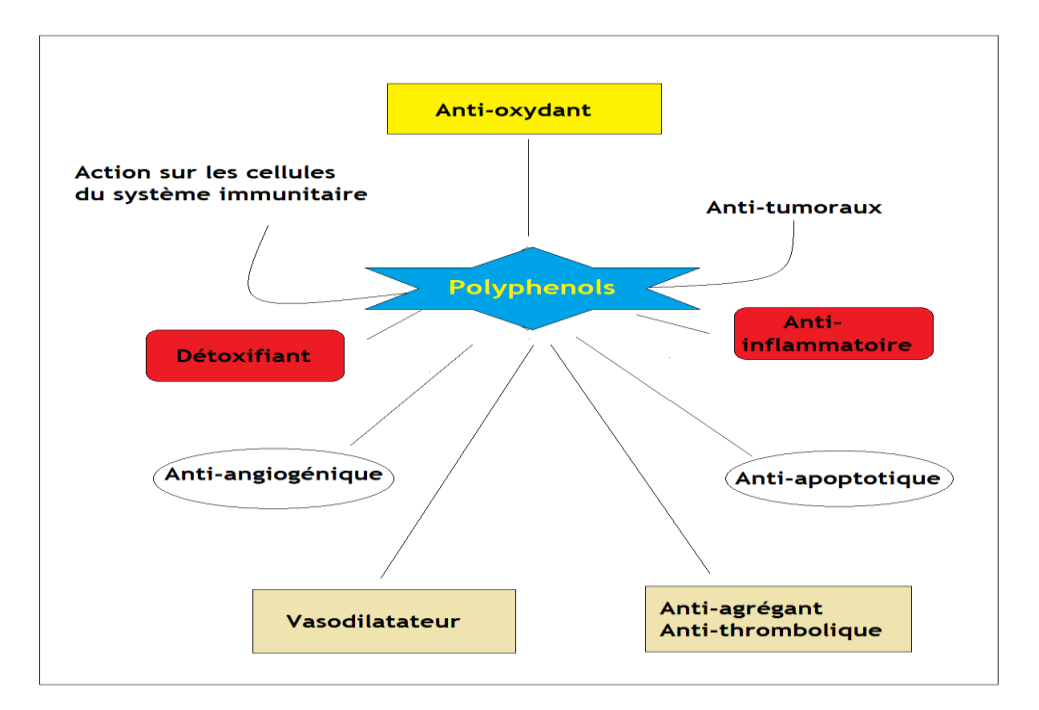
Pour faire face aux différents stress qu'ils subissent, les végéaux, ont développé diverses stratégies adaptatives. Parmi ces nombreuses stratégies, la plante a orienté sa physiologie et son méabolisme cellulaires vers la synthèse de substances spécifiques. Ce sont les méabolites secondaires qui ont des fonctions très importantes pour la survie et la propagation des végéaux qui les produisent. Beaucoup fonctionnent comme signaux chimiques permettant à la plante de répondre aux contraintes de l'environnement, certains assurent une protection contre les radiations solaires et d'autres encore facilitent la dispersion du pollen et des graines

Ainsi selon Tattini et *al.* (2006), la synth èse des polyph énols est nettement augment és suite à un stress provoqué par un ensoleillement intense. D'après Bennick (2002), la synthèse des tanins est augment ée en réponse à un stress environnemental quel que soit son origine, tel qu'un stress hydrique, un sol peu fertile, un ensoleillement trop fort ou un stress engendré par l'agression des végétaux par les herbivores (Woodward et Coppock, 1995), et par les pathog ènes.

Les métabolites secondaires, représentent donc des barrières phytochimiques contre le stress biotique et abiotique auxquels sont expos ées les plantes en permanence.

L'intérêt port é aux compos és phénoliques est attribu é aux principes actifs qui les caract érisent. Ainsi, leur utilisation par l'homme dans de nombreuses préparations en médecine traditionnelle et dans le domaine culinaire comme colorants et arômes est très largement répandue. Dans le domaine agricole, ce sont de bons candidats en tant qu'herbicides et bio-insecticides. Ils représentent en effet, une potentielle source d'insecticides naturels (Chaieb, 2011), qui ont l'avantage d'être rapidement biodégradables, réduisant ainsi les risques pour l'homme et pour l'environnement (El Idrissi et *al.*, 2014).

 Les polyphénols vég étaux possèdent en outre des propriétés médicamenteuses et peuvent être utilisées à des fins thérapeutiques (Krief, 2003). Ils sont reconnus (Fig.12) pour leurs effets antibactériens, antifongiques, analgésiques, anti-inflammatoires, antioxydants (Harborne, 1998; Bruneton, 1999), antimutagène (Yen et *al* 2002) anti-athérogéniques, anti-thrombotiques, anti-cancérigènes (Guillouty 2016).



**Figure 12:** Activit és biologiques des polyph énols (Martin et Andriantsitohaina, 2002).

#### 1-5-1-ROLES DES TANINS

Les tanins précipitent les glycoproténes de la salive des consommateurs, le goût astringent qui en résulte dissuadent les herbivores de les consommer. Cette propriété provoque une baisse d'appétence. En effet l'astringence et la sensation de sécheresse ressentie dans la bouche, est considérée comme désagréable et répulsive pour les consommateurs (Krief, 2003). Cette stratégie permet de dissuader les animaux de consommer les plantes.

Berenbaum (1983) à mis en évidence dans ses travaux l'effet toxique des tanins sur certaines espèces d'insectes. D'après Feeny (1976) ; Hagerman et Butler (1989) les tanins influencent la croissance, le développement et la fécondité des insectes ravageurs. Meric (2005), note que l'exposition aux tanins affecte la survie et la santé des insectes, cela se traduit par une croissance réduite des insectes (plus petite taille par rapport à la normale) et par un plus faible nombre d'œufs.

De plus, les travaux de Banso et Adeyemo (2007), portant sur les extraits obtenus à partir de *Dichrostachys cinerea* et test és contre *Staphylococcus aureus*, *Shigella boydii*, *Shigella flexneri*, *Escherichia coli* et *Pseudomonas aeruginosa* ont mis en évidence l'implication des tanins dans l'activité anti-microbienne.

Du point de vue thérapeutique les tanins ont un effet anti-inflammatoire, anti-diarrhéque, et antiseptique. Par ailleurs, ils interviennent dans la régénération des tissus résultant de blessure superficielle ou de brûlure (Krief, 2003; Sereme et *al.*, 2008),

Les tanins sont reconnus pour avoir des propri ét és antioxydantes remarquables. Ce sont en effet, des donneurs de protons aux radicaux libres produits au cours de l'oxydation (Palici, 2016).

#### 1-5-2-ROLES DES FLAVONO ÏDES

Pour Hopkins (2003), les flavono des ont un rôle physiologique important dans les plantes, en effet, le kaempf érol et la querc étine sont impliqu és dans la croissance de la tige de plantules de pois qui est régul ée par la lumi ère. Le kaempf érol inhibe la croissance en stimulant l'oxydation de l'acide indole acétique (AIA), cet effet étant contrecarré par la querc étine.

 D'après Raven et *al.* (2007), ils favorisent un partenariat de type coopération entre la plante qui les élaborent et les autres organismes vivants. Ainsi, les pigments floraux responsables des couleurs vives et variées ont un effet attracteur pour les pollinisateurs, ils agissent comme des signaux visuels pour attirer les oiseaux, les abeilles et les petits mammifères qui facilitent la dispersion du pollen et des graines La synthèse des pigments floraux est en relation avec les pollinisateurs (Jay et *al.*, 1996).

Ces métabolites secondaires interviennent, dans les interactions entre plantes et autres organismes tels que les bactéries fixatrices d'azote vivant dans les racines de plantes, c'est le cas par exemple de la spécificité de la symbiose "Rhisobium-1égumineuses" (Hopkins, 2003).

Un grand nombre de flavono ïles est secrété par les racines des plantes, ils stimulent la nodulation (Hopkins, 2003) et agissent comme des signaux d'induction de la transcription

bact ériens nomm és nodD pour nodulation. Ils favorisent également l'interaction symbiotique entre plantes et champignons mychorryziens (Shirley, 1996).

Ils interviennent pour d'éendre leur producteur contre les herbivores, les pathog ènes ou les comp étiteurs. En effet, entre plantes, la lutte passe par des empoisonnements à distance ou tétéoxie, ainsi, par exemple, les feuilles de noyer contiennent un glucoside du trihydronaphtalène qui, entrainé par les pluies, s'hydrolyse au niveau du sol en juglone toxique pour la plupart des plantes (Guignard, 2000).

Les isoflavono ïles sont des phytoalexines, synth étis és par les plantes en réponse à des attaques microbiennes (Vanetten et *al.*, 1994; Ardi et *al.*, 1998), qui présentent une activit é antibact érienne et antifongique; ils sont généralement présents en faibles concentrations ou complètement absents, mais sont rapidement synthétisés par la plante lors d'une infection bact érienne ou fongique (Hopkins, 2003). Guignard (2000), note que chez la luzerne et le haricot soumis à une infection fongique, le taux d'isoflavonoïdes est multiplié par cent en l'espace de quelques heures.

Ces compos és présentent également des propriétés antivirales et pesticides (Costa-Arbulu *et al.*, 2001). La production de phytoalexines parait ainsi constituer un mécanisme de défense chez les plantes. En effet, selon Jay et *al.* (1996), la synthèse des phytoalexines est en relation avec les pathogènes.

Les flavono des jouent un rôle important dans la protection contre les UV. En les absorbant ils protègent les tissus foliaires sous-jacents contre les dommages provoqu és par les radiations UV (Raven et *al*, 2007).

Les flavono ïles sont spécifiques de l'espèce. Cette caractéristique en fait de bons marqueurs utilis és en chimiotaxonomie (Gallet et Pellissier, 2002; Harchaoui-Ouafi, 2007). En effet, dans le monde végétal ces marqueurs métaboliques peuvent être utilis és comme descripteurs pour étudier la diversit édes populations naturelles (Jay et *al*, 1996).

De nombreuses études ont montré qu'une alimentation riche en flavono ïles est bén éfique pour la santé humaine. En effet, d'après Guillouty (2016), un régime riche en fruits et légumes permet de prévenir l'apparition de nombreuses pathologies, notamment les cancers, les maladies cardio-vasculaires et le diabète. Ce mécanisme protecteur est dû à la richesse en antioxydants naturels des fruits et légumes. Par ailleurs, Anderson et *al.* (1995), ont montré que les flavono ïles et spécifiquement les isoflavones contenus dans le soja réduisent le taux de cholestérol.

Enfin Leopoldini et *al.* (2011), s'accordent à dire que les flavono des ont un effet antiprolif ératif et induisent l'apoptose dans diff érentes lign ées de cellules canc éreuses.

#### 1-6-MECANISMES D'ACTION DES POLYPHENOLS

L'activité antioxydante des polyphénols peut s'expliquer par trois mécanismes d'action, ce sont, le transfert d'atome d'hydrogène, le transfert d'électrons et la chélation des métaux de transition.

#### 1-6-1-TRANSFERT D'ATOME D'HYDROGENE

L'antioxydant phénolique (ArOH) réagit avec le radical libre ( $R^{\bullet}$ ) en lui transférant un atome d'hydrogène suite à la rupture de la liaison O-H, (ArOH +  $R^{\bullet} \rightarrow$  ArO $^{\bullet}$  + RH). A la fin de cette réaction nous obtenons la forme réduite du radical libre (RH), et la forme oxydée de l'antioxydant phénolique, représentée par le radical ArO $^{\bullet}$ . Ce dernier est moins réactif que radical libre  $R^{\bullet}$  (leopldilni et al., 2011).

#### 1-6-2-TRANSFERT D'ELECTRON

Au cours de ce mécanisme, l'antioxydant phénolique cède un dectron qui est transféré au radical libre  $R^{\bullet}$  selon la réaction suivante:  $ArOH + R^{\bullet} \rightarrow ArOH^{+\bullet} + R^{-}$ . Les produits résultants sont l'anion  $R^{-}$  et le cation radical  $ArOH^{+\bullet}$ , ce sont des espèces chimiques stables (Bouguerne, 2012).

#### 1-6-3- CHELATION DES METAUX DE TRANSITION

Le fer (Fe<sup>2+)</sup> et le cuivre (Cu<sup>+</sup>), interviennent dans de nombreuses fonctions physiologiques. Ils entrent notamment dans la composition des cofacteurs de la superoxyde dismutase (Cu<sup>+</sup>) et de la catalase (Fe<sup>2+</sup>). Ils peuvent également être à l'origine du radical hydroxyle OH• suite à la réduction du peroxyde d'hydrogène au cours de la réaction de Fenton.

La chélation des métaux de transition par les polyphénols (Fig.13) inhibe la formation des radicaux libres dans les milieux biologiques en bloquant la réaction de Fenton (Pietta, 2000; Bouguerne, 2012)

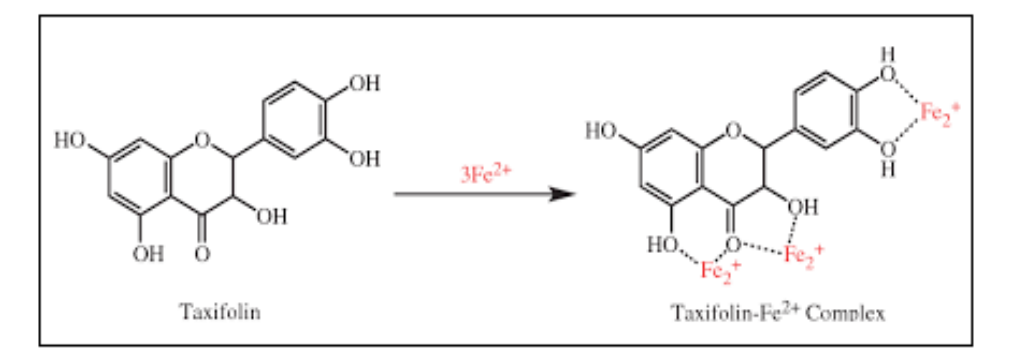


Figure 13: Ch dation des m daux de transition par les polyph énols (Pietta, 2000)

#### 1-7-ACTIVITES BIOLOGIQUES DE L'OLIVIER ET DES EXTRAITS DE L'OLIVIER

Les feuilles d'olivier sont largement utilisées en médecine traditionnelle, elle sont diurétiques et préconisées dans l'hypertension artérielle En infusion, elles sont fréquemment prises comme remède contre la fièvre, certaines maladies tropicales comme la malaria (Lee et al., 2009) et le paludisme (Ferreira et al., 2007). Par ailleurs, c'est une source de fourrage pour les chèvres et les moutons (Martin-Garcia et al., 2003) et d'après Botsoglou et al. (2010), leur incorporation dans l'alimentation des dindes am diore la qualité de stockage des viandes en retardant l'oxydation des lipides. Les feuilles sont également utilisées en cosm étiques.

Les travaux de Boudhrioua et *al.* (2009) montrent que les feuilles de l'olivier sont particuli èrement riches en carbohydrates (37,1 - 42,5 g/100g de masse fraiche). La mati ère organique est constitu ée de prot énes (5 -7,6 g/100g de masse fraiche), de lipides (1 - 1,3 g/100g de masse fraiche), de monom ères et polym ères phénoliques tels que les tanins hydrosolubles et condens és avec les proportions respectives de 0,3 et 1 g/100g de masse s'èche (Fegeros et *al.*, 1995), de polysaccharides tels que la cellulose et l'hémicelluloses pour lesquelles Garcia-Gomez et *al.* (2003) avancent les valeurs respectives de 19,3 et 25,4 g/100g de masse s'èche. Il faut cependant préciser que cette composition varie en fonction des conditions climatiques, de la saison de prélèvement, de l'âge du peuplement et de la variété étudi ée (Nefzaoui, 1995).

Les extraits de feuilles d'olivier sont riches en compos és phénoliques (De Nino et *al.*, 1997). L'analyse chimique des extraits foliaires révident la présence de 14 compos és chimiques, ce sont: l'oleuropéine, l'hydroxytyrosol, le verbascoside (c'est un glucoside conjugué d'hydroxytyrosol et d'acide caféque), la lutéoline-7-glucoside, l'apigénine-7-glucoside, la diosmétine-7-glucoside, la catéchine, la vanilline, la rutine, l'acide vanillique, l'acide caféique, le tyrosol, la lutéoline et la diosmétine (Benavente-Garcia et *al.*, 2000). L'oleuropéine représente le biophénol majeur des feuilles d'olivier et peut atteindre des concentrations allant de 60 à 90 mg/g de matière s'èche (Ryan et *al.*, 2002 ; Goldsmith et *al.*, 2018). D'après Ghedira (2008), les feuilles d'olivier sont riches en triterpènes.

La concentration des compos és phénoliques varie en fonction de la physiologie de la plante, des conditions du milieu, des éléments disponibles dans le sol et de l'âge du végétal (Perrinjaquet-Moccetti et *al.*, 2008).

De nombreux chercheurs s'accordent à dire que les feuilles d'*Olea europaea* L. représentent une source naturelle de composés bioactifs, en particulier, les composés phénoliques dont un grand nombre présentent un large éventail d'activités biologiques.

Les feuilles d'olivier poss èdent un pouvoir antimicrobien (Pereira et *al.*, 2007) et antiviral. En effet, Micol et *al.* (2005); Lee et Lee (2010) rapportent leurs effets bénéfiques dans le traitement des affections caus ées par ou associés à un virus, une bactérie ou un protozoaire.

Dekanski et *al.* (2009) notent leur activit é gastro-protectrice. D'après Lee et Lee (2010), l'extrait de feuilles d'olivier est efficace dans la protection du cœur lors d'une occlusion coronaire, en effet, il protège les vaisseaux sanguins et am diorer la circulation sanguine.

Les activités antifongique, antidiabétique, hypoglycémiante et hypotensive et anti cancéreuse sont relevées dans les travaux de Benavente-Garcia et *al.* (2000); Micol et *al.* (2005) et Goldsmith et *al.* (2015). En outre, Goldsmith et *al.* (2018) précisent que l'oleuropéine, l'hydroxytyrosol et le tyrosol ont montré une cytotoxicité envers les cellules cancéreuses sans affecter les cellules non tumorigènes dans les cancers du sein et de la prostate.

De nombreuses études ont montré le pouvoir antioxydant des principes actifs extraits des feuilles de l'olivier et leur grande capacité à pi éger les radicaux libres (Tab. IV). Ainsi, selon Goldsmith et *al.* (2018), l'oleuropéine et l'hydroxytyrosol possèdent un puissant pouvoir antioxydant.

Tableau IV: Activités des polyphénols des feuilles de l'olivier

Compos és chimiques	Activit &	R & érences
Hydroxytyrosol	*Forte activit éBCB	Tsimogiannis et al. (2007)
	*Activit éantioxydante	Bouaziz et Sayadi (2005)
		Visioli et Galli (2002)
Tyrosol	*Activit éantioxydante	Visioli et Galli (2002)
Acide caf áque	*Activit é de pi égeage des radicaux libres	Adjimani et Asare (2015)
	*Activit éantioxydante	Caturla et <i>al</i> . (2005)
Rutine	*Activit éantioxydante	Caturla et <i>al.</i> (2005)
Rutille	•	Catulla et <i>ut</i> . (2003)
	*Pi égeage de radicaux libres	
		Sharififar et al. (2009)
Glucose-7-Lut éoline	*Activit éantioxydante	Le Tutour et Guedon (1992)
Oleuropeine	*Activit éantioxydante	Le Tutour et Guedon (1992);
	*Forte activit éBCB	Lee et al. (2009)
		Tsimogiannis et al. (2007)
Naringenine-7-glucose		
Lut éoline	*Forte activit éantioxydante	Duh et <i>al</i> . (1992)
	sur la peroxydation de	
	l'acide linoléique	
	*Forte activit éBCB	Tsimogiannis et al. (2007)
Apig énine	*DPPH et BCB	Sharififar et al. (2009)

# CHAPITRE II MATERIEL ET METHODES

#### 2-1- MATERIEL

### 

### 

Sur la feuille d'Assekrem. Echelle : 1/200 000

#### 2-1-1- MATERIEL VEGETAL

La récolte des tiges feuillées de l'olivier de Laperrine utilisées au cours de notre expérimentation, est réalis ée sur des pieds mère adultes de la station de Oued Hanghassi Ouan Tighert (23°14'50.1"N, 5°29'13.7''E) de la région de Tamanrasset en mai 2015 (Fig.14A et Fig.14B).

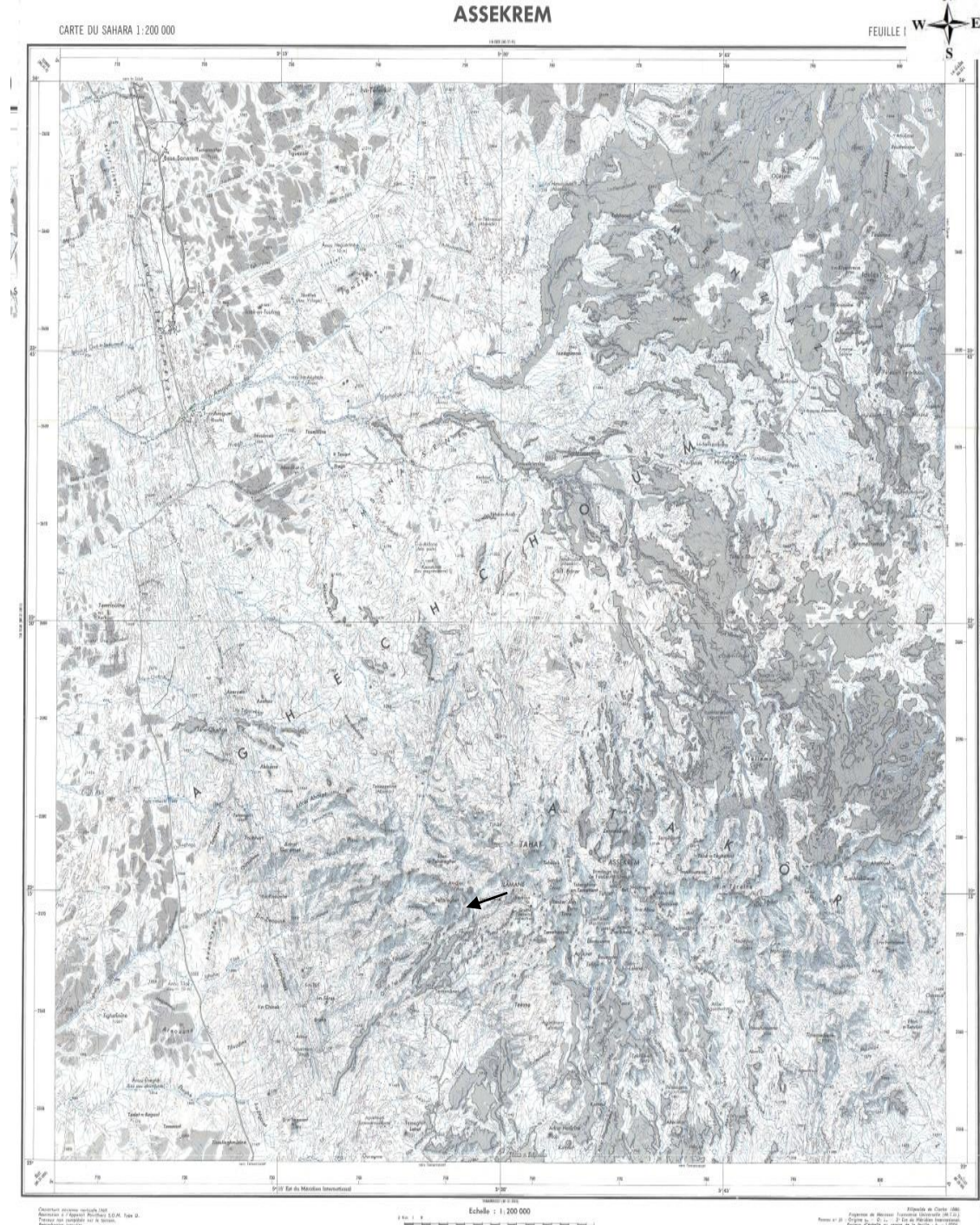
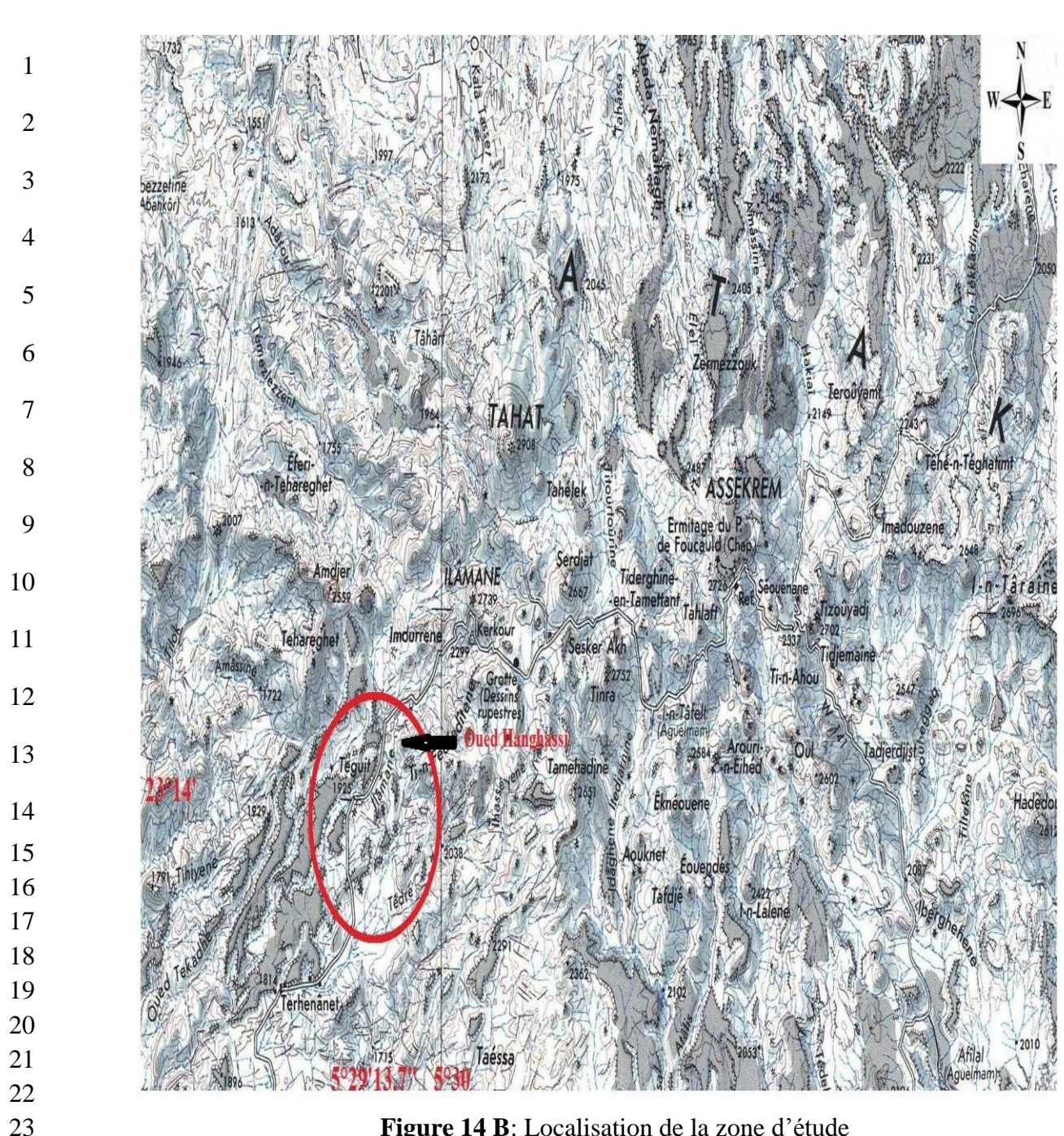


Figure 14A: Localisation de la zone d'étude.



**Figure 14 B**: Localisation de la zone d'étude Agrandissement à partir de la feuille d'Assekrem

La station de Oued Hanghassi Ouan Tighert, est localis ée dans la région naturelle de l'Atakor, sur le côt é Nord-Ouest, Elle se situe à environ 2100 mètres d'altitude au Nord-Ouest de la ville de Tamanrasset à environ 85 km., et appartient à l'étage bioclimatique saharien à hiver chaud.

Selon donn és m ét éorologiques recueillies au niveau de la station de Tamanrasset sur la p ériode allant de 2000 à 2013 (NOAA, 2013), les temp ératures moyennes maximales sont enregistr ées durant le mois de juillet (30,4  $^{\circ}$ C) et les temp ératures moyennes minimales en janvier (13  $^{\circ}$ C).

L'Oued Hanghassi Ouan Tighert est en exposition Nord Est. La superficie de notre station d'étude correspond à une quarantaine de km² et compte 30 pieds d'olivier de Laperrine, tous

échantillonn és (Echantillonnage syst ématique). Les arbres échantillonn és sont des pieds francs de 4 à 6 mètres de haut de distant l'un de l'autre d'environ 8 mètres

Le substrat où les échantillons sont récoltés est de nature rocailleuse granitique avec présence de sables grossiers. Nous rencontrons dans cette station de l'eau qui coule en surface d'où le nom de Tighert.

Comme espèce présente nous citons *Rhus tripartitus*, *Periploca laevigata*, un pied de *Myrtus nivellei*, quelques touffes d'*Atriplex halimus*, quelques pieds en aval de l'Oued de *Nerium oleander* et *Tamarix gallica* (Fig. 15).



Figure 15 : Diff érentes espèces v ég étales rencontr ées dans la station d'étude (A :Rhus tripartitus, B : Periploca laevigata, C : Myrtus nivellei, D : Atriplex halimus, E : Nerium oleander et F : Tamarix gallica)

Clich & fournis par M™ Sahki et Mr Abdellaoui Station INRF Tamanrasset

L'olivier de Laperrine est identifié grâce à ses caractéristiques par l'utilisation de la flore d'Ozenda (2004). L'authentification de l'espèce est confirmé par Mr Abdellah Sahki, chef de la station de Tamanrasset de l'Institut national de la recherche forestière (INRF).

Une fois au laboratoire, les feuilles et les tiges récoltées et triées sont séchées à l'air libre, à l'ombre et à l'abri de l'humidité. Elles sont par la suite broyées séparément (diamètre des particules compris entre 0,5 et 1 mm.) et conserv és à l'obscurité et à temp érature ambiante.

La poudre obtenue servira pour les différentes extractions.

#### 2-1-2-ELEVAGE DE LA PYRALE AU LABORATOIRE

Ephestia kuehniella provient des moulins Seybousse de la ville d'Annaba (Nord-Est Algérie). L'élevage est conduit au laboratoire dans une étuve sous des conditions optimales de développement, caract éris és par l'obscurité avec une temp érature de 27 ℃ et une humidit é relative d'environ70% (Soltani-Mazouni et al., 2012; Delimi et al., 2017).

Les adultes sont déposés dans des bocaux en verre de 20 cm de long avec un diamètre de 10 cm., ils contiennent de la farine et sont recouverts d'un tulle fix é par un dastique. Du coton imbib é d'eau sucr ée est dépos é sur chaque bocal dans le but d'activer la croissance de l'insecte (Fig.16).



**Figure 16**: Elevage de masse de la pyrale de la farine

Le suivi de l'élevage nous a permis de déterminer le sexe et de prélever des larves mâles ou femelles dans des boites de Pétri contenant de la farine et du papier plissé permettant aux larves de passer au stade de nymphe (Delimi et al., 2013). La datation des nymphes se fait en jour après l'exuviation nymphale (Taibi et al., 2003).

26 27

23

24 25

#### 2-1-3-PRELEVEMENTS SANGUINS

28 29

30

Un pr d'èvement de sang veineux est effectu é au niveau du pli du coude sur des volontaires sains (n= 10), non-fumeurs et ne suivant aucun traitement. Le sang est récupéré dans des tubes h éparin és et conserv é à 4 °C, pendant une p ériode ne d épassant pas 48 h.

#### 2-2-METHODES

Les différentes extractions et les divers protocoles visant à évaluer le potentiel antioxydant des extraits de l'olivier de Laperrine ont été réalisés au niveau du laboratoire de recherche en biochimie analytique et biotechnologie (LABAB) de l'Université Mouloud Mammeri de Tizi-Ouzou.

L'expérimentation menée sur l'effet des extraits de l'olivier de Laperrine sur la pyrale de la farine (*Ephestia kuehniella*) a été réalisée au sein du laboratoire de Biologie Animale Appliquée à l'Université de Annaba.

#### 2-2-1- PROCEDURE D'EXTRACTION

Il n'y a pas de techniques d'extraction universelle à tous les végéaux, la grande diversité structurale des polyphénols implique une grande variabilité de leur propriété physicochimique et par conséquent nécessite différentes techniques d'extraction et de solvants (Vercautern, 1996).

Dans le but d'évaluer l'activité antioxydante des feuilles de l'olivier de Laperrine, nous avons réalis é une extraction aqueuse et une extraction éthanolique. Ces derni ères consid èrent l'extrait v ég étal dans sa globalit é. En effet, d'après Dai et Mumper (2010), l'évaluation de l'activit é antioxydante est plus efficace en considérant l'ensemble de l'extrait v ég étal plut êt que de s éparer chaque fraction et l'étudier individuellement.

Selon de nombreux auteurs (Zouiten et El Hadrami 2001; Salunk é et al., 2005; Meftah et al., 2011), les flavono ïles présentent une forte activit é insecticide. Ainsi et dans le but de tester le potentiel effet insecticide des extraits obtenus à partir de l'olivier de Laperrine sur la pyrale de la farine, nous avons réalis é une extraction acide. Cette derni ère est selon Harchoui-Ouafi (2007) et Gaceb-Terrak (2010), présonis ée pour l'extraction des flavono ïles.

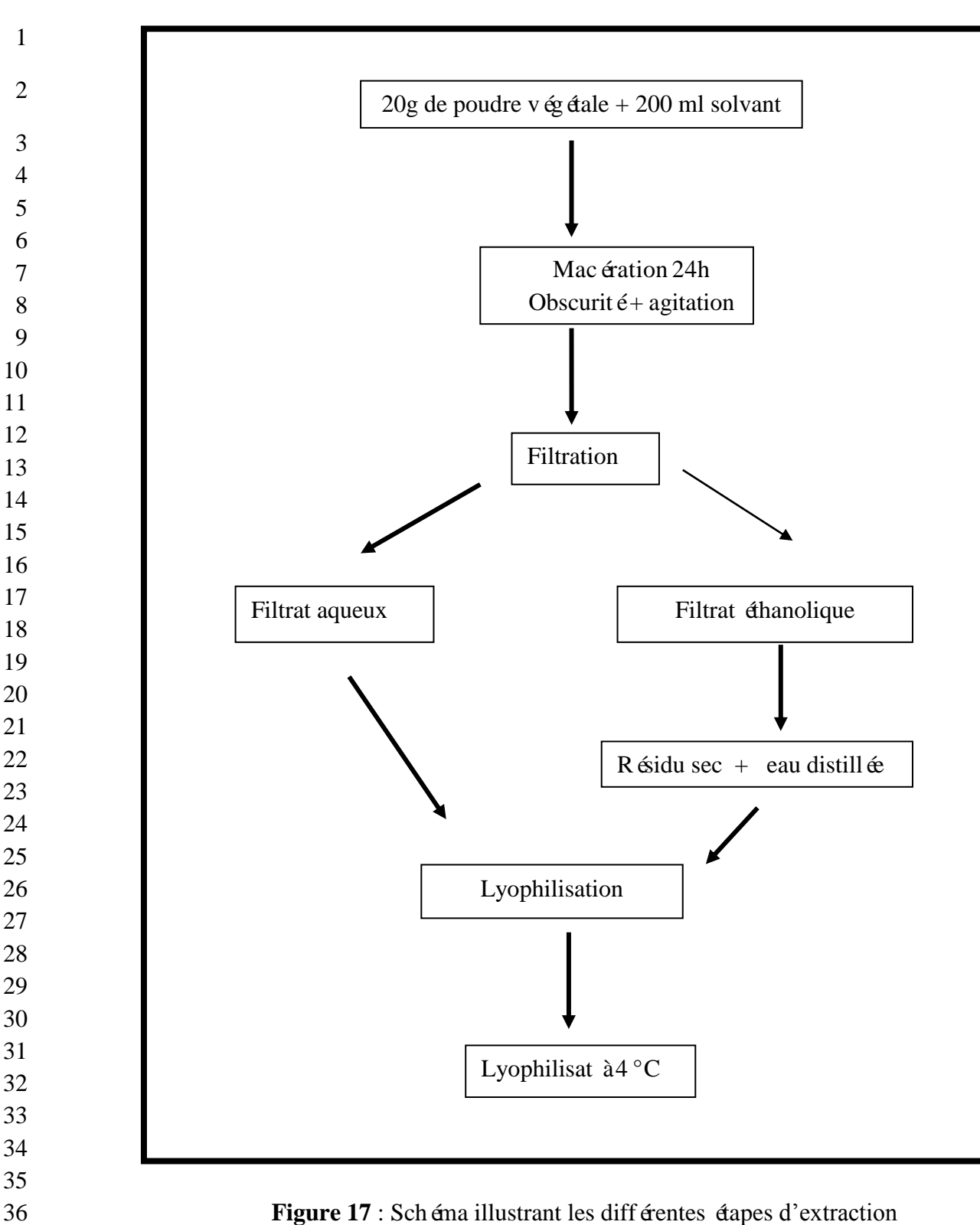
#### 2-2-1-1-EXTRACTION AQUEUSE

Nous avons proc éd é à la dissolution de 20 grammes de poudre de feuilles dans 200 ml d'eau distill ée. Apr ès une mac ération pendant 24h à l'obscurité sous agitation (100 rpm) à temp érature ambiante, la phase aqueuse du mac ér ât est filtr ée sur papier Wattman n°1 (Aiche-Iratni et *al.*, 2015; Moualek et *al.*, 2016).

D'après Abascal et *al.* (2005), la lyophilisation ou la déshydratation à froid assure une meilleure extraction des compos és phénoliques. Dai et Mumper (2010), précisent que cette méhode permet en outre de mieux préserver le matériel végétal.

# 2-2-1-2-EXTRACTION ETHANOLIQUE Nous procédons de la même manière que pour l'extraction aqueuse. En effet, 20g de poudre de feuilles sont mis à macérer dans 200 ml d'éthanol-eau (70:30, v/v). Le filtrat éthanolique obtenu est mis à évaporer à l'obscurité et à l'abri de l'humidité. Le résidu sec résultant est repris dans de l'eau distillée avant d'être lyophilis é

Les différentes étapes des extractions aqueuse et éthanolique sont résumées dans la figure 17.



La pes ée des résidus secs obtenus après lyophilisation nous permet de déterminer le rendement R de l'extraction obtenu pour chaque type extrait selon la formule suivante

 $R \% = (PS/PV) \times 100$ 

6 Avec:

- 7 R=Pourcentage du rendement;
- 8 PS=Poids sec des résidus secs;
- 9 PV=Poids de la poudre de feuilles.

#### 2-2-1-3-EXTRACTION ACIDE

Les poudres de feuilles et de tiges subissent une hydrolyse acide selon le protocole analytique mis au point par Lebreton et *al.* (1967) et Jay et *al.* (1975) modifié par Laracine en 1984. L'extraction consiste en une hydrolyse acide à chaud, de la poudre v ég étale au bain marie. Une insufflation d'air est réalis ée toutes les 10 mn, elle a pour but de faciliter l'oxydation des proanthocyanes en anthocyanes correspondantes et la lib ération des aglycones flavoniques à partir de leur O-glycosyl-flavono ïles. Ainsi, dans un erlenmeyer de 500 ml, nous introduisons g de poudre v ég étale et 160 ml d'acide chlorhydrique deux fois normal (HCl 2N).

Le métange est porté au bain marie à 40 °C pendant 40 minutes. L'extraction des flavono ïles, après hydrolyse et refroidissement est conduite en ampoule à décanter. Trois bains successifs d'éther éthylique (60 ml - 60 ml - 40 ml) sont réalisés, ce qui permet de recueillir les flavono ïles représentés par les flavones, les flavonoles et les acides phénols dans l'épiphase éthérés. Les trois extraits éthérés sont réunis pour évaporation spontanée à sec, sous hotte ventilée. Nous récupérons flavono ïles à l'aide de 5ml de méthanol pur.

L'hypophase acide résiduelle contient les anthocyanidines qui sont dos és par spectrophotom étrie à 540 nm et les C-glycosyl-flavono ïles.

Cette même phase est par la suite reprise par deux bain (40 ml - 40 ml) de n-butanol pour l'extraction des C-glycosyl-flavonoïdes, l'extrait butanolique est évaporé sous hotte ventil ée.

Le résidu sec obtenu après évaporation est repris dans 5 ml de méthanol pur.

Les différentes étapes de cette extraction sont représent éts dans la figure 18.

**Figure 18**: Protocole analytique d'extraction acide (Lebreton et *al.*, 1967)

234

5

6 7

8

1

Les extraits bruts résultants de l'hydrolyse acide sont représent és par une phase éthérée issue de feuilles (EF) ou de tiges (ET) et une phase butanolique obtenue à partir de feuilles (BF) ou de tiges (BT).

Suite aux étapes d'extraction, les extraits sont soumis à deux techniques d'analyse, techniques spectrophotom étriques et chromatographiques.

9 10

#### 2-2-2- ANALYSE QUANTITATIVE

121314

11

L'analyse quantitative est men ée par une s'érie de dosages spectrophotom étriques UV-visible.

#### 2-2-2-1-DETERMINATION DE LA TENEUR EN PHENOLS TOTAUX

1 2 3

4 5 6

7 8

9

14 15

17 18

19

20

16

21 22

23 24

25

26 27

28

29 30

31

32 33

34 35 36

37 38

39 40

41 42

43

Les phénols totaux sont estimés par la méhode au Folin-ciocalteu décrite par Singleton et Rossi (1965).

Les phénols présents dans les différents extraits subissent une réaction d'oxydation en présence du réactif de Folin-ciocalteu (RFC) aboutissant à une coloration bleue proportionnelle à la quantité de polyphénols contenus dans les extraits de feuilles d'olivier.

La teneur en polyphénols totaux est déterminée par extrapolation sur la courbe étalon, établie à partir d'une série de dilutions (10 -100 µg/ml) d'une solution mère (100 µg/ml) d'acide gallique servant de référence. Dans chaque tube à essai sont ajout és 0,25 ml de l'échantillon à doser, 1,25 ml du réactif RFC (1/10) et 1 ml de carbonate de sodium (75 g/l). Les différentes solutions sont incubées à 40 °C pendant 30 minutes. L'absorbance est par la suite mesurée à 765 nm. par un spectrophotom ètre Meline MD 2000. La teneur en totaux est exprim ét en milligramme équivalent acide gallique par gramme de poudre v ég étale (mg EAG/g PV).

#### 2-2-2- DETERMINATION DE LA TENEUR EN FLAVONO DES TOTAUX

La méthode utilisée est celle dérite par Chang et al. (2002). Elle est basée sur l'utilisation du chlorure d'aluminium donnant une coloration jaun âtre par ch dation des flavono des. Ainsi, à 0,5 ml de la solution de chaque extrait, sont ajout és 1,5 ml de méthanol, 0,1 ml de chlorure d'aluminium (10%), 0,1 ml d'acétate de potassium (1M) et 2,8 ml d'eau distill ée.

Le médange est incubé pendant 30 minutes à température ambiante. L'absorbance est mesur é à 415 nm. La courbe étalon est réalisée avec la quercétine (100 µg/ml), et l'équation de r égression lin éaire, permet de calculer la teneur totale en flavono ïles exprim ée en milligramme équivalent querc étine par gramme de poudre v ég étale (mg EQ/g PV).

#### 2-2-3- DETERMINATION DE LA TENEUR EN TANINS TOTAUX

Le dosage des tanins est réalisé selon le protocole mis au point par Hagerman et Butler (1978). Son principe consiste à précipiter l'albumine de sérum bovin (BSA) par les tanins conduisant ainsi à la formation d'un complexe proténes-tanins dont la teneur est mesur é par spectrophotométrie à 510 nm. 1ml de la solution de BSA (1mg/ml), est métangé à 500µl de la solution de l'extrait ; après une incubation de 24 h à 4 °C, le précipité est récupéré par centrifugation à 750 g à 4 °C pendant 15 minutes puis dissout dans 2 ml de sodium dod écylsulfate (SDS)/ triethanolamine (TEA) (1%/5%) additionn é de 500 µl du r éactif FeCl<sub>3</sub>.

Une incubation de 15 minutes est suivie par la lecture de l'absorbance.

La teneur totale en tanins exprimée en milligramme équivalent acide tannique par gramme de poudre végétale (mg EAT/g PV), est déterminée par l'utilisation de l'équation de régression Lin éaire obtenue à partir de la courbe d'étalonnage de l'acide tannique.

#### 2-2-4- DOSAGE GLOBAL DES AGLYCONES FLAVONIQUES

1 2 3

4

5

Le dosage différentiel des aglycones flavon ques totaux fait intervenir les propriétés chétatantes des ions Al3+ sur les flavono des. La hauteur du pic différentiel, proportionnelle à la concentration des aglycones flavoniques présents dans l'extrait est déterminée par spectrophotométrie à la longueur d'onde 430 nm.

678

9

La teneur globale des aglycones flavoniques est exprimée en mg d'équivalent querc étine /g de poudre v ég étale (mg EQ/g PV) par la formule suivante (Lebreton et al., 1967) :

10 11

```
T (mg/g) = (\Delta DO/\epsilon) M V (d/p) = 1.3 10^{-2} \Delta DO V (d/p)
```

12

16

- 13 Avec:
- 14  $\Delta DO = Densité optique du pic diff érentiel;$
- M = Masse molaire de la querc  $\acute{e}$ ine (302);
  - V = Volume de la solution m éthanolique d'aglycones-flavoniques;
- d = Facteur de dilution;
- p = Poids du mat ériel v ég étal sec hydrolys é
- ε = Coefficient d'absorption molaire de la quercétine dans le chlorure d'aluminium (230000 M<sup>-1</sup>cm<sup>-1</sup>).

20 21

Selon Idrissi-Hassani (1985), ce dosage présente un taux de variation de 5%.

2223

#### 2-2-5-DOSAGE DES ANTHOCYANES

2425

26

27

Les anthocyanes hydrosolubles sont dos és par spectrophotom étrie aux longueurs d'ondes d'absorption maximale des anthocyanes comprises entre 520 et 540 nm.

Selon Lebreton et *al.* (1967), la teneur en proanthocyanes totaux est exprim é en mg d'équivalent procyanidine/g de poudre v ég étale (mg EPC/g PV), par la formule suivante :

282930

$$T (mg/g) = \eta DO/\epsilon M V (d/p) = 5, 2 10^{-2} DO V d/p$$

31

- 32 Avec:
- 33 DO = Densit éoptique à 520 nm;
- M = Masse molaire de la cyanidine (306);
- V = Volume de la phase butanolique;
- d = Facteur de dilution;
  - p = Poids du mat ériel v ég étal sec hydrolys é,
- ε = Coefficient d'absorption molaire de la cyanidine (34700 M<sup>-1</sup>cm<sup>-1</sup>).
- d = Facteur de dilution;
- $\Omega = \text{Facteur de correction du rendement de l'oxydation des proanthocyanes en anthocyanes}$

41 42

37

Cette m éthode présente un risque d'erreur de 5% (Idrissi-Hassani, 1985).

43

#### 2-2-6- DOSAGE DES C-GLYCOSIDES

La présence des C-glycosides est détermin é par l'apparition de l'orientine. Celle-ci est dos é par spectrophotométrie à une longueur d'onde de 340 nm.

La teneur en C-glycosides totaux est exprimée en mg d'équivalent orientine/g de poudre végétale (mg EO/g PV) par la formule suivante (Lauranson, 1989):

```
T (mg/g) = DO/\epsilon MV (d/p) = 2, 5 \cdot 10^{-2} DO V (d/p)
```

11 Avec:

- DO = Densit éoptique ;
- 13 M = Masse molaire de l'orientine (448);
- V = Volume de la phase m éthanolique;
- 15 d = Facteur de dilution;
- p = Poids du mat ériel v ég étal sec hydrolys é
- $\varepsilon$  = Coefficient d'absorption molaire de l'orientine (18850 M<sup>-1</sup> cm<sup>-1</sup>).

#### 2-2-3- ANALYSE QUALITATIVE

Composition chimique des différents extraits est obtenue par la technique de chromatographie en phase liquide sous les conditions op ératoires suivantes.

L'analyse est réalis ée à l'aide d'un chromatographe en phase liquide de marque AGILENT s'érie 1100, équip é d'un d'éceteur à barrette de diodes (DAD) avec plusieurs longueurs d'ondes choisies en fonction des absorbances maximales des mol écules recherch ées, d'une pompe quaternaire, d'égazeur on-line et injecteur automatique. Le chromatographe est muni d'une colonne Hypersil BDS-C18,5 um, 250X4,6 à temp érature de 30 °C.

 L'élution est réalis ée par une phase mobile compos ée d'un gradient de solvant allant de 95% d'eau acidifi ée à 0,2% par l'acide ac étique (pH 3,1) jusqu'à 100% d'acétonitrile pendant 30 minutes. Le volume inject é est de 5  $\mu$ l de l'extrait solubilis é dans du méthanol à raison de 0,3g/ml. Le débit d'écoulement est de 1,5 ml/min.

La concentration de chaque compos é ph énolique de l'extrait est exprim é en pourcentage à partir des aires des pics obtenus. Leur identification est réalis é par comparaison des temps de rétentions des différents standards analys és selon le même mode op ératoire et dans les mêmes conditions et par leur spectre UV.

#### 2-2-3-1- TENEURS ABSOLUES DES MOLECULES BIOCHIMIQUES

La teneur absolue des molécules biochimiques est déterminée à partir des profils obtenus suite à la caractérisation chimique des différents extraits par chromatographie liquide à haute performance (HPLC). Elle est calculée selon la formule suivante :

Teneur absolue ([mAU\*]/g PV) = Aire du pic occupée par la molécule considérée x Volume de récupération du résidu sec/Volume d'injection

#### 2-2-4- ACTIVITES ANTIOXYDANTES

Le stress oxydant impliqué dans le vieillissement cellulaire et dans de nombreuses pathologies (coronariennes, cardiovasculaires, inflammatoires et dans certains cancers) peut être att énu é par les polyphénols contenus dans les végétaux grâce à leur important pouvoir antioxydant.

Les principaux effets antioxydants des polyphénols se traduisent d'une part, par les réactions d'oxydo-réductions évaluées dans notre étude part les tests de la réduction du phosphomolybdate et la réaction du fer. D'autre part, le pouvoir antioxydant des polyphénols se manifeste par leur capacité à neutraliser les espèces réactives à l'oxygène qui est évaluée par le test de neutralisation des radicaux DPPH, peroxyde d'hydrogène (H<sub>2</sub>O<sub>2</sub>).

Ce sont des méthodes spectro-photométriques le plus souvent utilisées pour l'évaluation des activités antioxydantes des extraits de v ég étaux.

Tous les tests sont r ép ét és trois fois.

### 2-2-4-1- CAPACITE ANTIOXYDANTE TOTALE OU TEST DU PHOSPHOMOLYBDATE (TAC ASSAY)

Le test du phosphomolybdate permet d'évaluer la capacit é antioxydante totale des extraits v ég étaux. Il est bas é sur la réduction des ions molybdate Mo(VI) en molybd ène Mo(V). Les antioxydants rompent la cha îne des radicaux libres en lib érant un atome d'hydrogène (Gordon, 1990), entrainant ainsi la formation d'un complexe vert (phosphate/Mo àpH acide).

L'intensité du complexe formé est proportionnelle au pouvoir réducteur des extraits test és.

La capacité antioxydante totale est estimée par le dosage du phosphomolybdène selon le protocole mis au point par Prieto et *al.* (1999). Le test consiste à mélanger 0,1 ml de l'extrait végétal à différentes concentrations (100 à 700 µg/ml) avec 1 ml du réactif de molybdate composéde 0,6 M d'acide sulfurique, 28 mM NaH<sub>2</sub>PO<sub>4</sub> et 4 mM molybdate d'ammonium.

Après une incubation de 90 minutes à 95 °C et refroidissement du mélange à température ambiante, l'absorbance est lue à 695 nm. La courbe étalon est établie avec l'acide ascorbique (20 - 200 μg/ml), la droite de régression permet de calculer la teneur totale de la TAC. Cette derni ère est exprim ét en milligramme équivalent acide ascorbique par gramme d'extrait (mg EAA/g d'extrait).

#### 2-2-4-2-DETERMINATION DU POUVOIR REDUCTEUR (FRAP ASSAY)

Le pouvoir réducteur des extraits est évalu é selon la méthode d'Oyaizu (1986). Elle est bas é sur la réduction des ions ferriques (Fe<sup>+3</sup>) présents dans le ferricyanure de potassium, K<sub>3</sub>Fe (CN)<sub>6</sub> à

1% (m/V) en ions ferreux (Fe+2) en présence d'un antioxydant qui a le pouvoir de céder des dectrons. Cette réaction conduit à la formation d'un complexe bleu dont l'intensité indique une augmentation de la réduction du fer.

Ce test est un indicateur de l'activité donatrice d'électrons qui caract érise le pouvoir antioxydant des polyphénols.

Diff érentes concentrations d'extrait de feuilles d'olivier de Laperrine (40 à 300 μg/ml) sont pr épar ées dans de l'eau distill ée et m dang ées avec 2,5 ml de tampon phosphate (200 mM, pH 6,6) et 2,5 ml de ferricyanure de potassium (K<sub>3</sub>Fe (CN) 6) (1% m/v). Le m dange est incub é à 50 °C pendant 20 minutes, puis 2,5 ml d'acide trichlorac étique (10%) sont ajout és. Le m dange est ensuite centrifug é à 750 g pendant 10 minutes.

Nous prenons 5 ml du surnageant que nous méangeons à 5 ml d'eau distillée et 1 ml de FeCl<sub>3</sub> (0,1%). Enfin, l'absorbance est mesur ée à 700 nm.

L'augmentation de l'absorbance du méange réactionnel indique une augmentation du pouvoir réducteur. L'acide ascorbique est utilisé comme témoin positif dans les mêmes conditions expérimentales.

La teneur totale de la FRAP, exprimée en milligramme équivalent acide ascorbique par gramme d'extrait (mg EAA/g d'extrait), est déterminée par l'utilisation de l'équation de régression linéaire obtenue à partir de la courbe d'étalonnage de l'acide ascorbique.

## 2-2-4-3-DETERMINATION DE L'ACTIVITE DE PIEGEAGE DES RADICAUX LIBRES (DPPH ASSAY)

Le radical DPPH• est g én éralement l'un des compos és les plus utilis és pour l'évaluation rapide et directe de l'activité antioxydante en raison de sa stabilit é sous forme radicale et la simplicit é de l'analyse (Bozin et *al.*, 2008).

L'effet des extraits aqueux (EA) et éthanolique (EE) ainsi que l'acide ascorbique sur le pi égeage des radicaux DPPH• est estimé selon la proc édure d'écrite par Sharma et Bhat (2009); Santos et *al*. (2010). Un volume de 3,75 ml de chaque extrait solubilis é dans du m'éthanol dont les concentrations varient de 2,5 à 20 μg/ml, sont m'étang és à 0,25 ml de DPPH (0,8 mM). Apr ès une incubation de 30 minutes à temp érature ambiante et à l'abri de la lumière, l'absorbance est mesur ée à 517 nm.

Le pourcentage de pi égeage des radicaux libres est calcul éselon la formule:

#### $Ac-As/Ac \times 100$ ;

Ac = Absorbance du contr  $\hat{a}$ ;

Avec:

43 As= Absorbance de l'échantillon.

L'activité antiradicalaire est d'éinit par deux paramètres:

\*La concentration efficace (EC50), définit comme la quantité d'antioxydants nécessaire pour diminuer la concentration initiale du radical DPPH• de 50%. Cette valeur est calcul é à partir de l'équation de régression qui est représent é par le pourcentage de piégeage en fonction des concentrations de l'extrait végétal. Plus cette valeur est basse, plus la capacité de piégeage des radicaux libres est élev é.

\*\*L'indice de l'activité antioxydante (IAA), correspond selon Scherer et Godoy (2009), à la concentration finale du DPPH ( $\mu$ g/ml)/EC50 ( $\mu$ g/ml). Les extraits peuvent présenter une activité antioxydante faible (IAA < 0,5), mod ér ée (IAA comprise entre 0,5 et 1,0), forte (IAA comprise entre 1,0 et 2,0) et très forte (IAA > 2,0).

### 2-2-4-4- Inhibition du blanchiment du $\beta$ -carotene (BCB ASSAY)

L'activité antioxydante des extraits aqueux (EA) et éthanolique (EE) est mesur ée selon le protocole mis au point par Tepe et al. (2006). La méthode de blanchiment du  $\beta$ -carot ène repose sur la perte de la couleur orange, due à sa réaction avec les radicaux peroxyles libres résultants de l'oxydation de l'acide linoléique dans une émulsion. Ainsi, l'oxydation de l'acide linol éque g én ère des radicaux libres peroxyles (ROO•), form és lors de l'extraction d'un atome d'hydrogène et l'un des groupements méthyl ène diallylique attaque les mol écules de  $\beta$ -carot ène hautement insatur ées, le b éta- carot ène est ainsi oxyd é et partiellement d égrad é Par la suite le syst ème perd le chromophore et sa couleur orange caract éristique devient incolore (Jayaprakasha et al., 2001).

Le taux de blanchiment du  $\beta$ -carot ène, peut être ralenti en présence des antioxydants contenus dans les extraits v ég étaux, qui donnent un atome d'hydrogène pour inhiber les radicaux peroxyles libres, la réaction est la suivante: ROO++ AH  $\rightarrow$  ROOH + AH + A•.

Ainsi, 2 mg de  $\beta$ -carot ène sont dissous dans 1 ml de chloroforme, ce m dange est introduit dans une fiole contenant 25  $\mu$ l d'acide linol éque pur et 200 mg de tween 40. Nous proc édons à une évaporation du chloroforme à 40 °C à l'aide d'un rotavapor sous vide. Par la suite, 100 ml d'eau distill ée satur ée en oxyg ène sont ajout és et le m dange obtenu est agit é vigoureusement. 2,5 ml de ce m dange sont additionn és à 350  $\mu$ l de différentes concentrations (100 à 1800  $\mu$ g/ml) des extraits v ég étaux test és et au BHT témoin positif. Apr ès une incubation à 50 °C pendant 120 min, l'absorbance est lue à 470 nm.

Le pourcentage d'inhibition (I%), est calculé par l'équation:

```
(E_{120}-C_{120}/C_0-C_{120}) \times 100
```

Avec:

- 42 E<sub>120=</sub> Absorbance de l'échantillon à t<sub>120 min</sub>;
- 43 C<sub>120=</sub> Absorbance du contr de àt<sub>120 min</sub>;
  - C<sub>0=</sub> Absorbance du contrôle à to min.

#### 2-2-4-5-DETERMINATION DE L'ACTIVITE DE PIEGEAGE DU PEROXYDE D'HYDROGENE

La capacit é de pi égeage du peroxyde d'hydrogène par les extraits de feuilles de l'olivier de Laperrine est d étermin ée selon la m éthode d écrite par Ruch et *al.* (1989). Une solution de peroxyde d'hydrogène (40 mM) est pr épar ée dans un tampon phosphate (pH 7,4). Une aliquote de 3,4 ml de l'échantillon à différentes concentrations (130 à 510 μg/ml) est ajoutée à 0,6 ml de la solution de H<sub>2</sub>O<sub>2</sub>. Apr ès 10 minutes d'incubation, l'absorbance du m élange r éactionnel est lue à 230 nm. L'acide ascorbique est utilisé comme témoin positif.

La capacité de pi éger le H2O2 des extraits et du r éférent est calcul ée selon la formule suivante :

Pourcentage de pi égeage = (1-Absorbance de l'extrait/Absorbance du témoin) x 100.

#### 2-2-5-TEST HEMOLYTIQUE

La toxicit é des feuilles de l'olivier de Laperrine sur les globules rouges est évalu é selon le protocole mis au point par Kumar et *al.* (2013). Les globules rouges sont s épar és du plasma par centrifugation de 3 ml de sang à 200 g pendant 10 minutes à 4 °C. Le culot obtenu est lav é trois fois avec 3 ml de tampon phosphate (pH 7,4; NaCl 0,9%). 1 ml de la solution d'érythrocytes (2%) est incub é dans un volume égal d'extrait EA et EE à différentes concentrations (62,5 à 2000 μg/ml), dissous dans du PBS. L'eau distill é est utilis é comme t émoin positif et le PBS comme t émoin n égatif. Apr ès une incubation à 37 °C pendant 30 minutes sous agitation mod ér ée (20 rpm), le m dange est centrifug é à 200 g à 4 °C pendant 10 minutes.

L'absorbance du surnageant contenant l'hémoglobine est lue à 540 nm. Le pourcentage d'hémolyse est calculé selon la formule:

(Absorbance extrait-Absorbance témoin négatif/Absorbance témoin positif-Absorbance témoin négatif) x 100

#### 2-2-6- ACTIVITE BIO-INSECTICIDE

Cette exp érimentation est men ée dans le but d'évaluer l'effet bio-insecticide des extraits bruts de l'olivier de Laperrine sur les paramètres de la reproduction d'*Ephestia kuehniella* et sur la mortalit é des adultes.

Dans un premier temps, nous avons testé l'extrait aqueux obtenu à partir des feuilles de l'olivier sur la pyrale de la farine. Cependant les résultats obtenus n'étaient pas suffisamment concluant pour être exploités. Ceci serait peut être dû à la forte teneur en impuretés de l'extrait aqueux (Rafiee et *al.*, 2011).

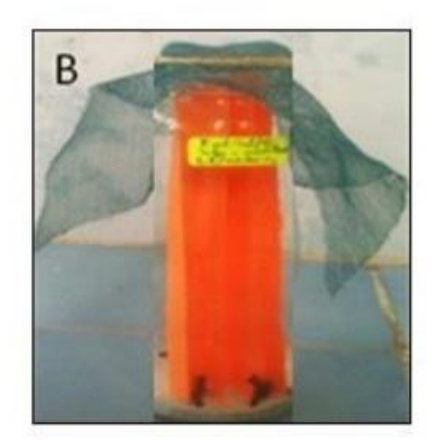
Suite à cela, nous avons concentré nos efforts sur les différentes fractions obtenues après l'extraction des flavono ïles, ces derniers sont connus pour leur effet insecticide. Ainsi, nous tentons d'évaluer le résultat de l'exposition de la pyrale de la farine aux extraits EF (extrait éthéré de

tentons d'évaluer le résultat de l'exposition de la pyrale de la farine aux extraits EF (extrait éthéréde feuilles), ET (extrait éthéréde tiges), BF (extrait butanolique de feuilles) et BT (extrait butanolique

44 de tiges).

Ces derniers sont administr & à des chrysalides et à des adultes nouvellement exuvi & de la pyrale de la farine, par inhalation (saturation de leur environnement) (Delimi et *al.*, 2013). Les diff érents extraits sont r épandus uniform ément sur le papier filtre d épos é dans des boites de P étri (Fig. 19A) ou dans des flacons (Fig.19B), contenant l'insecte ravageur (Ndomo et *al.*, 2009).





**Figure 19**: Application des extrais de l'olivier de Laperrine de la pyrale de la farine. **A**: Dans des boites de Péri, **B**: Dans des flacons

Dans le cas des chrysalides et dans des boites de Péri, les extraits bruts, EF, ET, BF et BT sont pulv éris és sur du papier pliss é sur lequel sont dépos ées quatre nymphes femelles par boite de Péri, immédiatement après leur exuviation nymphale. Ce stade représente le début du développement des ovaires chez les lépidopt ères, (Delimi et *al.*, 2017).

L'administration des extraits bruts à ce stade du cycle de vie, a pour objectif de tester la maturation des ovaires des femelles et le pourcentage d'œufs pondus. Sept répétions sont réalisées pour chaque traitement, les boites témoins sont traitées par le méthanol, solvant de solubilisation.

Dans le cas des adultes, dès leur exuviation, un couple de papillon est déposé dans chaque flacon, ce dernier contient 30 g de farine. Les extraits bruts sont pulvérisés sur le papier plissé introduit dans les flacons.

Sept répétitions sont réalisées par traitement et les flacons témoins sont traités au méthanol.

La concentration des extraits bruts test és est de 0,2 g/ml et leur effet sur la reproduction d'*Ephestia kuehniella*, a pour but l'évaluation des paramètres suivants:

- La dur ée du développement nymphal correspondant au temps exprim é en jours, qui sépare l'exuviation nymphale de l'exuviation adulte;
- La dur ée de la période de pré-oviposition, représent ée par le nombre de jours séparant l'émergence adulte et le début de la ponte des œufs;
- La durée de la période d'oviposition est estim ée par le nombre de jours de ponte ;

• La fécondit é des femelles, qui correspond au nombre d'œufs dépos és durant toute la dur ée d'oviposition.

Par la suite, nous introduisons dix adultes, m âles et femelles, dans un flacon contenant 30 g de farine. Le traitement se fait par pulv érisation du papier pliss é se trouvant dans le flacon par les extraits de l'olivier. Les flacons témoins sont traités au m éthanol.

Les essais de toxicité des différents extraits, portent sur le comptage de la mortalité des insectes trait & apr às une période de 21 jours, depuis le début de l'expérience (Chaieb, 2011). Notre but est d'estimer la long évit é des insectes soumis aux extraits bruts de l'olivier. Cette derni ère est détermin & par le taux de mortalité des insectes témoins et trait & qui est calcul é à partir de la formule suivante:

Mortalité observée = (Nombre d'individus morts /Nombre total d'individus) x100.

#### 2-2-7-TRAITEMENTS DES DONNEES

Les résultats sont exprimés sous forme de moyenne affect ée de son écart-type au risque de 5%. Le test t de Student est utilisé pour analyser le niveau de signification statistique entre les séries des moyennes trait ées deux àdeux dans le cas des dosages réalisés.

L'influence des différents extraits sur le pouvoir antioxydant ainsi que leur influence sur les paramètres de la reproduction de la pyrale font l'objet d'une analyse de la variance à un facteur. La normalité des données est au préalable vérifiée par le test de Pearson. L'analyse statistique est réalisée au risque de 5% avec le logiciel STATBOX 6. Dans le cas de différence significative, nous appliquons le test de Newman-Keuls pour définir les groupes homogènes.

Une analyse en composantes principales (ACP) est effectuée au risque de 5% avec le logiciel XLSTAT.

Cette ACP a pour objectif de traiter plusieurs variables à la fois afin d'établir des corr dations entre

elles.

# CHAPITRE III RESULTATS ET DISCUSSION

# PREMIERE PARTIE ACTIVITES ANTIOXYDANTES

#### 3-1- Premiere Partie: Activites antioxydantes

#### 3-1-1-ANALYSE QUANTITATIVE

Nos résultats montrent que le rendement d'extraction par rapport à la masse initiale du mat ériel v ég étal est respectivement de 17,29 ± 1,42% pour l'extrait aqueux (EA) et de 15,98 ± 1,38% pour l'extrait éthanolique (EE).

Selon Luis et al. (2012), le rendement d'extraction varie en fonction du solvant utilisé.

En effet, suite à une série d'extractions réalisées sur les parties aériennes d'Olea europaea utilisant l'éthanol, le méthanol et l'acétone comme solvants d'extraction, ils obtiennent des rendements différents. Cette observation ne semble pas s'appliquer dans le cas des feuilles de l'olivier de Laperrine puisque la comparaison statistique des moyennes montre qu'il n'y a aucune diff érence significative (p = 0.16) entre les deux extraits.

Les rendements d'extraction calculés au cours de notre expérimentation sont plus élevés que celui noté par Ahmed et al. (2014), à partir d'une extraction éthanolique sur des feuilles d'Olea europaea, oùils obtiennent une valeur de 11%.

Dans le but de caractériser les extraits EA et EE de l'olivier de Laperrine, une étude		
quantitative par les méthodes colorimétriques (Folin ciocalteu, trichlorure d'aluminium et		
formation du complexe proténes-tanins) est réalisée. Elle a pour objectif de comparer l'effet		
du solvant d'extraction sur la teneur en phénols, en flavonoïdes et en tanins totaux.		

Les teneurs totales en compos és phénoliques sont déterminées par référence aux courbes étalons respectives (Tab.V). Les résultats obtenus révèlent une variabilité apparente dans les teneurs calcul ées.

Tableau V: Rendements d'extraction et résultats des dosages

	Rendement d'extraction (%)	Ph énols totaux (mg EAG/g PV)	Flavono ïles totaux (mg EQ/g PV)	Tanins totaux (mg EAT/g PV)
Equation		Y=0,0077X+0,125	Y=0,0017X+0,0287	Y=0,0002X-
de		$R^2=0.96$	$R^2 = 0.98$	0,1037
r égression				$R^2 = 0.91$
EA	$17,29\pm1,42$	118,85±4,99	17,50±2,16	$32,90\pm3,12$
EE	$15,98\pm1,38$	134,72±9,25	$26,08\pm1,57$	$29,67\pm1,70$
р	0,16	0,03	$2,5510^{-3}$	0,10

En effet, l'analyse statistique des données montre que la différence entre les moyennes est significative dans le cas des phénols totaux (P = 0.03), nous enregistrons une valeur de 118,85  $\pm 4,99$  mg EAG/g PV pour EA et de 134,72  $\pm 9,25$  mg EAG/g PV pour EE, et des flavono des totaux (p =  $2.5510^{-3}$ ), avec une moyenne calcul é de  $17.50 \pm 2.16$  mg EQ/g PV pour EA et de  $26,08 \pm 1,57$  mg EQ/g PV pour EE. Dans le cas des tanins totaux, le test de Student ne montre aucune diff érence significative (p = 0,1) entre les deux extraits test és.

Une étude réalis ée par Katanilic et *al.* (2006), classant 70 plantes médicinales en fonction de leur richesse en phénols totaux quantifi ée à partir d'un extrait aqueux (0,6 mg EAC/g extrait sec à 145,87 mg EAC/g extrait sec), suggère que les feuilles de l'olivier de Laperrine sont très riches en polyphénols. En effet, la comparaison de nos résultats avec ceux rapport és par la littérature montre, que la teneur en polyphénols est importante dans les feuilles de l'olivier de Laperrine (Tab. VI). A notre avis, cette richesse serait due aux conditions environnementales très arides dans lesquelles se développe l'olivier du Sud. Les polyphénols étant connus pour être synthétis és en grande quantitéen période de stress hydrique.

**Tableau VI**: Comparaison de la teneur en phénols totaux des feuilles d'*O.e. laperrinei* avec celle des feuilles d'*Olea europaea* L.

Type d'extrait	Teneurs en polyph énols totaux	R & érences bibliographiques
Extrait éthanolique	134,72 ±9,25 mg EAG/g PV	Nos r ésultats
Extrait aqueux	118,85 ±4,99 mg EAG/ g PV	
Extrait aqueux	16,52±0,62 mg EAG/g poids sec (Ch étoui)	Abaza et <i>al.</i> (2011)
Extrait éthanolique	197,8±11,3 μg EAG/g extrait sec	Dekanski et al. (2009)
		Abaza et al. (2011)
	24,36±0,85 mg EAG/g poids	
	sec (Ch étoui)	
		Xie et al. (2015)
	245,2±0,65 mg EAG/g r ésidu	
	Se	
Extrait m <del>á</del> hanolique	464,27 mg EH*/100g poids sec (Chemlal)	Brahmi et <i>al.</i> (2013)
	270,53 mg EH*/100g poids	
	sec (Neb jmel)	
	90,48±0,16 mg EAG/g r ésidu	Nashwa et <i>al.</i> (2014)

<sup>\*</sup>Hydroxytyrosol

Les travaux réalisés sur les composés phénoliques montrent qu'ils sont sensibles aux facteurs environnementaux, physiologiques et g én étiques qui influencent leur biodisponibilit é au sein d'une espèce donnée. Ainsi leur concentration varie en fonction des saisons (Tomar et al., 2015), de l'effet station (Fahmi et al., 2013), et du stade de maturation de la plante (Irondi et al., 2013). Tattini et al. (2006), précisent que la synthèse des polyphénols est nettement augment és suite à un stress provoqué par un rayonnement solaire intense.

sec

La teneur en flavonoïdes totaux des feuilles de l'olivier de Laperrine est plus élevée que celle calcul ée par Abaza et al. (2011), à partir de feuilles d'Olea europaea de la vari ét Ch étoui, ils enregistrent une valeur de  $6,23 \pm 0,62$  mg EC/g poids sec pour un extrait aqueux et  $15,83 \pm 1,26$  mg EC/g poids sec pour un extrait éthanolique. Pour Botsoglou et al. (2012), la teneur calculée à partir d'un extrait éthanolique correspond à  $12,46 \pm 0,58$  mg EC/g feuilles sèches d'Olea europaea L.

Les travaux consult és montrent que la teneur en tanins totaux est plus élev ée dans les feuilles de l'olivier de Laperrine comparativement à celle des feuilles d'*Olea europaea* L., qui selon Brahmi et *al.* (2013), correspond à une valeur de 79,70 mg EC/100g poids sec pour la vari ét é Chemlal et à une valeur de 73,05 mg EC/100g poids sec pour la vari ét é Neb jmel. Cependant la teneur en tanins d'*Olea laperrinei* se rapproche de 22,79 g EAT/kg MS, valeur obtenue par Mebirouk-Boudechiche et *al.* (2014), à partir des feuilles d'*Olea europaea*.

Notre exp érimentation montre que la teneur totale des tanins est plus élev ée que celle des flavonoïdes totaux, ce qui s'expliquerait par le fait que l'olivier de Laperrine est une espèce scl érophyte du Sahara central vivant dans un environnement sec avec peu d'eau disponible et x érophytique et sur sol superficiel, de plus elle subit une grande pression pastorale. Selon Bennick (2002), la synth èse des tanins est g én éralement augment ée suite à un stress environnemental quel que soit son origine, tel qu'un stress hydrique, un appauvrissement du sol, un ensoleillement trop fort ou un stress engendré par l'agression des végétaux par les herbivores (Woodward et Coppock, 1995). Raven et *al.* (2007), rapportent que les tanins sont pr ésents à des concentrations relativement élev ées dans les feuilles des plantes ligneuses.

La sélection d'un bon solvant d'extraction affecte le taux de polyphénols obtenus (Xu et Chang, 2007), le choix est donc basé sur un équilibre entre la polarité et le rendement d'extraction des polyphénols (Franco et *al.*, 2008). Ainsi, les solvants polaires, tel que l'eau, sont de bons solvants d'extraction (Mailoa et *al.*, 2013) puisqu'ils fournissent une concentration élevée en polyphénols dans l'extrait végétal (Štankovit, 2011), mais présente l'inconvénient d'avoir un extrait avec une teneur élevée en impuretés tels que les acides organiques, les sucres et les proténes solubles (Rafiee et *al.*, 2011).

Pour Mailoa et *al.* (2013), la meilleure extraction est celle obtenue à partir du méange d'un solvant organique avec l'eau. En effet les polyphénols sont plus solubles dans l'éthanol que dans l'eau (Fernando et Soysa, 2014), et d'après Alothman et *al.* (2009), le méange éthanol-eau dissous une large gamme de phénols. Ces observations sont en accord avec nos résultats. Il ressort, en effet, de notre expérimentation que le méange éthanol-eau est un meilleur solvant d'extraction comparativement à l'eau utilisée seule, puisque les teneurs en compos és phénoliques calculées sont plus élevées dans l'extrait EE.

Nos résultats confirment les travaux de Trabelsi et *al.* (2010); Mohammedi et Atik (2011); Bourgou et *al.* (2016) pour lesquels, l'éthanol-eau donne une teneur en phénols totaux plus dev ét que celle obtenue avec l'eau.

De plus, Shi et *al.* (2005); Alothman et *al.* (2009), notent que l'éthanol est sans danger pour la santé humaine, et qu'il représente un solvant non polluant (Dai et Mumper, 2010) et faiblement toxique (Franco et *al.*, 2008).

1 2

#### 3-1-2- ANALYSE QUALITATIVE

La composition chimique des extraits EA et EE est réalis ée par chromatographie liquide à haute performance (HPLC). Nous avons identifi é 11 mol écules chimiques, dont 10 dans l'extrait EE et seulement 7 dans l'extrait EA (Tab. VII).

**Tableau VII**: Principaux composés chimiques identifiés dans les extraits de l'olivier de Laperrine

	Extrait Aqueux		Extrait Ethanol	Extrait Ethanolique	
Compos és chimiques	Temps de	Aire	Temps de r étention	Aire	
	r étention (Min)	(%)	(Min)	(%)	
Hydroxytyrosol	4,842	2,14	4,843	2,10	
Acide caf <b>â</b> que	7,085	2,39	7,084	1,8	
Vanilline	8,583	2,79	-	-	
Rutine	-	-	8,760	25,19	
Acide	-	-	8,813	2,25	
n hydroxycinnamique					
Lut éoline-7-	9,202	6,76	9,222	6,89	
glucoside					
Oleurop <b>â</b> ne	10,083	5,97	10,094	6,20	
Naring énine-7-	-	-	10,362	8,31	
glucoside					
Lut éoline	12,826	3,87	12,749	3,08	
Apig énine	-	-	14,450	1,92	
Hesp <del>é</del> ridine	15,554	1,72	15,560	1,05	

-: Absence

Nos résultats indiquent la présence dans les extraits, de l'hydroxythyrosol et de l'oleuropéine, composés typiquement caractéristiques d'*Olea europaea*. De plus, nous retrouvons, la rutine, l'acide caféique, la lutéoline, la vanilline et l'apigénine, l'ensemble de ces compos és se retrouvent également dans les feuilles d'*Olea europaea* (Caturla et *al.*, 2005; Lee et *al.*, 2009; Khlif et *al.*, 2015).

#### 3-1-3-ACTIVITES ANTIOXYDANTES

L'évaluation de l'activité antioxydante d'un extrait végétal est le plus souvent réalis é par le test du pouvoir réducteur (FRAP), le test du pi égeage du radical libre DPPH et le test du blanchiment du β- carot ène (Hayes et al.,2011).

#### 3-1-3-1-CAPACITE ANTIOXYDANTE TOTALE (TAC ASSAY)

Les résultats obtenus au cours de notre expérimentation montrent que les extraits de feuilles de l'olivier de Laperrine poss èdent une capacit é antioxy dante totale élevée.

Le test de Student met en évidence une différence significative entre l'extrait EA et l'extrait EE (p = 0,007). La TAC est calculée à partir de l'équation de régression linéaire obtenue à partir de la courbe d'étalonnage de l'acide ascorbique (Y= 0,0048X+0,02, R<sup>2</sup>=0,99).

Bien que la capacit é antioxydante globale de EA (267,26  $\pm$ 2,67 mg EAA /g d'extrait), soit moins importante que celle de EE (345,41  $\pm$ 3,31 mg EAA /g d'extrait), elles sont toutes deux nettement plus dev és que celle rapport é par Khlif et *al.* (2015) à partir d'un extrait méthanol-eau de feuilles d'*Olea europaea* vari é é Ch étoui, qui est de 73,94  $\pm$  1,98 mg Equ vitamine E/g d'extrait).

D'après Jayaprakasha et al. (2003), l'activité antioxydante des extraits végétaux dépend de la présence des polyphénols, qui agissent comme des réducteurs. Cette observation est en accord avec la corrélation linéaire que nous avons établie entre la TAC des extraits test és et la teneur en phénols totaux. Elle est fortement significative avec des coefficients respectifs de 0,99 pour l'extrait EA et de 0,89 pour l'extrait EE. Ces résultats suggèrent donc que les polyphénols présents dans les extraits de l'olivier de Laperrine seraient responsables de l'activité antioxydante et sont en accord avec ceux rapportés par Kchaou et *al.* (2013), Jan et *al.* (2013), Haddouchi et *al.* (2014) et Amessis-Ouchemoukh et *al.* (2014), qui montrent que la teneur élev ée en phénols totaux explique les propri ét és antioxydantes des plantes.

#### 3-1-3-2- POUVOIR REDUCTEUR (FRAP ASSAY)

Le pouvoir réducteur des extraits de feuilles de l'olivier est basé sur leur capacité à réduire le fer ferrique en fer ferreux. Selon Kumaran et Karunakaran, (2007), la réduction des ions ferriques (Fe<sup>3+</sup>) en ions ferreux (Fe<sup>2+</sup>) est utilis  $\acute{e}$  comme un indicateur de l'activité donneuse d'électron, qui représente un mécanisme important de l'activité antioxydante des polyphénols. La valeur de la FRAP est déterminée à partir de l'équation de régression linéaire obtenue à partir de la courbe d'étalonnage de l'acide ascorbique (Y= 0,0143X+0,0062, R<sup>2</sup>= 0,99). L'extrait EE présente une plus grande puissance réductrice que l'extrait EA (p = 0,0019) avec des valeurs calcul  $\acute{e}$ s de 258,76  $\pm$  6,69 mg EAA/ g d'extrait pour EE et de 153,72  $\pm$  2,70 mg EAA/g d'extrait pour EA.

La comparaison de nos résultats à ceux de la littérature (Tab.VIII), montre que les extraits de feuilles de l'olivier de Laperrine présentent un potentiel réducteur devé Ils pourraient servir de donneur d'électron ou de proton H<sup>+</sup>. En effet, le pouvoir réducteur d'un extrait vég étal est associé à la présence de réducteurs qui exercent une activité antioxydante en faisant don d'électron stabilisateur (Chang et *al.*, 2002) ou d'un atome d'hydrogène (Nabavi et *al.*, 2009), et en rompant la cha îne des radicaux libres.

1 2

**Tableau VIII**: Comparaison des résultats du test FRAP avec ceux des feuilles d'*Olea europaea* L.

Type d'extrait	FRAP	R de derences
		bibliographiques
Extrait aqueux	153,72±2,70 mg EAA/ g d'extrait	Nos r ésultats
Extrait éthanolique	258,76± 6,69 mg EAA/ g d'extrait	
Extrait	30,1±0,1 mg ETR*/100g de poids	Hayes et al. (2011)
m éthanolique	sec (var : Corregiola)	
Extrait aqueux	22,55±19,17 mg ETR/ g r ésidu	Goldsmith et al. (2015)
Extrait éthanolique	sec	
	232,12±4,89 mg ETR/ g r ésidu	
	sec	

\*Equivalent troxol

Les profils de la puissance de réduction des extraits EA et EE (Fig.20), montrent qu'ils poss èdent une activit é dose-dépendante, ainsi, parallèlement à l'augmentation de la concentration des extraits, l'activité antioxydante augmente. D'après Alam et *al.* (2013), il y'a une proportionnalité entre l'absorbance et l'activité antioxydante.

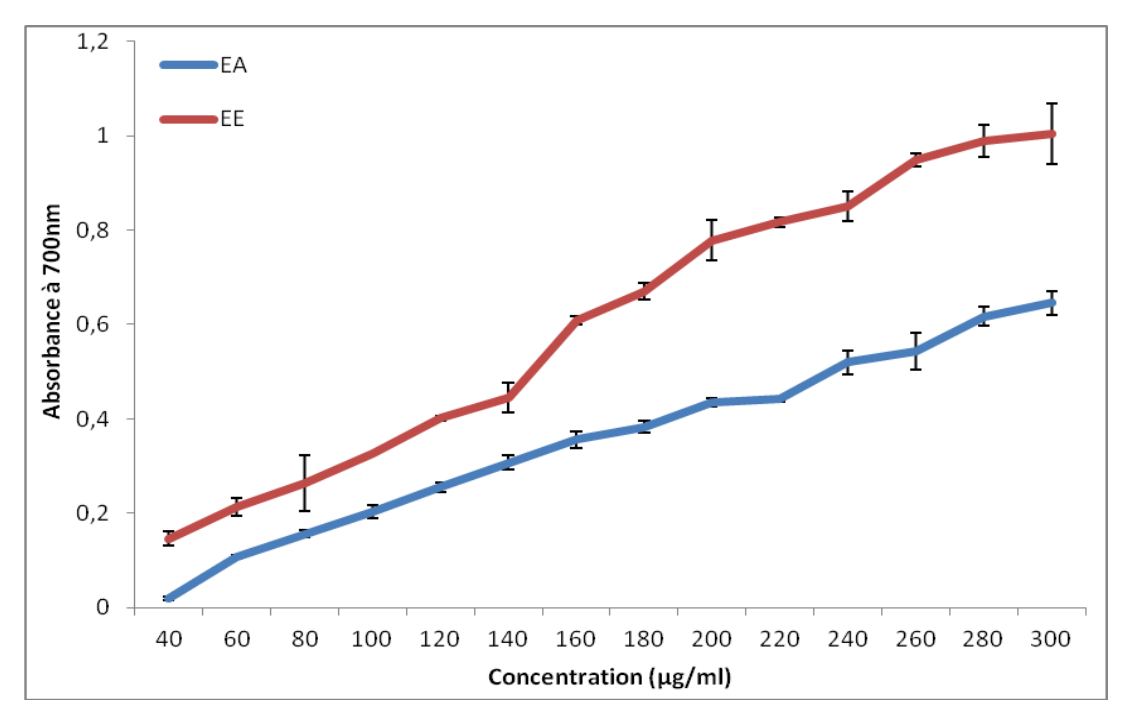


Figure 20: Capacité de réduction du fer par les extraits de feuilles d'O.e. laperrinei

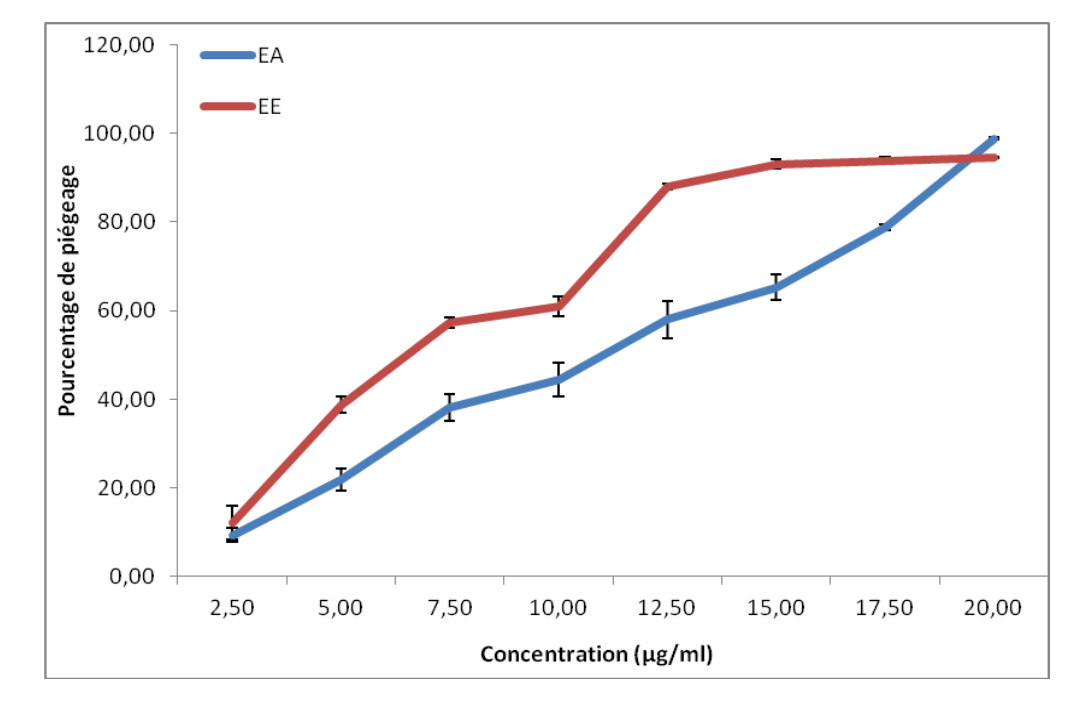
L'analyse statistique r & de une diff érence significative (p = 0), entre les extraits EA et EE. Ce dernier est en effet, plus actif que l'extrait EA. Nous enregistrons les IC50 de 140,52  $\pm$  2,13 µg/ml pour EE et de 234,91  $\pm$  7,69 µg/ml pour EA. Nous calculons une valeur de 34,44±0,66 µg/ml dans le cas de l'acide ascorbique.

Le pouvoir réducteur des extraits de feuilles d'*Olea laperrinei* est plus dev éque celui des extraits de feuilles d'*Olea europaea L*. En effet, Ferreira et *al.* (2007), notent une IC50 de 1,1710<sup>3</sup>µg/ml obtenue à partir d'un extrait méthanolique, et Xie et *al.* (2015) obtiennent une valeur de 1,5510<sup>3</sup>µg/ml pour un extrait éthanolique. Ces valeurs confirment que nos extraits poss èdent bien un pouvoir réducteur élev é, puisque, selon Touaibia et Chaouch (2015), plus la valeur de la IC50 est petite, plus grande est la puissance de réduction de l'extrait végétal.

Ebrahimzadeh et al. (2010), rel èvent que les teneurs dev és en compos és phénoliques et en flavono ïles conduisent à un pouvoir réducteur plus dev é des extraits de plantes. Ceci est en accord avec nos résultats, nous avons en effet, établit, une corrélation positive entre la puissance de réduction des extraits test és et les teneurs en polyphénols et en flavono ïles totaux ( $R^2 > 0.9$ ).

#### 3-1-3-3- ACTIVITE DE PIEGEAGE DES RADICAUX LIBRES DPPH°

L'activité antiradicalaire des extraits végétaux, augmente parallèlement à l'augmentation de la concentration des échantillons (Fig.21).



**Figure 21**: Capacité de pi égeage des radicaux DPPH• par les extraits de feuilles d'*O.e. laperrinei* 

L'extrait EE possède un potentiel de piégeage significativement plus élevé (p = 0), que celui de l'extrait EA. Ainsi, une dose de 7,48  $\pm$ 0,39  $\mu$ g/ml pour EE et de 10,88  $\pm$ 0,22  $\mu$ g/ml pour EA est suffisante pour réduire de 50% la concentration initiale de DPPH•. Pour l'acide ascorbique, nous obtenons une EC50 de 2,52  $\pm$ 0,05  $\mu$ g/ml.

Les résultats expérimentaux montrent que les extraits de feuilles de l'olivier de Laperrine expriment une meilleure activit é antiradicalaire que celle exprim ét par les extraits des feuilles d'*Olea europaea* L. (Tab.IX).

Tableau IX: Comparaisons des résultats du test DPPH des feuilles d'Olea europaea L. à ceux obtenus dans notre exp érimentation

Nature de l'extrait	EC50	R <b>é</b> f érences bibliographiques
Extrait aqueux Extrait éthanolique	$10,88 \pm 0,22$ μg/ml $7,48 \pm 0,39$ μg/ml	Nos r ésultats
Extrait m <del>á</del> thanolique Var Sylvestris	$0,2910^3  \mu \mathrm{g/ml}$	Arab et al. (2013)
Extrait m <del>á</del> thanolique Var Chetoui	0,01410 <sup>3</sup> μg/ml	Khlif et <i>al</i> . (2015)
Extrait éthanolique Var Chemlal	$(86,88\pm3,22)\ 10^3 \mu g/ml$	Mkaouar et <i>al.</i> (2018)

6

7

8

1 2

3

9 10

11 12

13

14 15 16

17 18

19

20

21 22 23

24 25

26

27 28

Ce résultat est confirmé par le calcul de l'indice de l'activité antioxydante qui place l'extrait EE (IAA=2,67) dans la même classe que l'acide ascorbique (IAA=7,93), représentant une activité antioxydante très forte (IAA>2), alors que l'extrait EA (IAA=1,84) possède une activité antioxydante forte (IAA<2). De plus, le pourcentage maximal d'inhibition du radical DPPH• est obtenu à la concentration de 20 µg/ml pour l'EA (98,84 ±0,25%), il est de 93,85 ± 1,16% pour l'extrait EE àla dose de 17,5 µg/ml.

Les données bibliographiques rapportent pour un extrait éthanol-eau obtenu à partir de feuilles d'Olea europaea L. un taux maximal de pi égeage des radicaux DPPH de 82% à la concentration de 0,3 mg/ml (Fares et al., 2011), et de 99,5% pour une concentration de 0,8 mg/ml (Xie et al., 2015), quant à Saiah et al. (2016), ils obtiennent un taux de 97,24  $\pm$ 2,89 % à4 mg/ml.

Le DPPH<sup>•</sup> est un radical stable centré sur l'azote dont la couleur vire du violet au jaune lors de sa réduction par le processus de don d'hydrogène ou d'électron. La substance capable d'effectuer cette réaction est considérée comme antioxydante et donc piégeur de radicaux libres (Brand-Williams et al., 1995). Ainsi, les extraits de feuilles de l'olivier de Laperrine seraient des donneurs d'hydrogène.

## 3-1-3-4- INHIBITION DU BLANCHIMENT DU β-CAROTENE

La figure 22 montre que l'acide linoléique est efficacement inhibé par les deux extraits testés et que le pourcentage d'inhibition est proportionnel à leurs concentrations.

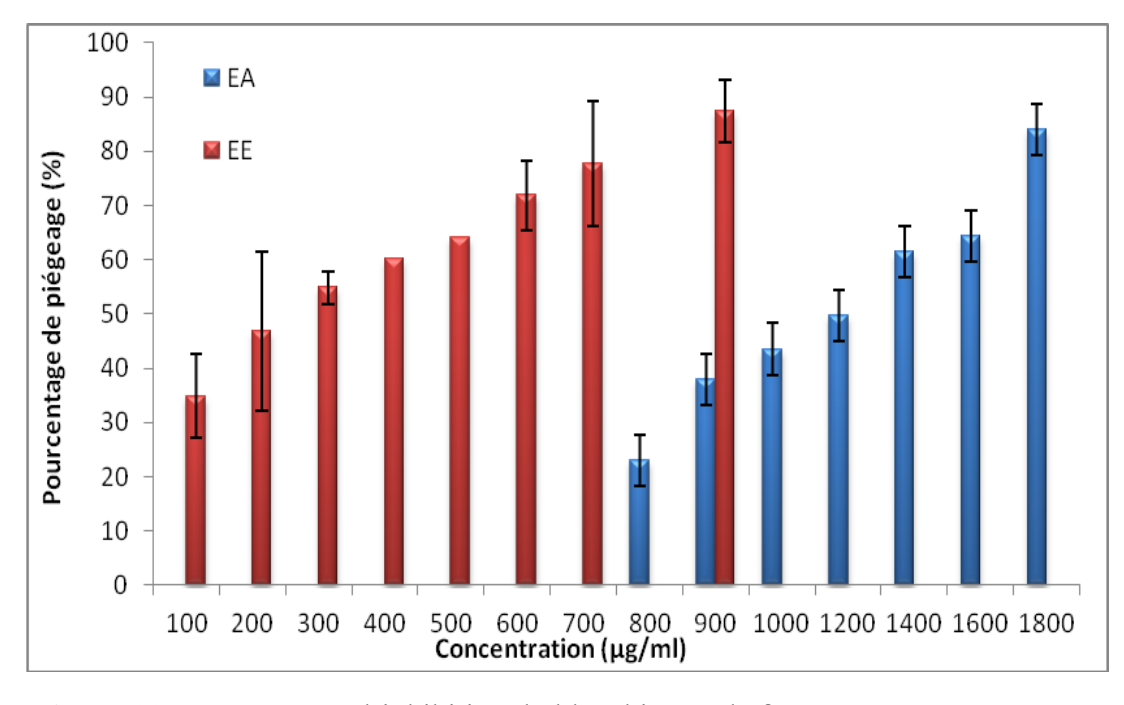


Figure 22 : Pourcentage d'inhibition du blanchiment du  $\beta$ -carot ène par les extraits de feuilles d' $O.e.\ laperrinei$ 

Cependant l'extrait EE présente une capacité inhibitrice significativement plus élevée que celle de l'extrait EA avec p < 0 ,001. En effet, le pourcentage maximal d'inhibition est de 87,41  $\pm$ 5,76% à la dose de 900 µg/ml pour EE, de 83,91  $\pm$ 0% à la dose de 1800 µg/ml pour EA et de 83,39  $\pm$ 6,82% à 100 µg/ml de BHT.

La comparaison de nos résultats à ceux publi és dans la littérature scientifique (Tab. X), montre bien que les pourcentages d'inhibition de l'acide linoléique les plus élevés sont ceux enregistr és dans notre étude.

Type d'extrait

**Tableau X**: Comparaison des résultats du test BCB avec ceux des feuilles d'*Olea europaea* L

Concentration

(µg/ml)

R & érences

bibliographiques

**BCB** 

(% d'inhibition)

Extrait aqueux	83,91±0	1800	Nos r ésultats
Extrait	$87,41 \pm 5,76$	900	
<b>á</b> hanolique			
Extrait	16	$110^{3}$	Hayes et al. (2011)
m <b>é</b> thanolique			
Extrait	71,76±3,28	$410^{3}$	Saiah et <i>al</i> . (2016)
m <del>á</del> hanolique			

La concentration des extraits fournissant 50% d'inhibition est calculée à partir du traçage graphique du pourcentage d'inhibition en fonction de la concentration des extraits et permet de comparer l'efficacité des extraits EA et EE de l'olivier de Laperrine.

1 2

Nos résultats montrent que c'est l'extrait EE, pour lequel nous calculons une IC50 de  $185,63 \pm 3,84 \,\mu g/ml$ , qui est significativement (p = 0) plus actif que l'extrait EA pour lequel nous avons une valeur de  $1187,99 \pm 93,23 \,\mu g/ml$ . Cette différence pourrait s'expliquer par la solubilité des antioxydants dans les émulsions d'acide linoléique (Frankel et *al.*, 1994 ; Frankel et Meyer, 2000).

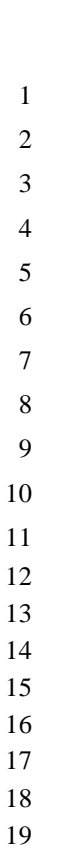
 La décoloration rapide en absence d'antioxydant est due à l'oxydation couplée de l'acide linoléique et du  $\beta$ -carotène. La présence des antioxydants dans les extraits retarde l'oxydation, en effet kubola et Siriamornpun (2008), ont montrés que les antioxydants présents dans les extraits végétaux neutralisent les radicaux libres formés dans le système  $\beta$ -carotène/acide linoléque.

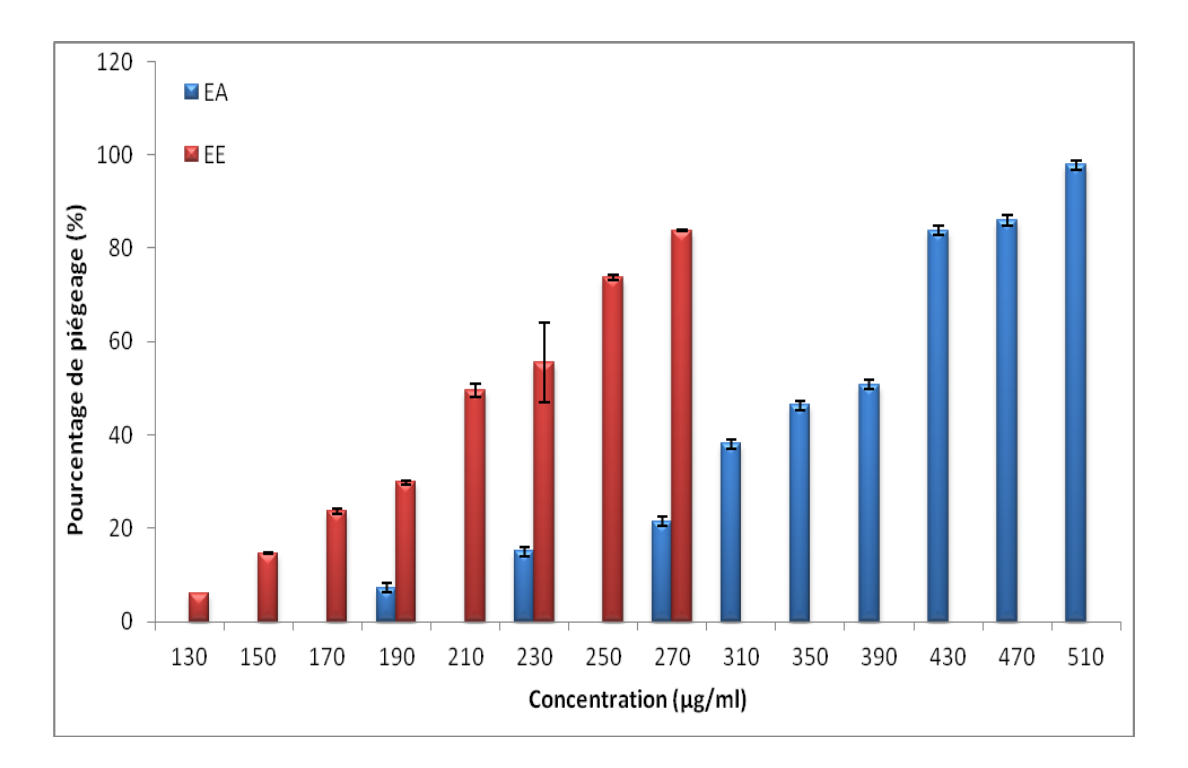
#### 3-1-3-5- ACTIVITE DE PIEGEAGE DU PEROXYDE D'HYDROGENE

Le peroxyde d'hydrogène n'est pas très réactif, mais il est capable de pénétrer les membranes biologiques (Duh et *al.*, 1999), devenir toxique et endommager la cellule une fois convertie en radical hydroxyle, ce dernier peut d'éclencher la peroxydation des lipides et des mutations de l'ADN (Jan et *al.*, 2013).

La récupération du peroxyde d'hydrogène par les extraits v  $\notin$  étaux est attribu  $\notin$  à leurs compos  $\notin$  phénoliques qui donnent des dectrons au  $H_2O_2$  le convertissant en  $H_2O$ , et emp  $\in$  chant ainsi, la formation des radicaux libres  $OH^{\bullet}$  (Ebrahimzadeh et al., 2010).

Nos résultats montrent que la capacité des extraits de feuilles de l'olivier de Laperrine à éliminer le peroxyde d'hydrogène se fait de manière dose-dépendante, ceci est illustrée par la figure 23, qui révide la capacité de piégeage du radical  $H_2O_2$  par les extraits EE et EA. Effectivement nous calculons un effet de récupération du  $H_2O_2$  à 85,96  $\pm$  3,91% à la dose de 470  $\mu$ g/ml pour l'extrait EA et 83,70  $\pm$ 6,26 % à la dose de 270  $\mu$ g/ml pour l'extrait EE, quant à l'acide ascorbique, nous enregistrons une valeur de 84,78  $\pm$ 2,37% à la concentration de 80  $\mu$ g/ml.





**Figure 23**: Capacité de piégeage du peroxyde d'hydrogène par les extraits de feuilles d'*O.e.laperrinei* 

Ainsi, les extraits testés possèdent un potentiel de piégeage du peroxyde d'hydrogène supérieur à celui de l'extrait aqueux obtenu à partir des feuilles d'*Olea europaea* L. vari ét é Mamecik, qui neutralise 62,27% de H<sub>2</sub>O<sub>2</sub> àla concentration de 500 μg/ml (Orak et *al.*, 2012).

La comparaison des moyennes obtenues apr à le calcul de la concentration nécessaire à réduire de 50% la quantit é de  $H_2O_2$ , montre une différence significative (p = 0) entre les extraits test és, ainsi, l'extrait EE (IC50 = 214,04 ± 2,89 µg/ml), poss ède une capacit é de piégeage du peroxyde d'hydrogène plus importante que l'extrait EA (IC50 = 351,30 ± 5,30 µg/ml).

feuilles de l'olivier de Laperrine. En effet, Orak et *al.* (2012), Amessis-Ouchemokh et *al.* (2014), ont démontré une corrélation positive entre l'activité de piégeage du peroxyde d'hydrogène et la teneur totale en phénols et en flavono ïles. Cette observation est en accord avec nos résultats, puisque le coefficient de corrélation calculé dans notre étude est supérieur à 0.9 pour les deux extraits test és. Selon Sroka et Cisowski (2003), cette corrélation serait due à la présence des groupements hydroxyles caractérisant les compos és phénoliques qui

assurent la double fonction de donneur d'électron et de donneur de proton H<sup>+</sup>.

Ces r ésultats sont dus, à notre avis, à la forte teneur en phénols et en flavono ïles totaux des

### 3-1-4-TEST HEMOLYTIQUE

L'activité hémolytique permet d'estimer la toxicité des extraits végétaux vis-à-vis des érythrocytes. Ainsi, les globules rouges traités par les extraits de feuilles de l'olivier de Laperrine à des doses croissantes de 62,5 µg/ml à 2000 µg/ml, présentent un pourcentage d'hémolyse décroissant de 2,94  $\pm$ 0,22% à 1,20  $\pm$ 0,17% pour l'extrait EA et de 2,23  $\pm$ 0,09% à 0,60  $\pm$  0,52% dans le cas de l'extrait EE. Nous enregistrons 100% d'hémolyse pour le témoin positif (Eau distill é).

L'effet hémolytique des extraits de feuilles de l'olivier de Laperrine proche de celui du témoin négatif, suggère la non toxicité de ces derniers dans la gamme des concentrations testées. Cette non toxicité est confirmée par nombreux travaux qui considèrent qu'une hémolyse de 14% (Gangwar et *al.*, 2014) et variant de 5,05 à 8,32 % (Aiche-Iratni et *al.*, 2015) induite par un extrait v ég étal comme étant non hémolytique.

#### CONCLUSION

La capacité antioxydante de l'acide ascorbique et du BHT, référents utilisés comme ténoins dans notre expérimentation est plus dev ét que celle des extraits vég étaux test és. Ce résultat est dû à leur degré de pureté en comparaison avec les extraits qui sont le résultat d'un métange de compos és chimiques qui peuvent interagir les uns avec les autres en terme de synergie ou d'antagonisme. De plus, dans ce mélange, les éléments actifs sont peut-être en très faible concentration.

Les résultats obtenus montrent clairement que les extraits de feuilles de l'olivier de Laperrine exercent une puissante activité antioxydante dans les différents systèmes test és *in vitro*. Cela s'explique par leur forte teneur en composés phénoliques et en tanins. En effet, selon Duh et *al.* (1999), les compos és phénoliques contenus dans les vég étaux contribuent directement à l'activité antioxydante, alors que les tanins sont considér és comme des pi égeurs de radicaux libres (Maestri et *al.*, 2006).

Le potentiel antioxydant de l'extrait EE est nettement plus élevé que celui de l'extrait EA. Cette diff érence serait due au contenu phénolique plus riche de l'extrait EE. La capacit é antioxydant de l'oleuropéine, l'hydroxytyrosol, l'acide caféique, la rutine, la lutéoline-7-glucoside, la naring énine-7-glucoside, la lutéoline et l'apigénine à été démontrée par de nombreux auteurs (Duh et *al.*, 1992; Le Tutour et Guedon, 1992; Visioli et Galli, 2002); Tsimogiannis et *al.*, 2007; Lee et *al.*, 2009; Sharififar et *al.*,2009; Adjimani et Asare ,2015).

C'est donc la présence combin ée de ces mol écules chimiques qui confèrent à l'extrait EE un effet antioxydant, nettement plus élev é De plus, selon Kareem, (2012), les activit és antioxydantes observ ées chez les v ég étaux sont attribu ées aux diff érents m écanismes exerc és par les diff érents compos és phénoliques et à leur synergie.

L'effet antioxydant plus réduit de l'extrait EA s'explique d'une part par la présence de la vanilline qui, selon Brand-Williams et *al.* (1995) poss è de une faible activit é antioxydante et d'autre part par le nombre plus réduit des composés phénoliques. Ainsi, la présence de la vanilline dans EA suggère une action antagoniste marquée puisque même en présence de l'oleuropéine, polyphénol reconnu comme étant un antioxydant puissant (Lee et *al.*, 2009), l'extrait EA présente une activit é antioxydante moindre. De plus, nous ne pouvons exclure la possibilité que les composés phénoliques non identifiés peuvent également avoir un effet antagoniste.

La FRAP est habituellement corrélée avec la TAC, il y'a donc une relation de proportionnalitéentre ces deux variables. Cette observation émise par Gul et al. (2011), est en accord avec nos résultats, puisque nous obtenons un coefficient de corrélation de 0,99 pour l'extrait EE, pris comme référence pour le calcul des coefficients de corrélations. La FRAP indique que les extraits de feuilles de l'olivier de Laperrine contiennent des antioxydants donneurs d'électrons ou de protons  $H^+$  qui réagissent avec les radicaux libres et les convertissent en compos és stables, rompant ainsi, la réaction radicalaire en chaine. Nous avons, en effet établi une corrélation positive entre les activit és DPPH,  $H_2O_2$  et BCB avec la FRAP ( $R^2 = 0.9$ ), ainsi donc le pouvoir réducteur étevé des extraits de feuilles de l'olivier de Laperrine indique leur puissante capacit é antioxydante et antiradicalaire.

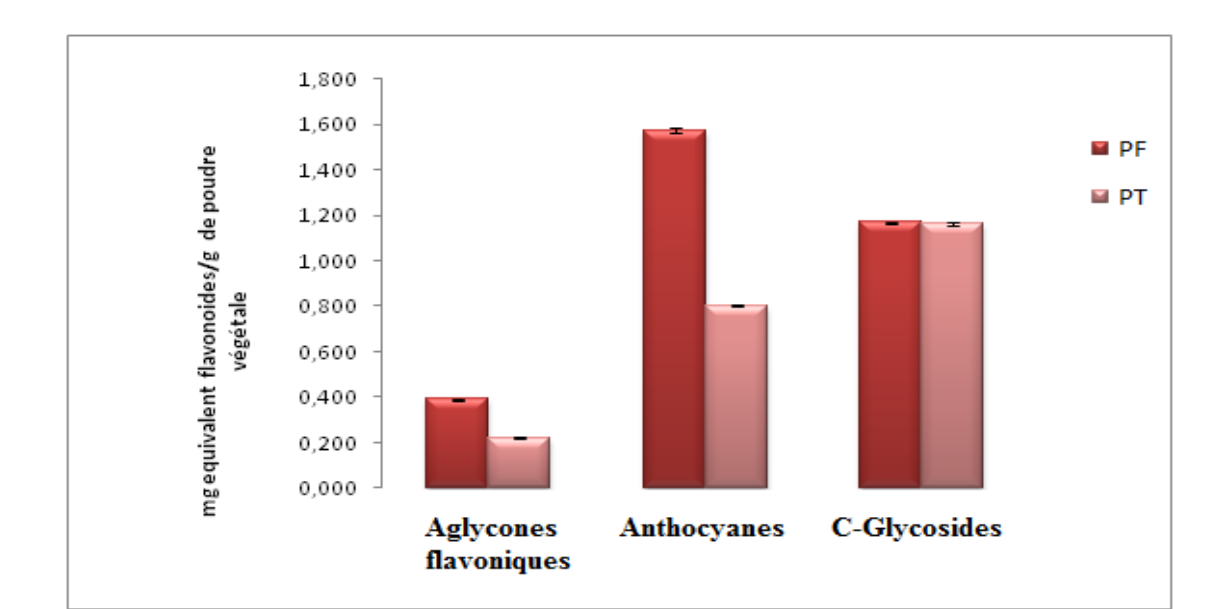
# DEUXIEME PARTIE ACTIVITE INSECTICIDE

#### 3-2- DEUXIEME PARTIE: ACTIVITE INSECTICIDE

## 

### 3-2-1- ANALYSE QUANTITATIVE

L'analyse quantitative par la méthode de spectrophotom érie UV-visible des extraits phénoliques obtenus à partir des feuilles (PF) et des tiges (PT) d'*Olea europaea* subsp. *laperrinei*, nous a permis de calculer les teneurs en aglycones flavoniques, en anthocyanes, et en C-glycosides. La figure 24, récapitule les résultats obtenus.



**Figure 24**: Teneur en compos és flavoniques de diff érents extraits obtenus àpartir de la poudre de feuilles (PF) et de la poudre de tiges (PT) de l'olivier de Laperrine

L'analyse statistique des données témoigne d'une différence significative (p=0) des teneurs absolues en aglycones flavoniques et en anthocyanes pour les feuilles et les tiges. En effet, nous enregistrons respectivement dans le cas de la poudre de feuilles, une teneur moyenne de  $0.389 \pm 0.004$  mg EQ/g PV et  $1.573 \pm 0.012$  mg EPC/g PV, alors que dans le cas de la poudre de tiges, nous enregistrons  $0.221 \pm 0.006$  mg EQ/g PV et  $0.803 \pm 0.006$  EPC mg/g PV.

Pour les C-glycosides le test de Student fait ressortir une différence significative (p=4,2510<sup>-3</sup>) avec une moyenne de 1,167  $\pm$  0,002 mg EO/g de poudre de feuilles et 1,161  $\pm$  0,001 mg EO/g de poudre de tiges.

Ces teneurs r  $\acute{e}$ v  $\acute{e}$ ent clairement que ce sont les feuilles de l'olivier de Laperrine, qui sont plus riches en compos  $\acute{e}$ s ph  $\acute{e}$ noliques que les tiges.

Une recherche bibliographique approfondie n'a signal ée au jour d'aujourd'hui aucun rapport, portant sur l'extraction des polyphénols de l'olivier de Laperrine. Raison pour laquelle notre référence de comparaison est représent ée par des espèces végétales partageant les mênes conditions environnementales que celles de *O.e.laperrinei*.

Ainsi, la comparaison de nos résultats à ceux de la bibliographie, montre que la teneur en aglycones flavoniques des feuilles et des tiges de l'olivier de Laperrine est plus élevée que celle rapportée par Hamdouch et *al.* (2018) à partir de poudre de feuilles de *Vitex agnus calus*, ils enregistrent 0,118 ±0,032 mg équivalent querc étine/g de poids sec.

1 2

Les travaux de Bentrad et al. (2017), enregistrent une teneur en C-glycosides de 2,67  $\pm$ 0,34 mg équivalent orientine/g de poids sec àpartir des graines du palmier dattier. Enfin, Chebli et al. (2001), notent une teneur de 1,04 mg équivalent leucocyanidine/g de poids sec chez les graines de d'*Ononis matrix*.

### 3-2-2- ANALYSE QUALITATIVE

L'analyse du contenu chimique des différents extraits est réalisée par une chromatographie liquide à haute performance. 21 compos és sont r év ét és et identifi és, ils sont repr ésent és dans le tableau XI.

L'analyse chimique indique la présence dans l'ensemble des extraits, de l'hydroxytyrosol, de tyrosol et de l'oleuropéine qui selon Ortega-Garcia et Peragon (2010), sont caract éristiques de *Olea europaea* L.

Nos résultats sont également en accord avec les travaux de Nashwa et *al.* (2014) qui identifient la quercétine, l'apigénine, l'oleuropéine et l'hespéridine dans l'extrait de feuilles de *Olea europaea* L. et des travaux de Pereira et *al.* (2007) ; Dekanski et *al.* (2009), qui mettent en évidence la présence de l'acide caféique, la quercétine, la lutéoline, l'apigénine et l'oleuropéine dans les feuilles de l'olivier. Quant à Mestar et *al.* (2018), ils identifient l'hydroxytyrosol, le tyrosol, l'oleuropéine, l'acide caféique, la quercétine, la lutéoline, l'apigénine, l'acide 3 hydroxy 4 méthoxycinnamique, et la naringénine dans les feuilles d'*Olea europaea* L.

Ainsi donc, la composante chimique de l'olivier de Laperrine semble similaire à celle de l'olivier du nord.

Tableau XI : Principaux composés chimiques identifiés dans les extraits de l'olivier de Laperrine

Compos és chimiques	Extrait él feuilles		Extrait é de tiges		Extr butano de feuillo	lique	Extrait butanolique de tiges (BT)		
	Temps de R étention (Min)	Aire (%)	Temps de R étention (Min)	Aire (%)	Temps de R étention (Min)	Aire (%)	Temps de R étention (Min)	<b>Aire</b> (%)	
Hydroxytyrosol	4,838	30,45	4,853	18,78	4,830	5,32	4,850	8,47	
Tyrosol	5,898	0,45	-	-	5,852	0,43	5,887	0,69	
Caf <b>â</b> ne	-	-	6,467	0,49	6,453	0,75	6,479	0,74	
Acide Aesculein	-	-	-	-	-	-	7,002	1,36	
Acide caf <b>â</b> que	7,062	0,61	-	-	7,046	0,84	-	-	
Vanilline	8,673	2,12	8,656	1,06	-	-	-	-	
Acide f <del>ér</del> ulique	9,257	5,40	9,233	0,95	9,234	6,65	9,239	17,77	
Acide p coumarique	-	-	-	-	-	-	9,672	2,03	
Acide 3 hydroxy 4 m éthoxycinnamique	-	-	-	-	9,773	0,79	9,799	0,79	
Oleurop âne	10,119	4,13	10,198	32,76	10,103	4,86	10,222	13,21	
Naring énine 7 oglucoside	-	-	10,456	2,38	-	-	10,490	2.86	
Acide 3,4,5 trim éthoxybenzoiqu e	-	-	10,817	4,99	-	-	10,814	4,25	
Acide m-anisic	-	-	-	-	11,938	1,75	-	-	
Lut éoline	12,491	1,31	-	-	-	-	-	-	
Querc étine	12,865	29,18	12,901	11,43	12,787	22,31	12,866	31,57	
Acide cinnamique	13,897	1,35	-	-	-	-	-	-	
Apig énine	-	-	-	-	14,379	3,31	14,367	1,90	
Hesp éridine	15,028	6,90	15,056	5,63	15,061	2,54	15,006	4,28	
Orientine	-	-	-	-	17,729	2,75	17,741	0,49	
Vitexine	-	-	-	-	18,192	1,96	18,177	1,34	
Isovitexine	-	-	-	-	18,495	1,24	18,468	1,07	

# 3-2-3- EFFET DES EXTRAITS BRUTS DE L'OLIVIER DE LAPERRINE SUR LA REPRODUCTION D'*Ephestia kuehniella*

Un grand nombre d'études a montré que les flavono des sont impliqués dans les mécanismes de défense des plantes contre l'attaque des insectes. Cette propriétés applique dans les conditions *in vitro*; en effet, selon Teixeira da Silva (2004); Bouchetla et *al.* (2005); Golawska et *al.* (2008) et Meftah et *al.* (2011), les flavono des ont un effet insecticide démontré

D'après Koudounas et *al.*, (2015), l'oleuropéine, joue un r de prédominant dans la défense chimique de *Olea europaea* L contre le stress biotique.

## 3-2-3-1- EFFET DES EXTRAITS BRUTS SUR LA PERIODE DE DEVELOPPEMENT NYMPHAL

Les extraits bruts appliqués au stade chrysalide d'*Ephestia kuehniella*, donnent des résultats positifs. Leur efficacité se traduit par une prolongation significative (p=0) de la dur ée de d'éveloppement nymphal, par rapport au témoin, pour lequel nous enregistrons une valeur de  $7.14 \pm 0.24$  jours.

L'analyse de la variance, effectu  $\acute{e}$  entre les extraits, laisse apparaître une diff  $\acute{e}$ rence significative (p = 0) et fait ressortir l'extrait BF qui présente l'effet le plus marqué sur le cycle de l'insecte. La figure 25 montre que c'est bien ce dernier qui retarde le plus longtemps l'apparition des adultes, puisqu'il est class  $\acute{e}$  dans le groupe homog  $\grave{e}$ ne a, pour lequel nous enregistrons une moyenne de 38,29  $\pm$ 0,41 $\acute{e}$ 1. Ainsi, l'émergence des adultes se fait environ un mois plus tard par rapport au t  $\acute{e}$ noin.

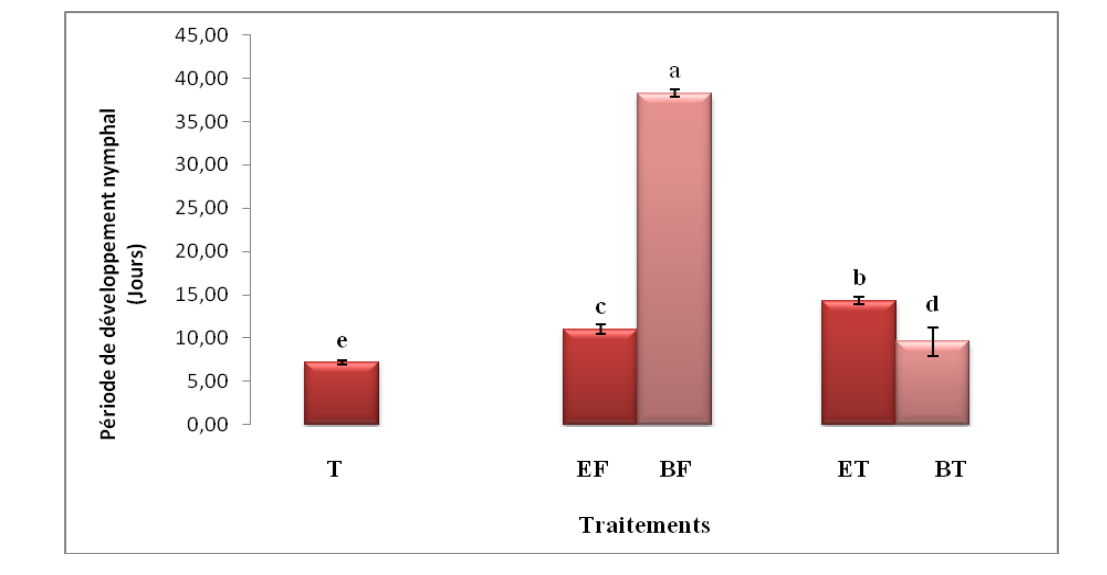
La bibliographie consult é, montre les effets des huiles essentielles sur la dur é de la période de d'éveloppement nymphal des ravageurs des denr és stock és et appuie nos r'ésultats obtenus sur *Ephestia kuehni*ella. Cependant le r'ésultat obtenu avec les extraits de l'olivier de Laperrine est nettement plus dev é que celui obtenu par Delimi et al. (2013), qui teste l'effet de l'huile essentielle extraite à partir de l'armoise blanche, sur la période de développement nymphal d'*Ephestia kuehniella* et obtient une moyenne de 13,66  $\pm$ 0,57 j.

Par ailleurs, une étude men ée par Ben Hamouda et *al.* (2011) a montréqu'une alimentation à base de farine de feuilles d'olivier, inhibe le développement des adultes du criquet p'èlerin (*Schistocerca gregaria*). Ils obtiennent en effet 100% de criquets de couleur rouge brique et lisse, caractères indiquant un état juv énile persistant.

L'exuviation des nymphes se fait au bout de  $14,29 \pm 0,41$  jours pour ET,  $11,00 \pm 0,57$  jours pour EF et  $9,57 \pm 1,63$  jours dans le cas de BT. Ces extraits présentent un effet non nul mais relativement peu marqué sur le développement nymphal de la pyrale puisque comparé à l'extrait BF, ils retardent l'apparition de l'adulte de respectivement 7,15; 3,86 et 2,43 jours

par rapport au témoin pour lequel l'exuviation nymphale se fait au bout de 7,14  $\pm$  0,24 jours. (Fig. 25).





**Figure 25:** P ériode de développement nymphal en fonction des traitements appliqu és (EF: Extrait éth éréde feuilles, BF: Extrait butanolique de feuilles, ET: Extrait éth éréde tiges, BT: Extrait butanolique de tiges et T: T énoin)

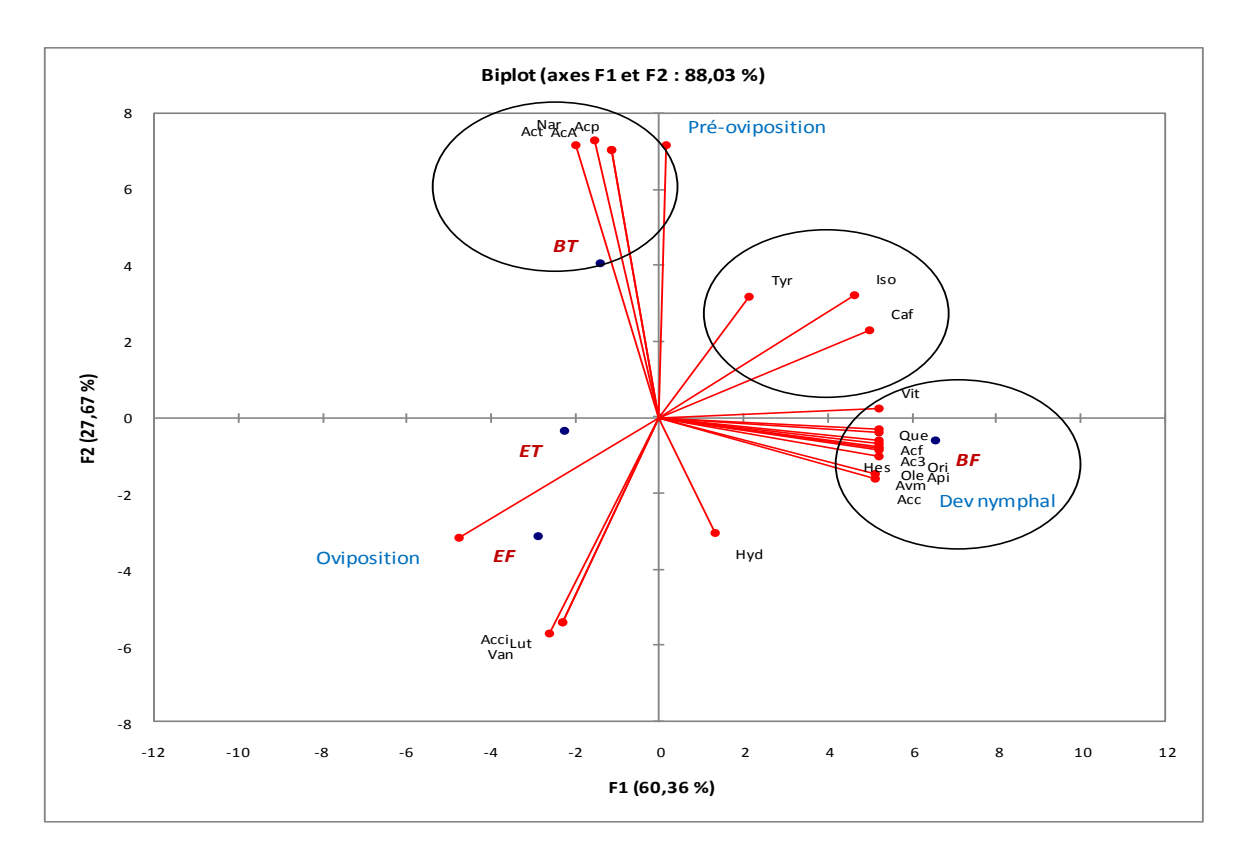
Dans le but d'expliquer l'effet des différents extraits sur la dur ée de la période de développement nymphal de la pyrale, nous avons intégré leur composition chimique pour interpréter les résultats et tenter d'établir des corrélations entres les différentes variables. Les donn ées sont ainsi soumises à une analyse en composantes principales (ACP).

Selon l'axe F1, nous constatons que l'extrait BF influence particuli èrement le développement nymphal en prolongeant sa dur é. Il apparait un métange de dix mol écules corrélées à cet ensemble et qui expliqueraient l'effet particulier de l'extrait BF sur cette phase de développement de l'insecte (Fig. 26).

Ces mol écules sont l'oleuropéine (Ole), la vitexine (Vit), la querc étine (Que), l'acide féulique (Acf), l'hesp éridine (Hes), l'apigénine (Api), l'orientine (Ori), l'acide m anisic (Avm) et l'acide caf éque (Acc), l'acide 3 hydroxy 4 m éthoxycinnamique (Ac3).

En considérant les résultats de la HPLC pour les quatre extraits et leur effet sur le développement nymphal, nous obtenons la matrice de données représentée par le tableau XII suivant:





**Figure 26**: Analyse factorielle des correspondances, plan factoriel axes F1 et F2 (Variables x Extraits)

**Tableau XII:** Teneurs absolues ([mAU\*]/g PV) des molécules biochimiques contenues dans les extraits de l'olivier de Laperrine

Extraits	Vit	Acf	Que	Ac3	Hes	Ori	Avm	Api	Acc	Ole
EF	0	1159,5	5367,5	0	790	0	0	0	210,5	1448
ET	0	79,5	1301	0	365,5	0	0	0	0	5710
BF	3013,50	27955,5	54643,5	5208	3516,5	6285,5	23450,5	10181	2196,5	68028,5
BT	530	3871	9522	332	3,69	953,5	0	306	0	4167,5

\*Unit éuniverselle

Nous constatons que BF est le seul extrait à contenir l'ensemble des mol écules qui sont fortement corr d'és au d'éveloppement nymphal.

Etant donn éque les trois autres extraits ont des effets non nuls sur le développement nymphal, nous pourrions dire que les molécules communes aux quatre extraits à savoir l'oleuropéine

(Ole) l'acide férulique (Acf), la quercétine (Que) et l'hespéridine (Hes), sont celles qui seraient principalement responsables de l'allongement de la durée du développement nymphal.

Cependant, l'efficacit é de BF par rapport aux trois autres extraits pourrait s'expliquer d'une part par la présence de ses plus grandes concentrations en ces mol écules clés et d'autre part, par sa teneur exclusive en acide m anisic (Avm) qui pourrait jouer un rôle synergique amplificateur de l'effet étudié.

1 2

Ainsi, le retard dans la transformation de la nymphe en adulte serait dû à la présence combin ée de l'oleuropéine, l'acide férulique, la quercétine, l'hespéridine et l'acide m-anisic qui peut être perturbent la physiologie de la nymphe de la pyrale de la farine en agissant sur son équilibre hormonal.

## 3-2-3-2- EFFET DES EXTRAITS BRUTS DE L'OLIVIER DE LAPERRINE, SUR LA DUREE DE LA PERIODE DE PRE-OVIPOSITION

Dans les conditions optimales du cycle de l'insecte, la femelle d'*Ephestia kuehniella*, commence la ponte des œufs un (01) jour apr ès son exuviation.

L'examen comparatif des résultats obtenus après l'application des extraits sur des adultes nouvellement exuvi és, montre une diff érence significative (p=0,00337).

Ainsi, l'extrait BT appartenant au groupe homogène a donne des résultats positifs sur la dur  $\notin$  de la période de pré-oviposition avec une valeur moyenne de 1,57  $\pm$ 0,49 jours. Quant à l'extrait BF, il prolonge la dur  $\notin$  de la période de pré-oviposition (1,14  $\pm$ 0,14 jours) mais sans différence significative puisqu'il appartient au groupe homogène b qui correspond aux extraits EF et ET (Tab. XIII). Ces derniers semblent n'avoir aucun effet sur la dur  $\notin$  de la période de pré-oviposition.

**Tableau XIII** : Effet des extraits bruts de l'olivier de Laperrine sur la période de pré oviposition chez *Ephestia kuehniella*.

	Pr é-oviposition	Groupes
	(jours)	homog ènes
T émoin	$1,00 \pm 0$	b
Extrait butanolique de tiges (BT)	$1,57 \pm 0,49$	a
Extrait butanolique de feuilles (BF)	$1,14 \pm 0,24$	b
Extrait éth ér é de feuilles (EF)	$1,00 \pm 0$	b
Extrait éthéréde tiges (ET)	$1,00 \pm 0$	b

La comparaison de nos données à celles résultants de traitements par des insecticides chimiques, montre que l'extrait BT serait aussi efficace que ces derniers. En effet, Bouzeraa et Soltani-Mazouni (2012), indiquent que l'application des insecticides chimiques RH-2485 (Méthoxyfénozide) et RH-5992 (Tébufénozide) prolongent la durée de la période de préoviposition chez d'E.kuehniella de respectivement  $1,1\pm0,3$  j et  $1,7\pm0,3$ j. Pour Taibi (2007),

l'exposition de la pyrale de la farine à l'insecticide RH-0345 (Holof énozide) est sans effet sur la dur ét de la période de pré-oviposition de l'insecte.

Selon l'ACP (Fig. 26), et selon l'axe F2, BT est effectivement l'extrait le plus efficace dans l'augmentation de la durée de la période de pré-oviposition. Les composants clés qui semblent être impliqués dans cet effet sont: l'acide 3, 4, 5, trim étoxybenzoique (Act), la naring énine (Nar), l'acide aesculein (AcA) et l'acide p coumarique (Acp).

1 2

A partir de la sous matrice représent é par le tableau XIV, nous constatons que l'absence des quatre mol écules ou la présence exclusive de l'acide 3, 4, 5, trim éthoxybenzoique et de la naring énine ne fait pas varier significativement la période de pré-oviposition. Mais il suffit d'ajouter l'acide aesculein et l'acide p coumarique pour obtenir une prolongation de cette dur éc. Cela pourrait confirmer l'effet synergique des quatre molécules comme explication de l'efficacité de l'extrait BT dans l'effet étudié.

**Tableau XIV**: Teneurs absolues ( $[mAU^*]/g$  PV) de quatre molécules biochimiques contenues dans les extraits v ég étaux

Extraits	Act	Nar	AcA	Acp
EF	0	0	0	0
ET	3942,5	2174,5	0	0
BF	0	0	0	0
BT	9432,5	11102	9158,5	4211,5

\*Unit éuniverselle

L'effet insecticide de l'extrait BT semble être dû à la présence de l'acide 3,4,5, triméthoxy benzo que, la naring énine, l'acide aesculein et l'acide p coumarique qui influenceraient la maturation sexuelle chez la femelle d'*Ephestia kuehniella* en retardant le développement des ovaires. En effet, les travaux d'Idrissi Hassani et Hermas (2008) ont montré que les polyph énols contenus dans les feuilles de *Pegalum harmala* peuvent provoquer un blocage du développement ovarien chez les femelles du criquet p'èlerin.

## 3-2-3-3- EFFET DES EXTRAITS BRUTS DE L'OLIVIER DE LAPERRINE SUR LA DUREE DE LA PERIODE D'OVIPOSITION

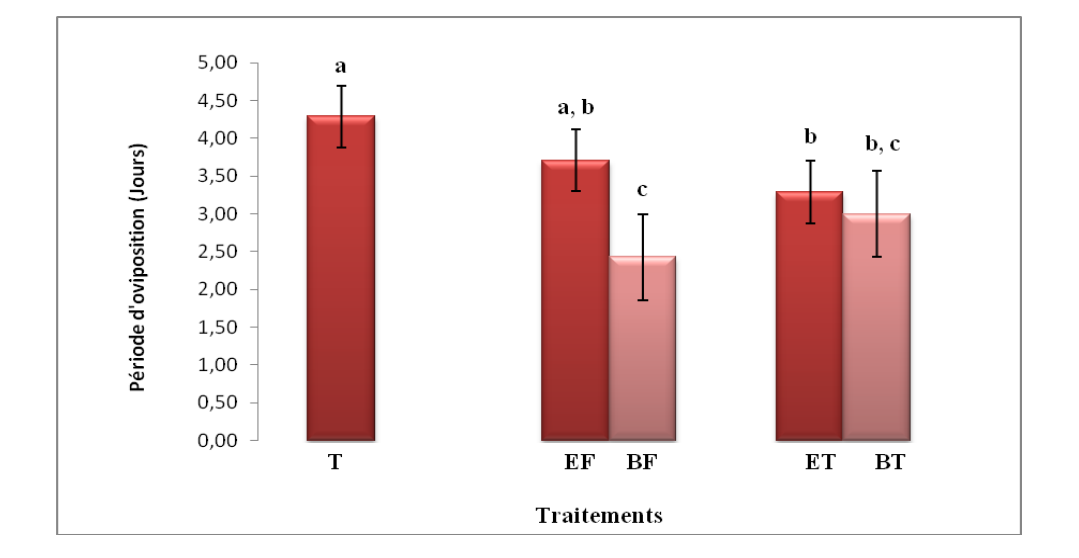
Un jour apr ès l'accouplement, la femelle témoin d'*Ephestia kuehniella* commence sa ponte des œufs qui dure en moyenne  $4,29 \pm 0,41$  jours.

Les extraits bruts appliqués sur la femelle de la pyrale pendant la période d'oviposition réduisent de mani ère significative (p=0,00002), le nombre de jours de ponte comparativement aux femelles témoins.

Ainsi, l'application de l'extrait BF sur les insectes femelles réduit en moyenne de moiti é la dur ée de la période d'oviposition comparativement au témoin, nous enregistrons une valeur

de 2,43  $\pm$ 0,49 jours. L'analyse de la variance réalisée entre les extrais montre une différence significative (p=0,004) et nous comptons 3,00  $\pm$ 0,57 pour l'extrait BT et respectivement 3,29  $\pm$ 0,41 jours et 3,71  $\pm$ 0,41 jours pour les extraits ET et EF.

Nous relevons donc, que ce sont les extraits BF suivis de BT qui sont les plus efficaces sur la réduction de la dur ée de la période d'oviposition de la femelle d'*Ephestia kuehniella*. Ils font en effet, partie du même groupe homogène, le groupe c (Fig. 27).



**Figure 27**: Dur & de la période d'oviposition en fonction des traitements appliqu & (EF: Extrait & été de feuilles, BF: Extrait butanolique de feuilles, ET: Extrait & été de tiges, BT: Extrait butanolique de tiges et T: T énoin)

 Selon Taibi (2007), le RH-0345 réduit la durée de la période d'oviposition de la femelle de la pyrale de la farine à 3,16  $\pm$  0,4 jours et le RH-5992 réduit cette dur ée à 2,3  $\pm$  0,4 jours (Bouzerra et Soltani-Mazouni, 2012). Ces valeurs montrent bien que les extraits BF et BT de l'olivier de Laperrine ont une efficacit é similaire à celle obtenue par les insecticides chimiques.

Il faut cependant noter que c'est l'extrait BF qui présente l'effet le plus marqué par rapport à l'extrait BT. Selon l'axe F1 de l'ACP (Fig. 26), nous constatons que la dur ée de la période d'oviposition est réduite par trois principales mol écules: le tyrosol (Tyr), l'isovitexine (Iso) et la caf éne (Caf). Ces mol écules sont présentes principalement dans les extraits BF et BT (Tab. XV). Mais quant à l'isovitexine ils en contiennent exclusivement, avec cependant une plus grande concentration dans l'extrait BF.

**Tableau XV**: Teneurs absolues ([mAU\*]/g PV) de trois molécules biochimiques contenues dans les extraits de l'olivier de Laperrine

Extraits	Tyr	Iso	Caf
EF	5641,5	0	0
ET	0	0	583
BF	7728	3762	2563,5
BT	9039	2223,5	1141

<sup>\*</sup>Unit éuniverselle

Nous pouvons émettre l'hypothèse que l'isovitexine serait peut-être une molécule clé impliquée directement ou indirectement (effet synergique) dans la réduction du nombre de jours de ponte.

De plus et selon Simmonds (2001), la querc étine dont la teneur absolue est la plus élevée dans l'extrait BF (Tab. XII), bloque l'oviposition chez les insectes.

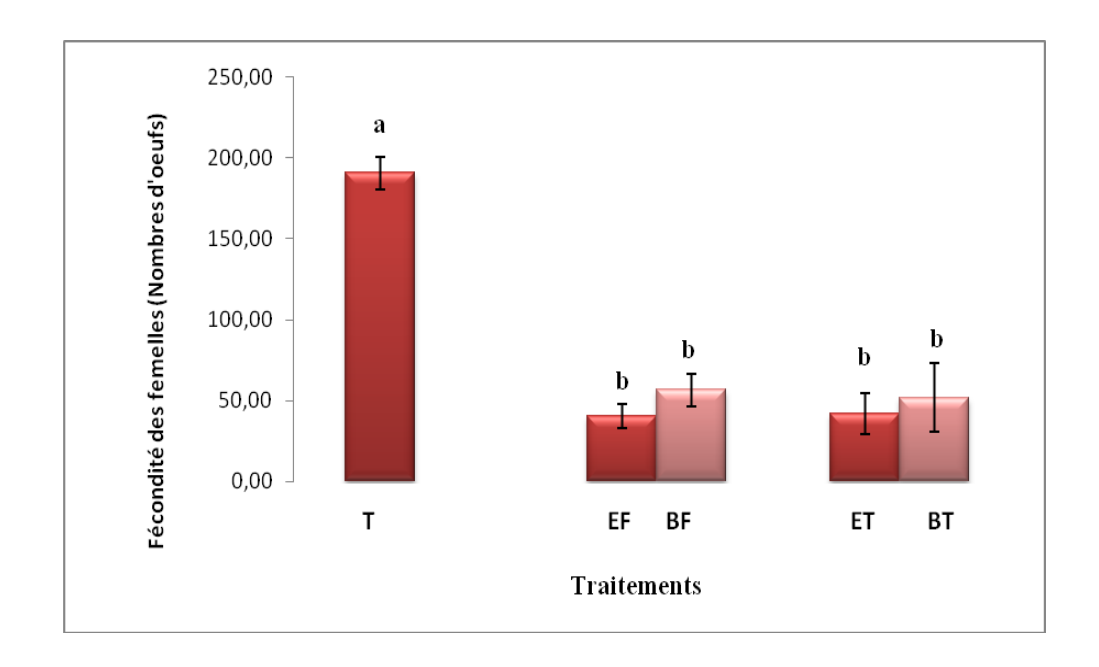
## 3-2-3-4-EFFET DES EXTRAITS BRUTS DE L'OLIVIER DE LA FERRINE SUR LA FECONDITE DE LA FEMELLE D'*EPHESTIA KUEHNIELLA*

Durant la période d'oviposition, le nombre d'œufs dépos és par les femelles témoins de la pyrale est en moyenne de  $190,71 \pm 10,04$  œufs.

L'application des extraits bruts aux femelles se traduit par une diminution de la f écondit é de ces derni ères. En effet, ils r éduisent en moyenne à 1/4 le nombre d'œufs d épos és pendant la dur ée de la p ériode d'oviposition par rapport au t émoin.

L'analyse de la variance, entre les extraits et le témoin montre une différence significative (p=0) avec une valeur moyenne de  $40.57 \pm 7.35$  œufs pour EF,  $41.86 \pm 13.02$  œufs pour ET et respectivement  $56.71 \pm 10.04$  œufs et  $51.86 \pm 21.31$  œufs dans le cas de BF et de BT (Fig. 28).

La comparaison des extraits entre eux ne montre pas de différence (p=0,27), et ils sont class és dans le même groupe homogène, le groupe b (Fig. 28). Ils ont le même effet sur la fécondit é de la femelle de la pyrale.



**Figure 28**: Fécondité des femelles en fonction des traitements appliqués (EF: Extrait éthéré de feuilles, BF: Extrait butanolique de feuilles, ET: Extrait éthéré de tiges, BT: Extrait butanolique de tiges et T: Ténoin)

Ainsi, toutes les fractions obtenues à partir de la poudre de feuilles et de la poudre de tiges de l'olivier de Laperrine, perturbent la fécondit é des femelles en réduisant considérablement le nombre d'œufs déposés.

A notre avis, l'effet des extraits de l'olivier de Laperrine sur la fécondit é de la femelle d'*E.kuehniella* serait dû à la présence de molécules biochimiques communes aux quatre extraits, en l'occurrence, l'hydroxytyrosol, l'oleuropéne, la quercétine et l'hespéridine. Selon Zouiten et El Hadrami (2001), le tyrosol, l'oleuropéine et l'acide caféique diminuent le potentiel de reproduction des femelles du psylle.

Ces mol écules influencent peut- être l'équilibre hormonal de l'insecte, ce qui perturberait le cycle de ce dernier en diminuant le potentiel de reproduction de la femelle d'*Ephestia kuehniella*. Il est int éressant de mentionner que Ben Hamouda et *al.* (2015), ont montr é que l'oleuropéine contenue dans les extraits de feuilles d'olivier, inhibe la ponte des œufs de *Phtorimaea operculalla* (Teigne de la pomme de terre).

Compar és aux insecticides chimiques, les extraits test és dans notre étude, semblent poss éder un effet plus marqu é sur la f écondit é de la femelle la pyrale de la farine ( $40,57 \pm 7,35$  œufs à  $56,71 \pm 10,04$  œufs). En effet, Taibi (2007), obtient  $151,0\pm31,3$  œufs, après avoir expos é les femelles au RH-0345, alors que Bouzerra et Soltani-Mazouni (2012), comptent  $73,8\pm29,2$  œufs après traitement des femelles par le RH-5992.

Des résultats similaires sont obtenus suite à l'application de l'huile essentielle extraite à partir de *Artemisia herba alba*. Elle réduit la fécondit é de la femelle d'*E.kuehniella* à 81  $\pm$  6,56 œufs, à la dose de 1  $\mu$ l/ml (Delimi et *al.*, 2017).

Des résultats obtenus par Kellouche et Soltani (2004) montrent que la poudre d'Olea europaea a un effet limit é sur le nombre d'œufs déposés par la bruche du ni & é

D'après Johnson et *al.* (2006), l'efficacit é des extraits de plantes est meilleure que celle des poudres v ég étales.

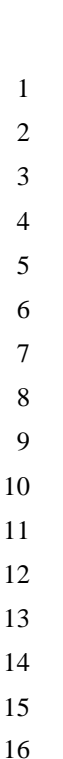
Une étude testant l'effet bio-insecticide de *Ziziphora clinopodioides* montre que la fécondit é de la femelle diminue de 89,89 % quand la concentration de l'huile essentielle augmente (Kheirkhah et *al.*, 2015). L'exposition à l'huile essentielle extraite de *Pistacia lentiscus* (Bachrouch et *al.*, 2010) et d' *Origanum vulgaris* (Taibi et *al.*, 2018) réduit la fécondité de la femelle et le taux d'éclosion des œufs d'*E.kuehniella*.

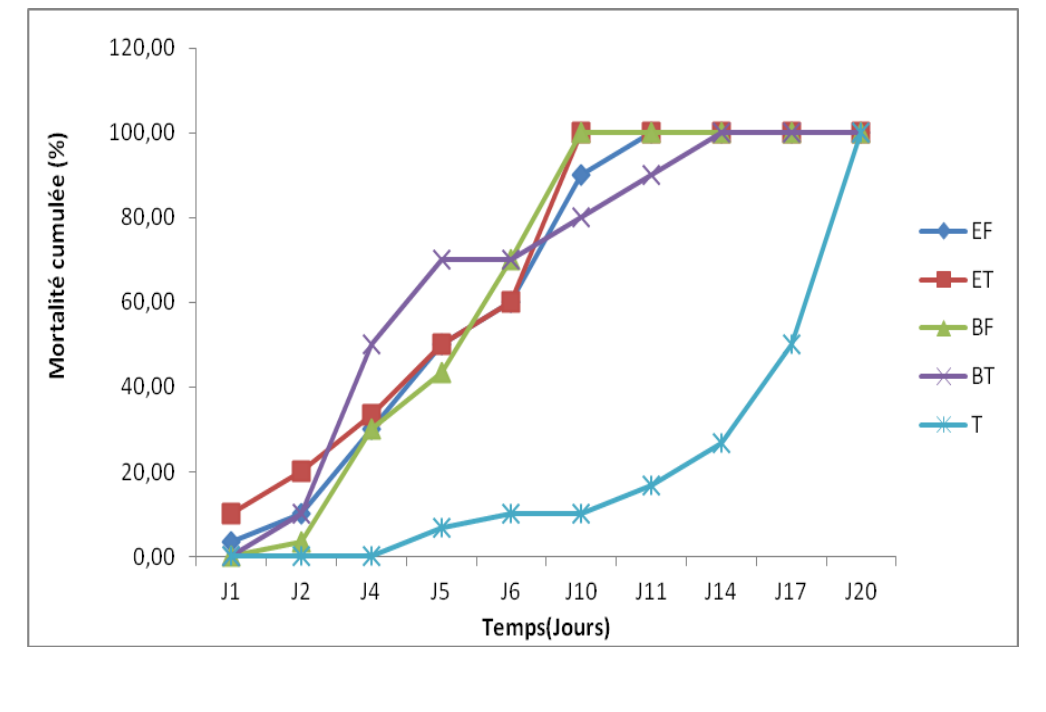
## 3-2-4- EFFET DES EXTRAITS BRUTS DE L'OLIVIER DE LAPERRINE SUR LA MORTALITE DES ADULTES D'*Ephestia kuehniella*

Les extraits bruts de l'olivier de Laperrine sont administrés au ravageur *Ephestia kuehniella*, par inhalation, dans le but d'estimer leur activité insecticide sur la mortalité des adultes.

Un lot d'insectes est plac é dans un tube contenant du papier pliss é pulv éris é par l'extrait brut. Un d'énombrement quotidien des adultes morts est effectu é jusqu'à atteindre les 100% de mortalit é

Le taux de mortalité est significativement marqué pour chaque jour de l'expérimentation. Les adultes témoins vivent en moyenne 20 jours à l'issue desquels, nous comptons 100% de mortalité. Le dernier adulte témoin meurt au 21 ème jour de l'expérimentation, notre objectif dans cette manipulation étant de comparer le taux de mortalité en présence et en l'absence des extraits, il nous a paru pertinent d'arrêter l'expérimentation au jour j 21. Les résultats illustrés par la figure 29, montrent la toxicité des extraits de l'olivier de Laperrine vis-à-vis des adultes d'*E. kuehniella*.





**Figure 29**: Cin étique de mortalit é des adultes apr ès administration par inhalation des extraits EF, ET, BF et BT

Dans les conditions optimales de développement, la mortalité chez les adultes témoins commence sensiblement au  $5^{\text{ème}}$  jour d'élevage. En effet, nous enregistrons une valeur moyenne de  $6,67 \pm 4,44 \%$ . Apr ès application des extraits EF et ET sur les adultes, des effets imm édiats se sont manifest és. Ces effets se traduisent par un taux moyen de mortalité calcul é 24h apr ès le début de l'expérimentation, de  $3,33 \pm 4,44 \%$  pour EF et  $10,00 \pm 6,67 \%$  pour ET.

Chez les adultes trait & par BF et BT, nous notons un début de mortalit é au  $2^{\text{ème}}$  jour du traitement avec des valeurs moyennes respectives de  $3,33 \pm 4,44 \%$  et  $10,00 \pm 6,67 \%$ .

Une l'étalité de 50 % est enregistrée au 4 ème jour du traitement avec BT et au jour j5 pour les traitements EF et ET. Cette valeur n'est atteinte qu'entre le 5 ème et le 6 ème jour de l'exposition au traitement BF, et seulement au jour j17 dans le cas des témoins.

D'après les résultats obtenus, il apparait que la totalité des insectes meurent après 10 jours d'exposition aux extraits ET et BF, après 11 jours de traitement avec EF et dans le cas BT, c'est au 14 ème jour de son application que tous les adultes meurent.

Aucun rapport n'est disponible concernant l'activité insecticide de l'olivier de Laperrine, et à notre connaissance aucun essai de l'évaluation de l'effet insecticide d'extraits de plantes n'a encore été réalisé sur *Ephestia kuehniella*. Cependant de nombreuses huiles essentielles extraites de différentes espèces végétales sont testées pour leur effet insecticide sur la pyrale de la farine, et appuient nos résultats quant à l'efficacité des extraits de l'olivier da Laperrine.

Ainsi, l'application de l'huile essentielle extraite de *Laurus nobilis* (Mediouni-Ben Jem ât et *al.*, 2013) est toxique sur les adultes de *E.kuehniella* et entraine, à la concentration de 45,64 µl/l d'air, 90% à 100% de mortalit é au bout de 24h d'exposition. Un travail similaire indique que l'exposition aux vapeurs d''huile essentielle de *Zataria multiflora* présente une plus grande toxicit é quand les adultes d'*E.kuehniella* y sont expos és comparativement aux larves qui sont plus tol érantes (Emamjomeh et *al.*, 2014).

Les travaux de Delimi et *al.* (2013), ont montré que l'huile essentielle de l'Armoise blanche (*Artemisia herba alba*), présente une activité insecticide sur *E.kuehniella*, et que la dur ée de vie des adultes diminue de manière significative au bout du 3 ène jour d'exposition à la dose de 3µl/ml.

Une étude men ét sur les huiles essentielles de *Ocimum basilicum*, *Capsicum annuum*, *Mentha piperita* et *Rosmarinus officinalis*, met en évidence l'effet insecticide de ces espèces végétales contre les adultes, les larves et l'éclosion des œufs d'*E.kuehniella* (Pandir et Baş, 2016).

Bien que l'effet de l'huile essentielle de *Prangos ferulacea* varie en fonction des diff érents stades de développement d'*E. kuehniella* elle est plus toxique sur les adultes (Sūmer et *al.*, 2013).

Une étude men ét par Kellouche et Soltani (2004), montre que la poudre de feuilles d'*Olea europaea* r éduit significativement la long évit é des adultes de la bruche du ni éb é

Les travaux de Ben Hamouda et *al.* (2015) ont montré l'effet insecticide et toxique de l'extrait de feuilles d'*Olea europaea*, en effet ce dernier provoque une mortalité de 100% sur les adultes de *Myzus percicae* et réduit la pénération des larves de *Phthorimaea operculella* dans les tubercules de pomme de terre de 71,7%.

Les travaux de Mohammed (2013), ont également rapporté que l'extrait de feuilles de l'olivier, provoque une mortalité de 98,7% des larves et de 80,9% des adultes de *Tribolium confusum*.

Selon Ouguas et *al.* (2010), le traitement des rameaux infect & par le psylle (*Euphyllura olivina* Costa), avec les compos & phénoliques extraits de l'olivier, provoque sur les adultes une mortalit émoyenne allant de 63,5% à71,7% selon la vari é éinfect &.

Pour une meilleure explication de l'action bio-insecticide des extraits bruts de l'olivier de Laperrine sur les adultes de la pyrale de la farine une courbe de tendance est établie pour chacun d'eux. Le nuage de points appliqué aux variables jours et mortalité pour chaque extrait donne les graphiques suivants (Fig. 30).

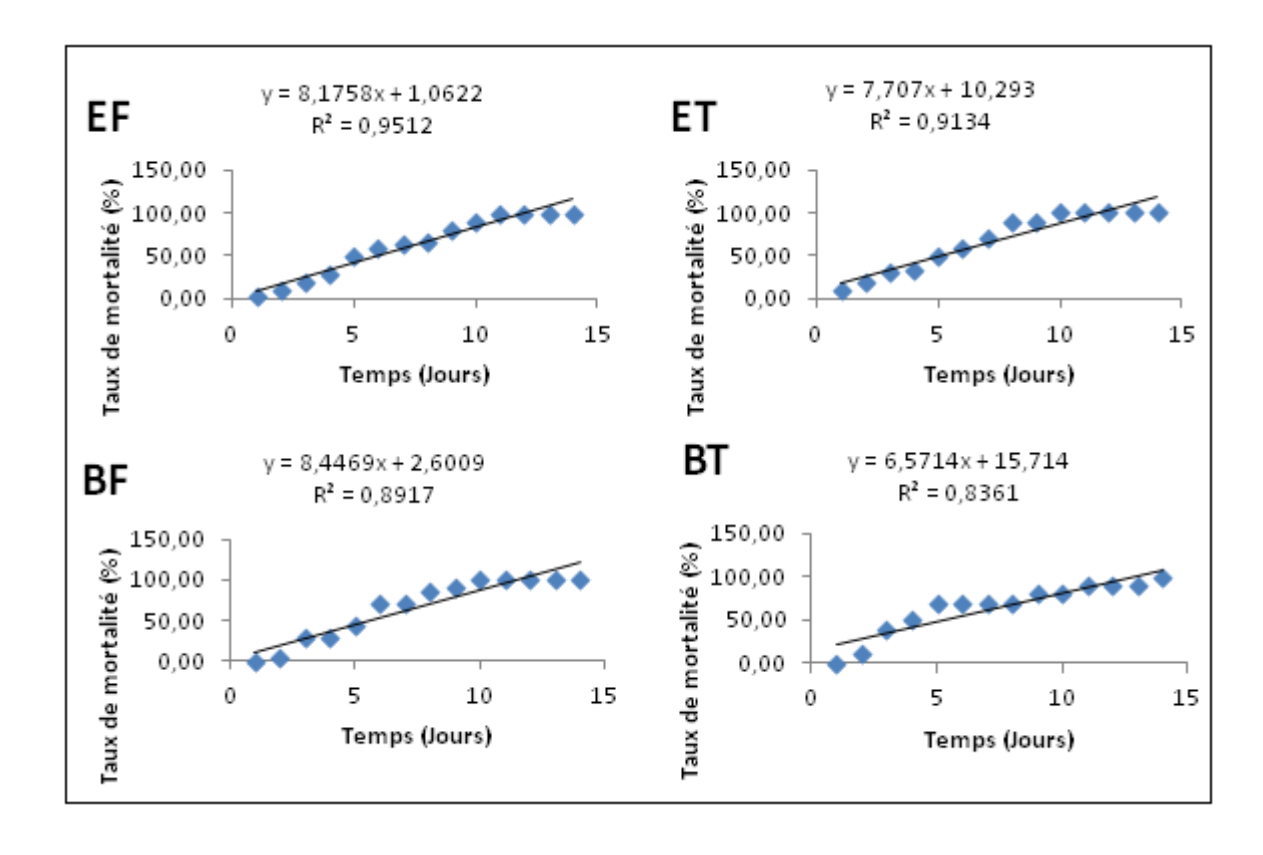


Figure 30: Coefficients d'ajustement linéaires des extraits de l'olivier de Laperrine

Les courbes de tendance appliquées à ces graphiques montrent un coefficient d'ajustement lin éaire très devé pour EF, il est de 0,95. Autrement dit, la mortalité enregistrée dans la période de temps considérée serait à plus de 95% expliquée par l'effet de l'extrait EF. Nous considérons donc que ce dernier est vraisemblablement le plus efficace des quatre extraits quant à éliminer l'espèce étudiée. Cet effet insecticide serait dû à notre avis, à la présence du tyrosol, de l'acide caféque, de l'oleuropéine, de l'acide férulique, de la vanilline, de la lutéoline et de la quercétine. Cependant la présence exclusive de la lutéoline et de l'acide cinnamique dans l'extrait EF semble jouer un rôle amplificateur sur la mortalité des adultes de la pyrale de la farine,

En effet, selon Zouiten et El Hadrami (2001), le tyrosol, l'acide caféique et l'oleuropéine augmentent la mortalit é chez le psylle de l'olivier. La lutéoline, l'acide caféique, l'acide férulique, la vanilline (Diouf et *al.*, 2016), ainsi que la querc étine (Golawska et *al.*, 2008), interviennent dans la mortalité des différentes espèces d'insectes. Regnault-Roger et *al.* (2004) précisent que cette dernière mol écule provoque une perturbation de la motricit é chez les insectes. D'après Bastide et *al.* (1988), l'acide férulique est impliqué dans la résistance du pécher contre le puceron vert.

Pour Ben Hamouda et *al.* (2015), l'oleuropéine joue un rôle fondamental dans l'activité bio-insecticide.

#### CONCLUSION

Les processus de développement et de reproduction chez les insectes sont contrôl és par deux principales hormones : l'hormone de mue (ecdystéroïdes), et l'hormone juvénile. Les ecdystéroïdes jouent un rôle majeur et sont présents à tous les stades de la vie des insectes (Bensalem-Djidi, 2014). Cependant leur taux varie en fonction des différents stades de développement des insectes (El Ouar et *al.*, 2010).

Un grand nombre d'études ont montré l'implication des ecdyst éro ïles et principalement de la 20-hydroxyecdysone (20E) dans de nombreux processus physiologiques comme la reproduction (Gilbert et *al.*, 1997), le développement ovarien, la vit élog én èse (Swever et Latrou, 1999), le développement embryonnaire et post embryonnaire (Kozlova et Thummel, 2000).

Les ecdyst éro ïles sont form és à partir des st érols alimentaires qui seront transform és apr ès ingestion en cholest érol (Bensalem-Djidi, 2014). L'oxydation et l'hydroxylation de ce dernier permet de fournir l'ecdysone qui est par la suite convertie en l'hormone 20E gr âce à l'intervention de l'ecdysone-20-monooxyg énase (Feyereisen et Durst, 1978; Smith et *al.*, 1979).

Par ailleurs, de nombreux auteurs ont montré que les compos és chimiques contenus dans les extraits de plantes ont un effet anti-app étant (Ehrlich et Raven, 1964; Abassi et *al.*, 2003; Ould el Hadj et *al.*, 2006; Idrissi Hassani et Hermas, 2008) et qu'ils perturbent l'alimentation chez les insectes (Meftah et *al.*, 2014), en diminuant fortement ou en inhibant la consommation de nourriture (Meftah et *al.*, 2011). Les insectes ont, en effet, la capacit é de rejeter une plante comme source alimentaire parce qu'ils poss èdent des récepteurs sp écifiques qui leurs permettent de d'éceter ces substances secondaires (Schroeder et Hiker, 2008).

 Konno et *al.* (1999), soulignent que l'oleuropéine joue le rôle d'un puissant dénaturant prot éque qui présente des activit és de réticulation des prot énes et de diminution de la lysine entrainant ainsi la diminution de la valeur nutritive des prot énes alimentaires. Ce qui se traduit par une inhibition de la prise alimentaire par les insectes. Ce fait a étédémontré par les travaux de Ben Hamouda et *al.* (2015), ils ont mis en évidence "un effet anti-alimentaire " de l'oleuropéine contenue dans les extraits de feuilles d'*Olea europaea* L sur *Phtorimaea operculella*.

Ainsi, nous pouvons émettre l'hypothèse que certaines molécules chimiques dont l'oleuropéine, contenues dans les extraits de l'olivier de Laperrine inhibent la prise alimentaire des adultes d'*E.kuehniella*, ce qui affecterait la synthèse des hormones n'œessaires à une reproduction normale provoquant ainsi la perturbation des param ètres de cette derni ère.

Des résultats similaires sont enregistrés par plusieurs études, selon Zouiten (2002) in Meftah et al. (2014), l'oleuropéine exerce un grand effet sur les paramètres de reproduction du psylle de l'olivier en diminuant le potentiel de reproduction des femelles (Zouiten et El

Hadrami, 2001). Quant à Abbassi et *al.* (2003), ils soulignent que les extraits de feuilles de *Pegalum harmala* entrainent des perturbations de la fonction de reproduction sur les femelles du criquet p derin.

Les résultats de notre étude suggèrent que les extraits de l'olivier de Laperrine, possèdent un double effet insecticide puisqu'ils interviennent à la fois sur les paramètres de la reproduction d'*Ephestia kuehniella* et sur la long évit édes adultes.

Les extraits bruts affectent les différentes phases du cycle de reproduction de l'insecte; ils prolongent de manière significative la durée du développement nymphal et la durée de la période de pré-oviposition et réduisent la durée de la période d'oviposition ainsi que le nombre d'œufs déposés par la femelle.

Administr és aux adultes, les extraits bruts de l'olivier de Laperrine provoquent un taux de mortalit é de 100% entre le 10 ène et le 14 ène jour de la vie d'*Ephestia kuehniella*.

# CONCLUSION GENERALES ET PERSPECTIVES

#### CONCLUSION GENERALE ET PERSPECTIVES

Cette étude préliminaire se propose d'approfondir nos connaissances et de valoriser l'olivier de Laperrine (*Olea europaea* subsp. *laperrinei*), espèce endénique des Hautes Montagnes Sahariennes caractérisée par sa grande résistance aux conditions environnementales très arides et aux facteurs de dégradations dus à l'homme et aux animaux.

Face à des conditions de milieu hostiles, les vég étaux réagissent en activant la biosynth èse des métabolites secondaires. Cette strat égie adaptative leur permet de renforcer leur système de d'éense par des barrières chimiques. Nous nous sommes intéress és à la quantification du contenu phénolique des extraits de *Olea europaea* subsp. *laperrinei*, compte tenu des conditions du milieu extrême dans lequel il évolue. C'est pourquoi nous nous sommes orientés vers l'extraction des polyphénols à partir des tiges feuillées, dans le but de les identifier, d'évaluer les activit és biologiques pouvant leur être associ ées et de comparer ces dernières avec celles de l'olivier du Nord (*Olea europaea* L.). D'autant que de nombreux travaux ont mis l'accent sur la richesse en compos és phénoliques, en particulier l'oleuropéine dans les feuilles de l'olivier aussi bien sauvage que cultiv é Ces compos és phénoliques en font de puissants agents antioxydants contribuant aux nombreuses vertus thérapeutiques qui leurs sont attribu ées.

Le premier objectif de ce travail consiste en *la caract érisation biochimique des extraits de l'olivier de Laperrine*. Ainsi, la composition chimique des diff érents extraits analys és par HPLC, r év è la présence de nombreuses mol écules biochimiques caract éris ées par des pics exprimant des temps de rétention spécifiques. Nous relevons la présence de nombreux compos és caract éristiques de l'olivier, ce sont l'oleuropéine, l'hydroxytyrosol et le tyrosol ainsi que la quercétine, l'apigénine, l'hespéridine et la lut éoline.

La comparaison quantitative des résultats obtenus par HPLC réalis é sur les extraits de feuilles et de tiges suite à une hydrolyse acide, montre que les teneurs en flavono ïles sont plus dev és au niveau des feuilles. Ce résultat confirme bien la richesse en flavono ïles attribu é aux feuilles par de nombreux chercheurs.

L'analyse phytochimique réalisée sur les extraits aqueux (EA) et éthanolique (EE) r év de la présence de deux fractions importantes dans les composés phénoliques, à savoir les flavono ïles et les tanins dont les teneurs sont particulièrement dev ées. Cette richesse semble être une réponse de l'espèce aux conditions de son milieu et montre clairement l'étroit rapport entre la biosynthèse des métabolismes secondaires et les conditions environnementales extrêmes auxquelles est exposé l'olivier de Laperrine. Il faut cependant relever que comparativement à l'extrait EA, les teneurs en phénols et en flavono ïles totaux sont nettement plus dev ées dans l'extrait EE. Ce résultat confirme bien que le métange éthanoleau est un meilleur solvant d'extraction comparativement à l'eau utilisée seule. Ceci étant dû à la plus grande solubilisation des polyphénols dans le métange.

Par ailleurs, la comparaison des profils chromatographiques foliaires résultants des différentes extractions, montre que le nombre de compos és chimiques est plus devé dans le cas de l'extraction acide par rapport aux extractions aqueuse et éthanolique. Ceci s'expliquerait à notre avis par le fait que l'hydrolyse acide cible essentiellement l'extraction des flavono ïles.

Le deuxième objectif de notre étude consiste à évaluer le potentiel antioxydant des extraits de feuilles de l'olivier de Laperrine. Pour soutenir cette id ée, nous avons commenc é par d'éterminer la capacit é antioxydante globale (TAC) et la capacit é à fournir des dectrons stabilisateurs ou r'éducteurs (FRAP) des extraits étudi és. Ces deux tests préliminaires, très fortement corr él és ( $R_2 = 0.99$ ) ont mis en évidence le pouvoir oxydant élev é des extraits de feuilles de l'olivier de Laperrine.

Les résultats obtenus montrent que les molécules phytochimiques contenues dans les extraits EA et EE exercent un effet antioxydant non négligeable. Leur efficacitéest li ée à leur aptitude à piéger les radicaux libres. Cette dernière se traduit par le don d'un atome d'hydrogène ou d'un électron au radical libre qui prend ainsi la forme réduite. Cet état réduit l'empêche d'atteindre sa cible biologique (ADN, proténes ou lipides) et de provoquer des alt érations pouvant conduire à de graves pathologies.

Les effets antioxydants r év d és *in vitro* sont en relation directe avec le contenu ph énolique des extraits étudi és et d épendent des diff érentes interactions (synergie ou antagonisme) qui les régissent. Ainsi, le potentiel antioxydant est en faveur de l'extrait EE dont le contenu ph énolique est plus riche que celui de l'extrait EA. Il r év de en effet, une puissante capacit é à neutraliser les radicaux libres comme le DPPH $^{\bullet}$  et le  $H_2O_2$  et à inhiber fortement le blanchiment du  $\beta$ -carot ène. De plus, le calcul de l'indice de l'activité antioxydante (IAA > 2) le d éfinit bien comme ayant une activit é antioxydante tr ès forte et avec une puissance similaire à celle de l'acide ascorbique.

Enfin, une évaluation du potentiel insecticide des extraits de feuilles et de tiges est réalis ée sur les paramètres de la reproduction de la pyrale de la farine (*Ephestia kuehniella*), ainsi que sur la mortalit é des adultes. Ainsi l'inhalation, des extraits bruts par des chrysalides prolonge leur dur ée de développement nymphal et perturbe la reproduction des adultes.

Sur les quatre extraits testés, seul l'extrait BT, prolonge de mani ère significative la p ériode de pré-oviposition. Nous notons, qu'après l'accouplement, la période d'oviposition est significativement réduite après l'exposition des femelles aux extraits bruts testés, c'est cependant, la fraction BF qui perturbe le plus la reproduction des adultes.

Toutes les fractions obtenues à partir de la poudre de l'olivier de Laperrine, perturbent la fécondit édes femelles adultes en réduisant le nombre d'œufs déposés.

L'extrait EF est vraisemblablement le plus efficace des quatre extraits quant à éliminer l'espèce étudiée. Cet effet insecticide serait dû à notre avis, à la présence du tyrosol, de l'acide

caféique, de l'oleuropéine, de l'acide férulique, de la vanilline, de la lutéoline et de la quercétine.

Les données acquises au cours de notre expérimentation mettent en exergue le remarquable pouvoir antioxydant et insecticide des extraits de l'olivier de Laperrine.

Ainsi, cette espèce pourrait d'une part, servir de source potentielle d'antioxydants naturels, d'autant que les extraits de feuilles se sont révélés non toxiques pour les cellules. En outre, elle offrirait la perspective d'une utilisation en thérapeutique humaine, en prévenant les différentes pathologies qui peuvent survenir suite à une situation de stress oxydatif par le renforcement du système de défense de l'organisme. Cependant une purification de ses mol écules bioactives et une évaluation de leur activit éest n écessaire.

D'autre part l'olivier de Laperrine pourrait représenter une alternative aux substances chimiques nocives et être potentiellement utilis é comme source de biomolécules à effet insecticide. Il faut cependant préciser que dans ce contexte, ce travail se situe à une échelle expérimentale et avant d'envisager une utilisation sur le terrain, il serait important de procéder à d'autres tests, visant par exemple:

- \* A déterminer un éventuel effet larvicide des extraits de l'olivier;
- \*\* A réaliser un test de répulsivit é
- \*\*\* A isoler et tester séparément ou en association, les molécules chimiques identifiées comme ayant un effet sur les paramètres de la reproduction d'*Ephestia kuehniella* afin d'établir leur mode d'action sur la physiologie de sa reproduction.

Si les résultats obtenus sont intéressants et ouvrent des futures perspectives, ce travail reste néanmoins à enrichir. Ainsi, il serait intéressant de réléchir à des méthodes permettant leur utilisation comme pesticide naturel contre les ravageurs inféodés à l'olivier du nord et d'évaluer leur capacité à inhiber la croissance fongique et microbienne.

Notre travail a révélé la richesse des feuilles de l'olivier de Laperrine en substances bioactives dont les effets bénéfiques pour la santé ne sont plus à démontrer. Il serait intéressant de vérifier si cette richesse est spécifique aux feuilles ou est caractéristique de la plante. Ainsi réaliser une étude phytochimique comparative des différents extraits issus de toutes les parties de la plante (fleurs, fruit, tronc, racines...) pourrait s'avérer instructive quant àce questionnement.

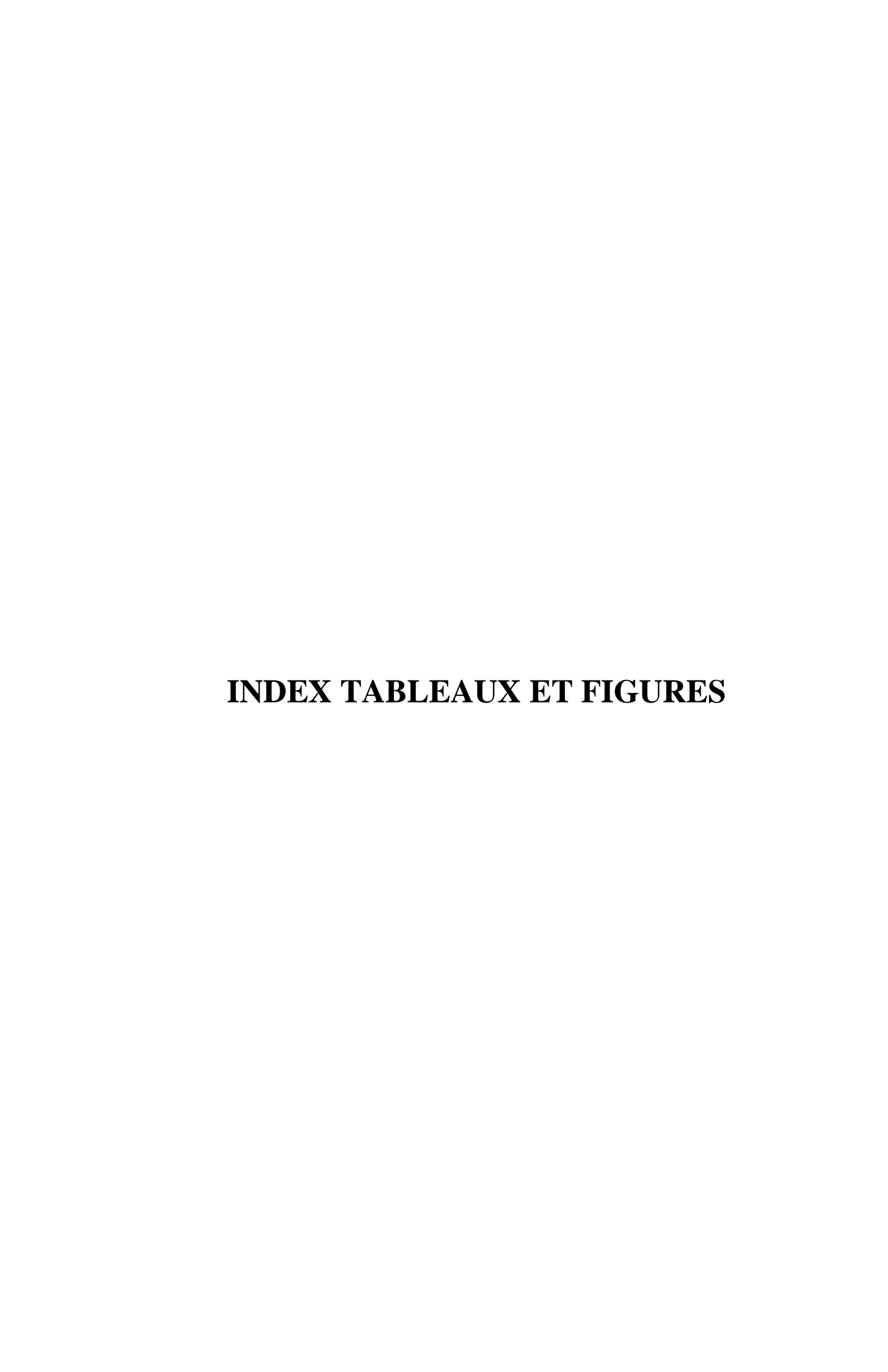
De plus, comprendre et maitriser sa réponse vis à vis du stress biotique et abiotique est une étape importante. Elle nous permettrait éventuellement d'établir des corrélations entre les conditions de l'environnement et la biosynthèse des polyphénols et de définir ainsi la saison où la teneur en compos és phénoliques est à son maximum et d'ajuster la période de pr d'èvement du mat ériel v ég étal.

Enfin, il nous parait intéressant d'envisager la production des compos és phénoliques dans des conditions *in vitro* à partir de cals, de cultures cellulaires ou de vitro-plants par exemple. Ce qui aurait l'avantage de produire des principes actifs à volonté, dans des espaces réduits et dans des conditions contr ôl ées.

L'olivier de Laperrine constitue un patrimoine génétique exceptionnel et sa valorisation en tant que ressource génétique pour l'olivier cultivé est indispensable. C'est une essence à tempérament robuste qui s'accommode au climat sec et aux sols déshérités et présente une grande résistance face aux facteurs de destruction. Cette résistance se matérialise par sa capacité de rejeter de souche qui lui a, non seulement permis de s'adapter et de se maintenir dans un environnement hostile pendant de longues périodes mais a aussi favorisé les génotypes triplo ïles plus vigoureux que leur analogues diplo ïles. Ces derniers pourraient faire partie de programme d'amélioration. En effet l'inter fertilité démontrée entre les sous espèces du complexe *Olea* nous autorise à envisager et à réfléchir à des plans d'hybridation entre l'olivier de Laperrine et l'olivier cultivé. Ces croisements aboutiraient peut être à des individus dont la vigueur hybride serait supérieur à celle de leurs géniteurs.

La valorisation des extraits v & étaux rev & un int ét & considérable sur le plan & conomique, puisque que le coût de reviens des extractions à partir de poudre v & étale est tr & comp étitif par rapport à celui de l'extraction des huiles essentielles. De plus les extraits que nous avons test & au cours de notre expérimentation ont démontr & leur efficacit é durant nos tests, et exprim & un effet comparable et parfois m ême sup érieur à celui des huiles essentielles.

Cependant, cette comparaison ayant été abord ét très succinctement, nous nous garderons de toute conclusion hâtive en cette matière. Il nous parait toutefois important d'envisager une expérimentation détaillée dans ce domaine et comparer l'effet des extraits végétaux et des huiles essentielles issus de la même plante en utilisant les mêmes tests *in vitro* et *in vivo*.



## LISTE DES TABLEAUX

N°	Titre	Page
I	Sous espèces du complexe Olea europaea L.	9
П	Position systématique de l'olivier de Laperrine	11
Ш	Classification d'Ephestia kuehniella	15
IV	Activit és des polyph énols des feuilles de l'olivier	33
$\mathbf{V}$	Rendements d'extraction et résultats des dosages	57
VI	Comparaison de la teneur en phénols totaux des feuilles d' <i>Olea laperrinei</i> avec celle des feuilles d' <i>Olea europaea</i>	58
VII	Principaux compos és chimiques identifi és dans les extraits de l'olivier de Laperrine	60
VIII	Comparaison des résultats du test FRAP avec ceux des feuilles d'Olea europaea L.	62
IX	Comparaisons des résultats du test DPPH des feuilles d' <i>Olea europaea</i> L. àceux obtenus dans notre exp <del>é</del> rimentation	65
X	Comparaison des résultats du test BCB avec ceux des feuilles d'Olea europaea L.	66
XI	Principaux composés chimiques identifiés dans les extraits de l'olivier de Laperrine	74
XII	Teneurs absolues ([mAU*]/g PV) des molécules biochimiques contenues dans les extraits de l'olivier de Laperrine	77
XIII	Effet des extraits bruts de l'olivier de Laperrine sur la période de pré- oviposition chez <i>Ephestia kuehniella</i>	78
XIV	Teneurs absolues ([mAU*]/g PV) de quatre mol $\acute{e}$ ules biochimiques contenues dans les extraits v $\acute{e}$ $\acute{e}$ aux	79
XV	Teneurs absolues ([mAU*]/g PV) de trois molécules biochimiques contenues dans les extraits de l'olivier de Laperrine	81

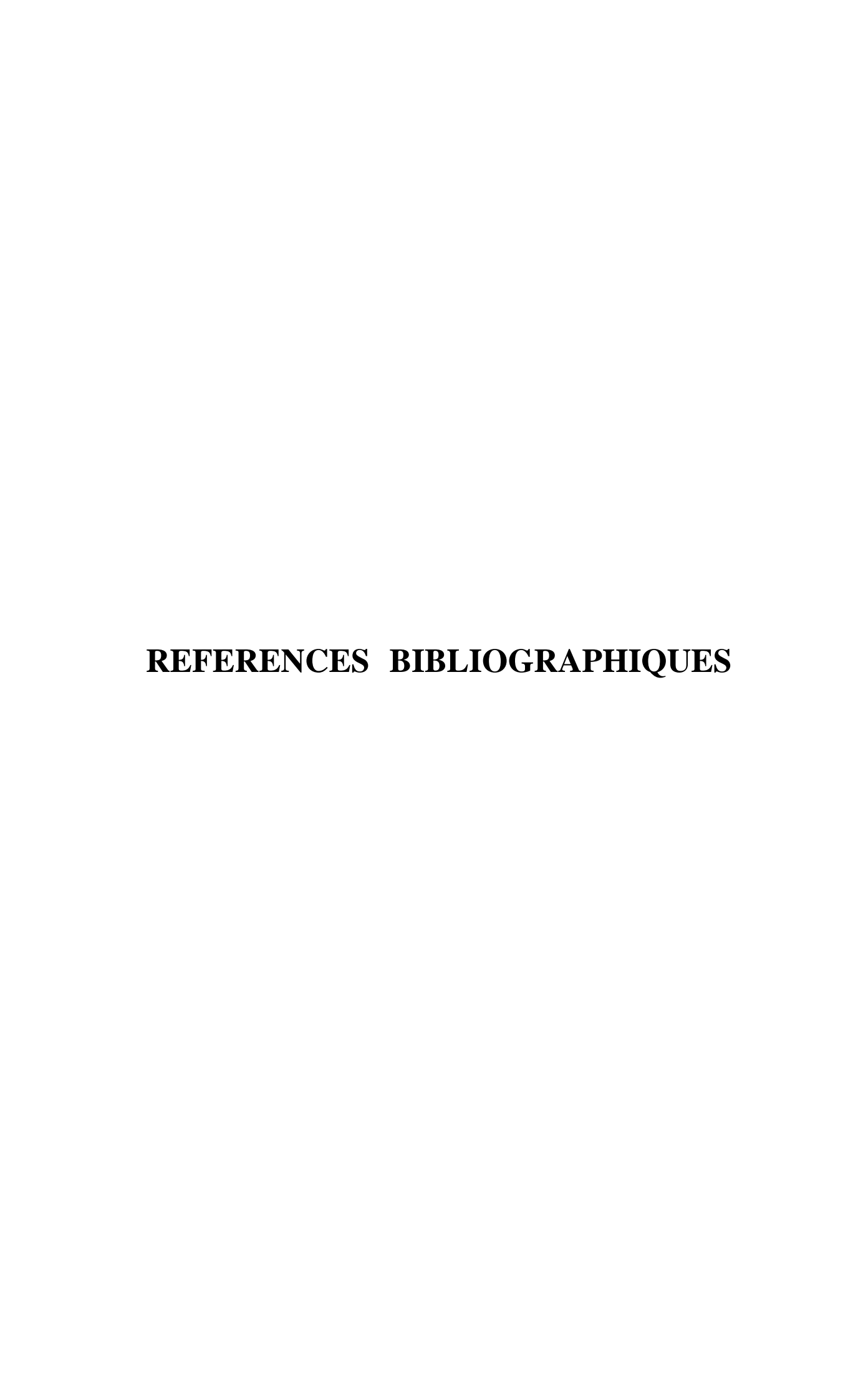
## LISTE DES FIGURES

Ν°	Titre	Page
1	Distribution du complexe de l'olivier (A) et de l'olivier de Laperrine (B). Les massifs sahariens sont indiqu és en gris sur la figure 1.B. La répartition de la sousespèce <i>laperrinei</i> dans ces montagnes est représent ée en noir (Besnard et <i>al</i> , 2012)	10
2	Olivier de Laperrine. (A : dans les lits d'oueds ; B : Aspect buissonnant)	12
3	Forme lancéolée des feuilles de l'olivier de Laperrine. ( $\bf A$ : Rameau, $\bf B$ : Face sup érieure $\bf C$ : face inferieure)	12
4	Face abaxiale d'une feuille d'olivier de Laperrine montrant les écailles peltées observées au microscope électronique. L'échelle représente 200 $\mu$ m. (Besnard et $al., 2012$ )	13
5	Quelques caractéristiques botaniques d' <i>Olea laperrinei</i> . (A: Inflorescence en grappe, B: Fleur, C: Fruit immature, D: Fruit mature; E: Noyau à endocarpe dur; F: Graines)	14
6	Diff érents stades de développement chez <i>Ephestia kuehniella</i> (Xu, 2010). ( <b>A</b> : Œuf, <b>B</b> : Larve du stade 6, <b>C</b> : Chrysalide et <b>D</b> : Adulte)	16
7	Dimorphisme sexuel de la pyrale de la farine (A: Femelle, B: M âle)	17
8	Principales espèces réactives à l'oxygène (Favier, 2003)	20
9	Schéma représentant l'effet du radical l'hydroxyle sur les molécules cibles (Garait, 2006) Modifi é	21
10	Régulation de la production d'ERO par les systèmes de défenses antioxydantes (Carrière et al., 2006)	22
11	Structures de base des trois principaux groupes de flavono ïles Guillouty, 2016). Modifié	29
12	Activit és biologiques des polyph énols (Martin et Andriantsitohaina, 2002)	30
13	Ch dation des m daux de transition par les polyph énols (Pietta, 2000)	33
14	Localisation de la zone d'étude. Echelle : 1/200 000  A : Sur la feuille d'Assekrem (+),  B : Agrandissement àpartir de la feuille d'Assekrem	37 38

15	Diffférentes espèces végétales rencontrées dans la station d'étude (A:Rhus tripartitus, B: Periploca laevigata, C: Myrtus nivellei, D: Atriplex halimus, E: Nerium oleander et F: Tamarix gallica).	39
16	Elevage de masse de la pyrale de la farine	40
17	Schéma illustrant les différentes étapes d'extraction	43
18	Protocole analytique d'extraction acide (Lebreton et al., 1967)	45
19	Application des extrais de l'olivier de Laperrine dur la pyrale de la farine. <b>A</b> : Dans des boites de P éri, <b>B</b> : Dans des tubes	53
20	Capacit é de r éduction du fer par les extraits de feuilles d'Olea laperrinei	63
21	Capacit éde pi égeage des radicaux DPPH· par les extraits de feuilles d'Olea laperrinei	64
22	Pourcentage d'inhibition du blanchiment du $\beta$ -carot ène par les extraits de feuilles d' $Olea\ laperrinei$	66
23	Capacité de piégeage du peroxyde d'hydrogène par les extraits de feuilles d' <i>Olea</i> laperrinei	68
24	Teneur en compos és flavoniques de diff érents extraits obtenus àpartir de la poudre de feuilles (PF) et de la poudre de tiges (PT) de l'olivier de Laperrine	72
25	Période de développement nymphal en fonction des traitements appliqués (EF: Extrait éthéré de feuilles, BF: Extrait butanolique de feuilles, ET: Extrait éthéré de tiges, BT: Extrait butanolique de tiges et T: Témoin)	76
26	Analyse factorielle des correspondances, plan factoriel axes F1 et F2 (Variables x Extraits)	77
27	Durée de la période d'oviposition en fonction des traitements appliqués (EF: Extrait éthéré de feuilles, BF: Extrait butanolique de feuilles, ET: Extrait éthéré de tiges, BT: Extrait butanolique de tiges et T: Témoin)	80
28	Fécondit é des femelles en fonction des traitements appliqués (EF: Extrait éthéré de feuilles, BF: Extrait butanolique de feuilles, ET: Extrait éthéré de tiges, BT: Extrait butanolique de tiges et T: Ténoin)	82

<b>29</b>	Cin étique de mortalit é des adulte	s après	administration	par	inhalation des extraits	84
	EF, ET, BF et BT					

30 Coefficients d'ajustement linéaires des extraits de l'olivier de Laperrine 86



#### 1 REFERENCES BIBLIOGRAPHIQUES 2 Aba Toumnou L. (2013). Gestion int égr ée des principaux insectes ravageurs des c ér éales par 3 l'utilisation des métabolites secondaires des plantes indigènes du Sénégal et du Centrafrique. 4 5 Thèse de doctorat en Biologie, Physiologie et Pathologie v ég étales, discipline : Production et 6 Protection des v ég étaux. Universit é Cheikh Anta diop de Dakar. 163p. 7 8 Abbassi K., Atay-Kadiri Z., Ghaout S. (2003). Biological effects of alkaloids extracted 9 from three plants of Moroccan arid areas on the desert locust. Physiological Entomology, 28(3): 232-236. 10 11 Abascal K., Ganora L., Yarnell E. (2005). The effect of freeze-drying and its implications 12 for botanical medicine: a review. Phytotherapy Research: An International Journal Devoted to 13 Pharmacological and Toxicological Evaluation of Natural Product Derivatives, 19(8): 655-14 15 660. 16 Abaza L., Ben Youcef N., Manai H., Mahjoub Haddada F., Methenni K., Zarrouk M. 17 (2011). Chetoui olive leaf extracts: Influence of the solvent type on phenolics and antioxidant 18 19 activities. Grsas Y Aceites, 62(1): 96-104. 20 21 Achat S. (2013). Polyphénols de l'alimentation: extraction, pouvoir antioxydant et 22 interaction avec des ions méalliques. Thèse en co-tutelle de doctorat en Sciences filière : Biologie, option : Sciences Alimentaires. Université A. MIRA-Bejaia et 23 Universit é 24 d'Avignon et des Pays de Vaucluse-Avignon. 211p. 25 26 Adjimani J.P., Asare P. (2015). Antioxidant and free radical scavenging activity of iron 27 chelators. Toxicology Reports, 2: 721-728. 28 Afonso V., Champy, R., Mitrovic D., Collin P., Lomri A. (2007). Radicaux libres dérivés 29 de l'oxygène et superoxydes dismutases: rôle dans les maladies rhumatismales. Revue du 30

31 32 rhumatisme, 74(7): 636-643.

Ahmed A.M., Rabii N.S., Garbaj A.M., Abolghait S.K. (2014). Antibacterial effect of olive (*Olea europaea* L.) leaves extract in raw peeled undeveined shrimp (*Penaeus semisulcatus*. International Journal of Veterinary Science and Medicine, 2(1): 53-56.

36

Aiche-Iratni G., Moualek I., Mestar-Guechaoui N., Mezaache-Aichour S., Zerroug M.M., Houali K. (2015). *In vitro* evaluation of biological activities of *Pistacia lentiscus* aqueous extract. International Journal of Pharmacy and Pharmaceutical Sciences, 7(11): 133-139

40

41 **Alam M.N., Bristi N.J., Rafiquzzaman M. (2013).** Review on *in vivo* and *in vitro* methods evaluation of antioxidant activity. Saudi Pharmaceutical Journal, 21(2): 143-152.

- Alothman M., Bhat R., Karim A.A. (2009). Antioxidant capacity and phenolic content of selected tropical fruits from Malaysia, extracted with different solvents. Food chemistry,
- 3 115(3): 785-788.

- 5 Amessis-Ouchemoukh N., Abou- Reidah I. M., Quirantes-Pin é R., Madani K., Segura-
- 6 Carretero A. (2014). Phytochimical profiling, in vitro evaluation of total phenolic contents
- 7 and antioxidant properties of Marrubium vulgare (horehoud) leaves of plants growing in
- 8 Algeria. Industrial Crops and Products. 61:120-129.

9

Anderson J.W., Johnstone B.M., Cook-Newell M. E. (1995). Meta-Analysis of the Effects of Soy Protein Intake on Serum Lipids. New England Journal of Medicine, 333(5): 276–282.

12

- 13 Angiolillo A., Mencuccini M., Baldoni L. (1999). Olive genetic diversity assessed using
- amplified fragment length polymorphisms. Theoretical and Applied Genetics, 98(3-4): 411-
- 15 421.

16

- 17 Anthelme F., Abdoulkader A.Besnard G. (2008). Distribution, shape and clonal growth of
- the rare endemic tree Olea europaea subsp. laperrinei (Oleaceae) in the Saharan mountains of
- 19 Niger. Plant Ecology, 198(1): 73-87.

20

Aouati A., Berchi S. (2015). Larvicidal effect of *Marrubium vulgare* on *Culexpipiens in* eastern Algeria. Energy Procedia, 7: 1026 – 1031.

23 *castc* 

Arab K., Bouchenak O., Karima Yahiaoui K. (2013). Évaluation de l'activité biologique des feuilles de l'olivier sauvage et cultivé. Afrique Science, 09(3): 159 – 166.

26

- Ardi R., Kobiler I., Jacoby B., Keen N.T., Prusky D. (1998). Involvement of epicatechin biosynthesis in the activation of the mechanism of resistance of avocado fruit to
- 29 Colletotrichum gloeosporioides. Physiological and Molecular Plant Pathology, 53: 269–285.

30

- Bastide P., Massonie G., Macheix J.J. (1988). Influence in vitro des compos és phénoliques
- des jeunes feuilles du pêcher, Prunus persica (L.) Batsch, sur le puceron vert du pêcher,
- 33 *Myzus persicae* Sulzer. Agronomie, 8(9): 787-792.

34

- Baali-Cherif D., Besnard G. (2005). High genetic diversity and clonal growth in relict populations of *Olea europaea* subsp. laperrinei (Oleaceae) from Hoggar, Algeria. Annals of
- 37 Botany, 96 (5): 823-830.

38

- 39 **Baali-Cherif D.** (2007). Etude des populations d'olivier de Laperrine (*Olea europaea* ssp.
- 40 laperrinei) du Sahara Central Algérien (Hoggar et Tassili): aspects biologiques et
- 41 caract érisation mol éculaire. Thèse de Doctorat d'Etat en Science de la Nature, spécialité :
- 42 Biologie v ég étale. Universit é des Sciences et de la Technologie HOUARI Boumediane (UST
- 43 HB) Alger.102p.

- Baali-Cherif D., Bouguedoura N., Besnard G., Bouhired L. (2007). Etude des populations
- 2 de l'olivier de Laperrine (Olea europaea subsp. laperrinei Batt. et Trab.) du Sahara Central
- 3 algérien (Hoggar et Tassili) : aspects biologiques et caractérisation moléculaire. Annales de
- 4 l'Institut National Agronomique El Harrach, 28(1-2): 35-73.

- 6 Bachrouch O., Mediouni-Ben Jemâa J., Wissem A.W., Talou T., Marzouk B.,
- 7 Abderraba M. (2010). Composition and insecticide activity of essential oilfrom Pistacia
- 8 lentiscus L. against Ectomyelois ceratoniae Zeller and Ephestia kuehniella Zeller
- 9 (Lepidoptera: Pyralidae). Journal of Stored Products Research, 46(4): 242-247.

10

Balachowsky. (1972). Blood sucking ticks (Ixodoidea) - Vectors of diseases of man and animals. Mix. Publ. Entomological Society American. 8: 161-376.

13

Banso A., Adeyemo S.O. (2007). Evaluation of antibacterial properties of tannins isolated from *Dichrostachys cinerea*. African Journal of Biotechnology, 6(15): 1785-1787.

16

Battandier M.J.A., Trabut L. (1911). Contribution àla flore du pays des Touaregs. Bulletin
 de la Soci é éBotanique de France, 58(6): 623-629.

19

- Benavente-Garcia O., Castillo J., Lorente J., Ortuño A., Del Rio J.A. (2000). Antioxydant
- 21 activity of phenolics extracted from *Olea europaea* L. leaves. Food Food Chemistry, 68(4):
- 22 457-462.

23

- Benayad N. (2008). Les huiles essentielles extraites des plantes médicinales marocaines :
- 25 moyen efficace de lutte contre les ravageurs des denrées alimentaires stockées (Projet de
- recherche). Universit é Mohammed V Agdal, Maroc. 63p.

27

- 28 **Bensalem-Djidi F. (2014).** Effet de deux hypotenseurs le lisinopril et l'enalapril sur quelques
- 29 paramètres de la reproduction d'un ravageur des denrées stockées Ephestia kuehniella
- 30 (Lépidopt ère, Pyralid é). Thèse de Doctorat de 3 ème cycle, Spécialit é Biologie Animale
- 31 Environnementale, Option Reproduction et Développement. Université badji Mokhtar,
- 32 Annaba. 58p.

33

- 34 Ben Hamouda A., Ammar M., Ben Hamouda M.H. (2011). Effect of Olea europea and
- 35 Cestrum parquii leaves on the cuticle and brain of the Desert Locust, Schistocerca gregaria
- Forsk.(Orthoptera: Acrididae). Pest technology, 5(1): 55-58.

37

- 38 Ben Hamouda A., Boussadia O., Khaoula B., Laarif A., Braham M. (2015). Studies on
- 39 insecticidal and deterrent effects of olive leaf extracts on Myzus persicae and Phthorimaea
- 40 *operculella*. Journal of Entomology and Zoology Studies, 3(6): 294-297.

41

- **Benichou A.** (1962). Recherches critiques sur l'Olivier de Laperrine. Botanique Saharienne.
- Bulletin N°6 de l'IRS, Universit éd'Alger, 6:1–55.

- Bentrad N., Gaceb-Terrak R., Benmalek Y., Rahmania F. (2017). Studies on chemical
- 2 composition and antimicrobial activities of bioactive molecules from date palm (*Phoenix*
- 3 dactylifera L.) pollens and seed. African Journal of Traditional, Complementary and
- 4 Alternative Medicines, 14(3): 242-256.

6 **Berenbaum M.R.** (1983). Effects of tannins on growth and digestion in two species of papilionids. Entomologia Experimentalis et Applicata, 34(3): 245-250.

8

9 **Bennick A. (2002).** Interaction of plant polyphenols with salivary proteins. Critical Reviews in Oral Biology & Medicine, 13(2): 184-196.

11

Besnard G. (1999). Etude de la diversit ég én étique de l'olivier cultivé et des formes sauvages apparentées à l'aide de marqueurs moléculaires : applications pour l'identification variétale et pour la gestion des ressources génétiques. Thèse de doctorat : Biologie des populations et écologie. Universit édes Sciences et Techniques de Montpellier II. 210 p.

16

Besnard G., Green P.S., Bervill é A. (2002). The genus Olea: molecular approaches of its structure and relationships to other Oleaceae. Acta Botanica Gallica, 149(1): 49-66.

19

- 20 Besnard G., Christin P.A., Baali-Cherif D., Bouguedoura N., Anthelme F. (2007a).
- 21 Spatial genetic structure in the Laperrine's olive (Olea europaea subsp. laperrinei), a long-
- living tree from the central Saharan mountains. Heredity, 99(6): 649-657.

23

Besnard G., Rubio de Casas R., Vargas P. (2007b). Plastid and nuclear DNA polymorphism reveals historical processes of isolation and reticulation in the olive tree complex (Olea europaea). Journal of Biogeography 34, 736–752

27

Besnard G. (2008). Chloroplast DNA in mediterranean olive. The Journal of Horticultural Science and Biotechnology, 83(1): 51-54.

30

Besnard G., Baali-Cherif D. (2009). Coexistence of diploids and triploids in a Saharan relict olive: evidence from nuclear microsatellite and flow cytometry analyses. Comptes Rendus Biologies, 332(12): 1115-1120.

34

- Besnard G. (2009). Génétique et évolution des plantes en milieux méditerranéen et tropical.

  Thèse de doctorat, habilitation à diriger des Recherches. Université des Sciences et
- 37 Technologies de Lille 1. France. 45p.

38

Besnard G., Anthelme F., Baali-Cherif D. (2012). The Laperrine's olive tree (Oleaceae). a wild genetic resource of the cultivated olive and a model-species for studying the biogeography of the Saharan Mountains. Acta Botanica Gallica – Botany Letters, 159(3): 319-328.

- 1 Besnard G., El Bakkali A., Haouane H., Baali-Cherif D., Moukhli A., Khadari B. (2013).
- 2 Population genetics of Mediterranean and Saharan olives: geographic patterns of
- 3 differentiation and evidence for early generations of admixture. Annals of botany, 112(7):
- 4 1293-1302.

Besnard G., Rubio de Casas R. (2016). Single vs multiple independent bolive domestications: the jury is (still) out. New Phytologist 209: 466–470

8

- 9 Bilal H., AkramW., Ali Hassan S., Zia A., Bhatti A.R. Mastoi M.I., Aslam S. (2015).
- 10 Insecticidal and Repellent Potential of Citrus Essential Oils Against Tribolium castaneum
- Herbst (Coleoptera: Tenebrionidae) Pakistan Journal of Zoology, 47(4): 997-1002.

12

Botsoglou E., Govaris A., Christaki E., Botsoglou N. (2010). Effect of dietary olive leaves and/or a-tocopheryl acetate supplementation on microbial growth and lipid oxidation of turkey breast fillets during refrigerated storage Food Chemistry 121:17–22.

16

- Botsoglou E., Govaris A., Ambrosiadis I., Fletouris D. (2012). Lipid and protein oxidation of  $\alpha$ -linolenic acid-enriched pork during refrigerated storage as influenced by diet supplementation with olive leaves (*Olea europea* L.) or  $\alpha$ -tocopheryl acetate. Meat Science,
- 20 92 (4): 525-532.

21

- Bouaziz M., Sayadi S. (2005). Isolation and evaluation of antioxidants from leaves of a Tunisian cultivar olive tree. European Journal of Lipid Science and Technology, 107(7 8):
- 24 497-504.

25

- Bouchetla A., Boughdad A., Blenzar A. (2005). Effet biocides des alcalo ïles, des saponines et des flavono ïles extrais de *Capsium frutescens* L. (Solanaceae) sur *Bemisia tabaci*
- 28 (Gennadius) (Homoptera: Aeyrodidae). Biotechnol. Agron. Soc. Environ. 9 (4): 259-269.

29

Boudhrioua N., Bahloul N., Ben Slimen I., Kechaou N. (2009). Comparison on the total phenol contents and the color of fresh and infrared dried oliveleaves. industrial crops and products, 29: 412–419.

33

Bouguerne B. (2012). Conception et synthèse de dérivés phénoliques hautement fonctionnalisés et études de leurs propriétés biologiques vis-àvis des maladies cardiovasculaires (athérosclérose). Thèse de doctorat, Sciences de la matière. Université de Toulouse III-Paul Sabatier, France. 256p.

38

Bouzeraa H., Soltani-Mazouni N. (2012). Effets du méthoxyfénozide sur le développement et quelques paramètres de la reproduction d'*Ephestia kuehniella* après traitement des mêtes et des femelles. Bulletin de la Sociétézoologique de France, 137(1-4): 157-167.

- Bourgou S., Serairi Beji R., Medini F., Ksouri R. (2016). Effet du solvant et de la méthode
- 2 d'extraction sur la teneur en composés phénoliques et les potentialités antioxydantes
- 3 d'Euphorbia helioscopia. Journal of new sciences, Agriculture and Biotechnology,
- 4 28(12):1649-1655

Bozin B., Mimica-Dukic N., Samojiki I., Goran A., Igic R. (2008). Phenolics as antioxidants in garlic (*Allium sativum* L., Alliaceae), Food Chemestry, 111: 925-929

8

9 **Brahmi F., Mechri B., Dhibi M., Hammami, M. (2013).** Variations in phenolic compounds and antiradical scavenging activity of *Olea europaea* leaves and fruits extracts collected in two different seasons. Industrial crops and products, 49(1): 256-264.

12

Brand-Williams W., Cuvelier M.E., Berset C. (1995). Use of a free radical method to evaluate antioxidant activity. Lebensmittel-Wissenschaft und -Technologie/Food Science and Technology, 28(1): 25-30.

16

Breton C., M édail F., Pinatel F., Bervill éA. (2006). De l'olivier à l'oléastre : origine et domestication de l'*Olea europaea* L. dans le Bassin m éditerran éen. Cahiers Agricultures, 15 (4): 329-336.

20

- 21 Brindley T.A. (1930). The Growth and Development of Ephestia Kuehniella Zeller
- 22 (Lepidoptera) and Tri-Bolium Confusum Duval (Coleoptera) under Controlled Conditions of
- Temperature and Relative Humidity. Annals of the Entomological Society of America, 23(4):
- 24 741-757.

25

- Bruneton J. (1993). Pharmacognosie et phytochimie, plantes médicinales. Ed Tec et Doc.
- 27 Lavoisier. Paris.278- 279.

28

Bruneton J. (1999). Pharmacognosie, phytochimie, plantes médicinales. Ed Tec et Doc, 3 ène édition.783-785.

31

Calatayud P.A., Garrec, J.P., Nicole M. (2013). Adaptation des plantes aux stress environnementaux. Interactions insectes- plantes, Chapter 14, Publisher: IRD & Quae. 229-34 245.

35

Caretto S., Linsalata V., Colella G., Mita G., Lattanzio V. (2015). Carbon fluxes between primary metabolism and phenolic pathway in plant tissues under stress. International journal of molecular sciences, 16(11): 26378-26394.

39

Carrière A., Galinier A., Fernandez Y., Carmona M.C., Pénicaud L., Casteilla L. (2006).
Les espèces actives de l'oxygène: le yin et le yang de la mitochondrie. médecine/
sciences, 22(1): 47-53.

- 1 Carrieri F., Raimo F., Pentangelo A., Lahoz E. (2013). Fusarium proliferatum and
- 2 Fusarium tricinctum as causal agents of pink rot of onion bulbs and the effect of soil
- 3 solarization combined with compost amendment in controlling their infections in field. Crop
- 4 Protection, 43: 31-37.

- 6 Caturla N., Perez-Fons L., Estepa A., Micol V. (2005). Differential effects of oleuropein,
- 7 abiophenol from *Olea europaea*, on anionic and zwiterionic phospholipid model membranes.
- 8 Chem Phys Lipids, 137: 2-17

9

- 10 Cassier P. (1996). L'expression de deux milieux : le passage de la vie imaginale chez les
- insectes. Le contr de endocrine. Bulletin de la Soci ét ézoologique de France, 121(2): 187-197.

12

- 13 Chaieb I. (2011). Research on insecticidal plants in Tunisia: review and discussion of
- methodological approaches. Tunisian Journal of Plant Protection, 6(2): 109-25.

15

- 16 Chang C.C., Yang M.H., Wen H.M., Chern J.C. (2002). Estimation of total flavonoid
- 17 content in propolis by two complementary colorimetric methods. Journal of food and drug
- 18 analysis, 10(3): 178-182.

19

- 20 Chebli B. Idrissi Hassani L.M., Hmamouchi M. (2001). Acides gras et polyphénols des
- 21 graines d'Ononis natrix L. (Fabaceae) de la région d'Agadir, Maroc. Acta Botanica Gallica,
- 22 148(4): 333-340.

23

- 24 Cillard J., Cillard P. (2006). M écanismes de la peroxydation lipidique et des anti-oxydations.
- Oleagineux, corps gras, lipides, 13(1): 24-29.

26

- 27 Cochereau P. (1982). Les conditions de la lutte contre les insectes ravageurs des cultures
- vivrières africaines. *Entomophaga*, (num éro Hors s érie), 27(1): 5-10.

29

- 30 Costa-Arbulu C., Ganoli E., Gonzalez W.L., Niemeyer H.M. (2001). Feeding by the aphid
- 31 Sipha flava produces a reddish spot on leaves of *Sorghum halepense*: An induced response?
- Journal of Chemical Ecology, 27: 271–281.

33

- 34 **Cronquist A.** (1981). An integrated system of classification plant. Columbia University.
- 35 Press. New York. 1262p.

36

- Dai J., Mumper R.J. (2010). Plant phenolics: extraction, analysis and their antioxidant and
- anticancer properties. Molecules, 15(10): 7313-7352.

39

- 40 **Dangles O., Stoeckel C., Wigand M.C., Brouillard R. (1992)**. Two very distinct types
- of anthocyanin complexation: Copigmentation and inclusion. Tetrahedron letters, 33(36):
- 42 5227-5230.

1 **Deby-Dupont G., Deby C., Lamy M. (2002).** Données actuelles sur la toxicité de l'oxygène. Réanimation, 11(1): 28-39.

3

- 4 Dekanski D., Janićijević-Hudomal S., Tadić V., Marković G., Arsić I., Mitrović D.M.
- 5 (2009). Phytochemical analysis and gastroprotective activity of an olive leaf extract. Journal
- of the Serbian Chemical Society, 74(4): 367-377.

7

- 8 Delimi A., Taibi F., Fissah A., Gherib S., Bouhkari M., Cheffrour A. (2013). Bio-activit é
- 9 des huiles essentielles de l'Armoise blanche Artemessia herba alba: effet sur la reproduction
- 10 et la mortalité des adultes d'un ravageur des denrées stockées Ephestia kuehniella
- 11 (Lepidoptera). Afrique Science: Revue Internationale des Sciences et Technologie, 9(3): 82-
- 12 90.

13

- Delimi A., Taibi F., Bouchelaghem S., Boumendjel M.E., Hennouni-Siakhène N.,
- 15 Chefrour A. (2017). Chemical composition and insecticidal activity of essential oil of
- 16 Artemisia herba alba (Asteraceae) against Ephestia kuehniella (Lepidoptera: Pyralidae).
- 17 International Journal of Biosciences, 10(2): 130-137.

18

- 19 **Delobel A., Tran M.** (1993). Les Col éopt ères des denr ées alimentaires entrepos ées dans les
- 20 r égions chaudes. Faune Tropicale XXXII. ORSTOM/ CTA Eds, Paris. 424p.

21

- De Nino A., Lombardo N., Perri E., Procopio A., Raffaelli A., Sindona G. (1997). Direct
- 23 identification of phenolic glucosides from olive leaf extracts by atmospheric pressure
- ionization tandem mass spectrometry. Journal of Mass Spectrometry, 32(5): 533-541.

25

- 26 Di Ferdinando M., Brunetti C., Fini A., Tattini M. (2012). Flavonoids as Antioxidants in
- 27 Plants under Abiotic Stresses. In: Ahmad P., Prasad M.N.V (Eds). Abiotic Stress Responses
- in Plants: Metabolism, Productivity and Sustainability, Springer Science+Business Media,
- 29 LLC 159-179. XV.

30

- Di Ferdinando, M., Brunetti, C., Agati, G., Tattini, M. (2014). Multiple functions of
- 32 polyphenols in plants inhabiting unfavorable Mediterranean areas. Environmental and
- 33 Experimental Botany, 103: 107-116.

34

- Diouf E.H.G., Diop M., Sène A., Samb A., Gueye S.(2016). Comparison of the Insecticidal
- 36 Activities of Three Plants against Two Devastating Insects: Callosobruchus maculatus and
- 37 Sitophilus zeamais. Open Access Library Journal, 3(12): 1-13.

38

- 39 Djenane D., Yangüela J., Derriche F., Bouarab L., Roncales P. (2012). Utilisation des
- 40 composés de feuilles d'olivier comme agents antimicrobiens ; application pour la
- conservation de la viande fraiche de dinde. Nature et Technologie, (07): 53-61.

42

Duh, P. D., Yeh, D. B., Yen, G. C. (1992). Extraction and identification of an antioxidative component from peanut hulls. J. Am. Oil Chem. SOC,69, 814-818.

3

**Duh P.D., Tu Y.Y., Yen G.C.** (1999). Antioxidant activity of water extract of Harng Jyur (*Chrysanthemum morifolium* Ramat). LWT-Food Science and Technology, 32(5): 269-277.

6

- 7 Ebrahimzadeh M.A., Nabavi S.M., Nabavi S.F. Eslami B. et Ehsanifar S. (2009).
- 8 Antioxidant activity of *Hyoscyamus squarrosus* fruits. Pharmacologyonline, 2: 644-650.

9

- 10 Ebrahimzadeh M.A., Nabavi S.M., Nabavi S.F., Eslami B. (2010). Antioxidant activity of
- the bulb and aerial parts of *Ornithogalum sintenisii* L. (*Liliaceae*) at flowering stage. Tropical
- Journal of Pharmaceutical Research, 9 (2): 141-148.

13

- **Ehrlich P.R., Raven P.H.** (1964). Butterflies and plants: A study in coevolution. Evolution,
- 15 18 (4): 586-608.

16

- 17 El Ouar I., Aribi N., Soltani-Mazouni N. (2010). Dosage des ecdyst éro îles chez Ephestia
- 18 kuehniella. O. Himmi (Ed.). Actes de la CIFE VI, Travaux de l'Institut Scientifique, Série
- 19 Zoologie, Rabat, (47), Tome I, 137-140.

20

- 21 El Idrissi M., Elhourri M., Amechrouq A., Boughdad A. (2014). Etude de l'activité
- 22 insecticide de l'huile essentielle de Dysphania ambrosio üles L. (Chenopodiaceae) sur
- 23 Sitophilus oryzae (Coleoptera: Curculionidae) [Study of the insecticidal activity of the
- 24 essential oil of Dysphania ambrosio üles L. (Chenopodiaceae) on Sitophilus oryzae
- 25 (Coleoptera: Curculionidae)]. J. Mater. Environ. Sci. 5 (4): 989-994.

26

- 27 Emamjomeh L., Imani S., Talebi K., Moharramipour S., Larijani K. (2014). Chimical
- 28 composition and insecticidal activity of essential oil of *Zataria multiflora* Boiss (*Lamiaceae*)
- 29 against Ephestia kuehniella (Lepidoptera: Pyralidae). European Journal of Experimental
- 30 Biology, 4(3): 253-257.

31

- Fahmi F., Tahrouch S., Hatimi A. (2013). Geoclimatic influences on flavonoids contents
- of the leaves of the argan treeInfluences g écclimatiques sur la composition en flavonoides des
- feuilles de l'arganier *Argania spinosa*. Journal of Materials and Environmental Science, 4(6):
- 35 881-886.

36

- Fares R., Bazzi S., Baydoun S.E., Abdel-Massih R.M. (2011). The antioxidant and anti-
- 38 proliferative activity of the Lebanese Olea europaea extract. Plant Foods for Human
- 39 Nutrition, 66(1): 58-63.

40

- 41 Farhat F. (2015). Fonction mitochondriale et espèces réactives dérivées de l'oxygène: effets
- du genre et de l'entra nement en endurance chez le rat Wistar et l'anguille europ éenne. Thèse
- de doctorat, Biologie cellulaire. Universit éde Bretagne occidentale Brest, France. 137p.

- 1 Favier A. (2003). Le stress oxydant: Intérêt conceptuel et expérimental dans la
- 2 compréhension des mécanismes des maladies et potentiel thérapeutique. L'actualité
- 3 chimique, novembre-décembre 108-115.

- 5 Feeny P. (1976). Plant apparency and chemical defense. In: Wallace, J.W., Mansell, R.L.
- 6 (Eds.), Biochemical Interactions between Plants and Insects. Recent Advances in
- 7 Phytochemistry, Plenum, NY. 10: 1–40p.

8

- 9 Fegeros K., Zervas G., Apsokardos F., Vastardis J., Apostolaki E. (1995). Nutritive
- 10 evaluation of ammonia treated olive tree leaves for lactating sheep. Small Ruminant Research,
- 11 17:9-15.

12

- 13 Fernando C.D., Soysa P. (2014). Total phenolic, flavonoid contents, in-vitro antioxidant
- activities and hepatoprotective effect of aqueous leaf extract of Atalantia ceylanica. BMC
- 15 Complementary and Alternative Medicine, 14(1): 395-402.

16

- 17 Ferreira I.C.F.R., Barros L., Soares M.E., Bastos M.L., Pereira J.A. (2007). Antioxidant
- activity and phenolic contents of Olea europaea L. leaves sprayed with different copper
- 19 formilations. Food Chemistry, 103(1): 188-195.

20

- Feyereisen R., Durst F. (1978). Ecdysterone biosynthesis: A Microsomal Cytochrome-P-
- 22 450-Linked Ecdysone 20-Monooxygenase from Tissues of the African Migratory Locust.
- European Journal of Biochemistry. 88(1): 37-47.

24

- Franco D., Sineiro J., Rubilar M., Sánchez M., Jerez M. Pinelo M., Costoya N., Núñez
- 26 M.J. (2008). Polyphenols from plant materials: extraction and antioxidant power.
- 27 Electronic Journal of environmental, Agricultural and Food Chemistry, 7(8): 3210-3216.

28

- 29 Frankel E.N., Huang S.W., Kanner J., German J.B. (1994). Interfacial phenomena in the
- 30 evaluation of antioxidants: bulk oils vs emulsions. Journal of agricultural and food
- 31 chemistry, 42(5): 1054-1059.

32

- 33 Frankel E.N., Meyer A.S. (2000). The problems of using one dimensional methods to
- evaluate multifunctional food and biological antioxidants. Journal of the Science of Food and
- 35 Agriculture, 80(13): 1925-1941.

36

- 37 Gaceb-Terrak R. (2010). Contribution à la connaissance des interactions palmier dattier
- 38 (Phoenix dactylifera L.)-agent causal du bayoud (Fusarium oxysporum f. sp. albedinis) par
- analyse phytochimiques des lipides et des phénylpropanoïdes. Thèse de Doctorat d'État,
- sp écialit é Biologie v ég étale, option phytochimie-phytopathologie. Universit é des Sciences et
- de la Technologie Houari Boumediene (USTHB), Alger. 198p.

42

- 1 Gallet C., Pellissier F. (2002). Interactions all dopathiques en milieu forestier. La v ég étation
- 2 foresti è e: gestion, enjeu et évolution. Revue Foresti è e Française, 54(6): 567-576

- 4 Gangwar M., Gautam M.K., Sharma A.K., Tripathi Y.B., Goel R.K., Nath G. (2014).
- 5 Antioxidant capacity and radical scavenging effect of polyphenol rich *Mallotus philippenensis*
- 6 fruit extract on human erythrocytes: an *in vitro* study. The Scientific World Journal, 1:1-9.

7

- 8 Garait B. (2006). Le stress oxydant induit par voie m étabolique (r égimes alimentaires) ou par
- 9 voie gazeuse (hyperoxie) et effet de la GliSODin®. Thèse de doctorat, discipline : Biologie
- 10 Cellulaire université Joseph Fournier, Grenoble I, France. 189p.

11

- 12 Garcia-Gomez A., Roig A., Bernal M.P. (2003). Composting of the solid fraction of olive
- 13 mill wastewater with olive leaves: organic matter degradation and biological activity.
- 14 Bioresource Technology, 86: 59-64.

15

- 16 Ghedira K. (2005). Les flavono ïles: structure, propriéés biologiques, rêle prophylactique et
- emplois en thérapeutique. Phytothérapie, 3(4): 162-169.

18

19 **Ghedira K. (2008).** L'olivier. Phytothérapie. 6, 83-89.

20

- 21 Gilbert L.I., Song Q., Rybczynski R. (1997). Control of ecdysteroidogenesis: Activation
- and inhibition of prothoracic gland activity. Invertebrate Neuroscience, 3(2-3): 205-216.

23

- 24 Golawska S., Kapusta I., Lukasik I., Wojcicka A. (2008). Effect of phenolics on the pea
- 25 aphid, Acyrthosiphon pisum [Harris] population on Pisum sativum L.
- 26 [Fabaceae]. Pestycydy/Pesticides, (3-4): 71-77.

27

- Goldsmith C.D., Vuong Q.V., Sadeqzadeh E., Stathopoulos C. E., Roach P.D., Scarlett
- 29 **C.J.** (2015). Phytochemical properties and anti-proliferative activity of *Olea europaea* L. leaf
- extracts against pancreatic cancer cells. Molecules, 20(7): 12992-13004.

31

- 32 Goldsmith C.D., Bond D.R., Jankowski H., Weidenhofer J., Stathopoulos C. E., Roach
- 33 P. D., Scarlett C.J. (2018). The Olive Biophenols Oleuropein and Hydroxytyrosol
- 34 Selectively Reduce Proliferation, Influence the Cell Cycle, and Induce Apoptosis in
- Pancreatic Cancer Cells. International Journal of Molecular Sciences, 19: 1-17.

36

- 37 Gordon M.H. (1990). The mechanism of the antioxidant action in vitro. Chapitre 1. In:
- 38 HUDSON, B. J. F. (Ed.), Food Antioxidants. London: Elsevier Applied Science. 1 18 p.

39

Goudable J., Favier A. (1997). Radicaux libres oxyg én és et antioxydants. Nutrition Clinique et M étabolisme, 11(2): 115-120.

- 43 Green P.S., Wickens G.E. (1989). The *olea europaea* complex. The Davis and Hedge
- Festschrift, ed. K Edimburg University press. 287-299p.

- 1 **Green P.S.** (2002). A revision of *Olea* L. (Oleaceae). Kew Bulletin, 57: 91-140.
- 2
- 3 Gul M.Z., Bhakshu L.M., Ahmad F., Kondapi A.K., Qureshi I.A., Ghazi I.A. (2011).
- 4 Evaluation of Abelmoschus moschatus extracts for antioxidant, free radical scavenging,
- 5 antimicrobial and antiproliferative activities using *in vitro* assays. BMC Complementary and
- 6 Alternative Medicine, 11(1): 64-75.

8 Guignard J. L. (2000). Biochimie v ég étale. 2 ème Ed Dunod. Paris. 274p.

9

- Guillouty A. (2016). Plantes médicinales et antioxydants. Thèse de doctorat en Pharmacie.
- 11 Universit é III Paul Sabatier Toulouse, France. 94 p.

12

- Gupta D. (2015). Methods for determination of antioxidant capacity: a review. International
- Journal of Pharmaceutical Sciences and Research, 6(2): 546-566.

15

- 16 Gutteridge, J. M. (1994). Biological origin of free radicals, and mechanisms of antioxidant
- protection. Chemico-Biological Interactions, 91(2-3): 133-140.

18

- 19 Haddouchi F., Chaouche T.M., Ksouri R., Medini F., Sekkal F.Z., Benmansour A.
- 20 (2014). Antioxidant activity profiling by spectrophotometric methods of aqueous methanolic
- 21 extracts of Helichrysum stoechas susp. rupestre and Phagnalon saxatile subsp. saxatile.
- 22 Chinese Journal of Natural Medicines, 12 (6): 415-422.

23

- Hadj Salem J. (2009). Extraction, identification, caract érisation des activit és biologiques de
- 25 flavono des de Nitraria retusa et synthèse dérivés acylés de ces molécules par voie
- enzymatique. Doctorat de l'institut national polytechnique de Loraine. France. 251 p.

27

- 28 Hagerman A.E., Butler L.G. (1978). Protein precipitation method for the quantitative
- determination of tannins. Journal of Agricultural and Food chemistry, 26(4): 809-812.

30

- Hagerman A.E., Butler L.G. (1989). Choosing appropriate methods and standards for
- assaying tannin. Journal of Chemical Ecology, 15 (6):1795-1809

33

- Halbwirth H. (2010). The creation and physiological relevance of divergent hydroxylation
- patterns in the flavonoid pathway. International Journal of Molecular Sciences, 11:595–621.

36

- Haleng J., Pincemail J., Defraigne J.O., Charlier C., Chapelle J.P. (2007). Le stress
- 38 oxydant. Revue m édicale de Li ège, 62(10): 628-38.

39

- 40 Hamdouch A., Asdadi A., Chebli B., Idrissi Hassani L.M. (2018). Phytochemical
- 41 screening, quantitative analysis and antioxidant activity of *Vitex agnus castus* L. (*Lamiaceae*)
- from South-East of Morocco. Arabian Journal of Medicinal & Aromatic Plants, 4(1): 9-18.

- 1 Hami, M., Ta bi, F. Smagge G., Soltani-Mazouni, N. (2005). Comparative toxicity of three
- 2 ecdysone agonist insecticides agonist the Mediterranean flour moth. Comm. Appl. Biol. Sci,
- 3 Ghent University, 70 (4):767-773.

- 5 Harchaoui-Ouafi M.S. (2007). Contribution à l'étude biochimique du palmier dattier
- 6 (Phoenix dactylifera L.). Analyse des polyphénols des folioles de cultivars dans un but
- 7 chimiotaxinomique. Thèse de doctorat en Sciences de la Nature, spécialité: Biologie v ég étale.
- 8 Universit é des Sciences et de la Technologie Houari Boumediene d'Alger. (USTHB). 125p.

9

Harborne J.B. (1998). Phytochemical Methods, A guide to modern techniques of plant analysis. 3 to dition. London; New York: Chapman and Hall. 295p.

12

- 13 Hayes J.E., Allen P., Brunton N., O'grady M.N., Kerry J.P. (2011). Phenolic composition
- and in vitro antioxidant capacity of four commercial phytochemical products: Olive leaf
- extract (*Olea europaea* L.), lutein, sesamol and ellagic acid. Food Chemistry, 126(3): 948-955.

16

- 17 Hennebelle T., Sahpaz S., Bailleul F. (2004). Polyphénols végétaux, sources, utilisations et
- potentiel dans la lutte contre le stress oxydatif. Phytoth érapie, 2(1): 3-6.

19

Hopkins W.G. (2003). Physiologie v ég étale. 2 ème Ed De Boeck. 514p.

21

- 22 **Idrissi Hassani M.** (1985). Etude de la variabilité flavonique chez deux conifères
- m éditerran éennes : Le pin maritime Pinus Pinaster Ait. et le Gen évrier thurif ère Juniperus
- 24 *thurifera* L. Thèse Doctorat 3 °cycle, UniversitéClaude Bernard Lyon I, Villeurbanne. 171p.

25

- 26 **Idrissi Hassani M., Hermas J. (2008).** Effects of *Peganum harmala* L. (*Zygophyllaceae*)
- 27 feeding on the digestive track of the migratory locust Schistocerca gregaria Forsk.
- 28 (Orthoptera, Acrididae). Zoology baetica, 19: 71-84.

29

Ignat I., Volf I., Popa V.I. (2011). A critical review of methods for characterization of polyphenolic compounds in fruits and vegetables. Food Chemistry, 126(4):1821 – 1835.

32

**Iwashina T. (2000).** The structure and distribution of the flavonoids in plants. Journal of Plant Research, 113: 287-299.

35

- 36 Irondi A.E., Anokam K.K., Chukwuma P.C. (2013). Phenological variation in the
- antioxidant properties and  $\alpha$ -amylase inhibitory of *Tetrapleura tetraptera* Pod. International
- Journal of Pharmaceutical Sciences and Drugs Research, 5(3): 108-112

39

- 40 Jan S., Khan M.R., Rashid U., Bokhari, J. (2013). Assessment of antioxidant potential,
- 41 total phenolics and flavonoids of different solvent fractions of Monotheca buxifolia
- fruit. Osong public health and research perspectives, 4(5): 246-254.

- Jay M., Gonnet J.F., Wollenweber E., Voirin B. (1975). Sur l'analyse qualitative des 1
- aglycones flavoniques dans une optique chimiotaxinomique. Phytochemistry, 14(7): 1605-2
- 1612. 3

- 5 Jay M., Reynaud J., Raymond O., Grossi C. (1996). Les compos és phénoliques et la 6 caract érisation des niveaux taxonomiques inferieur du monde v ég étal. Acta Botanica Gallica.
- 7 143 (6): 481-491.

8

9 Javaprakasha G.H., Singh R.P., Sakariah K.K. (2001). Antioxidant activity of grape seed (Vitis vinifera) extracts on peroxidation models in vitro. Food chemistry, 73(3): 285-290. 10

11

Jayaprakasha G.K., Selvi T., Sakariah K.K. (2003). Antibacterial and antioxidant activities 12 of grape (Vitis vinifera) seed extracts. Food research international, 36(2): 117-122. 13

14

- 15 Johnson J.A., Valero K.A., Hannel M.M. (1997). Effect of low temperature storage on
- reproduction of Indianmeal moth (Lepidoptera: Pyralidae). Crop 16 survival and
- Protection, 16(6): 519-523. 17

18

- 19 Johnson F., Seri-Kouassi B., Aboua L. R. N., Foua-Bi K. (2006). Utilisation de poudres et
- 20 d'extraits totaux issus de plantes locales des genres Ocimum sp. Et Mentha sp. Comme bio-
- pesticides dans la lutte contre Callosobruchus maculatus FAB. Agronomie Africaine 18 (3): 21
- 22 221-233

23

- 24 Kareem Z.M. (2012). Antioxidant activity of flavonoid extract from Olea europaea L.
- leaves. Journal of Thi-Qar Science, 3(3): 67-75. 25

26

- 27 Katalinic V., Milos M., Kulisic T., Jukic M. (2006). Screening of 70 medicinal plant 28
  - extracts for antioxidant capacity and total phenols. Food chemistry, 94(4): 550-557.

29

- Kchaou W., Abbes F., Blecker C., Attia H., Besbes S. (2013). Effects of extraction solvents 30
- on phenolic contents and antioxidant activities of Tunisian date varieties (*Phoenix dactylifera* 31
- 32 L.). Industrial Crops and Products, 45: 262-269.

33

- Kellouche A., Soltani N. (2004). Activit ébiologique des poudres de cinq plantes et de l'huile 34
- essentielle d'une d'entre elles sur Callosobruchus maculatus (F.). International Journal of 35
- Tropical Insect Science, 24(2): 184-191. 36

37

- Kheirkhah M., Ghasemi V., Yazdi A.K., Rahban S. (2015). Chemical composition and 38
- insecticidal activity of essential oil from Ziziphora clinopodioides Lam. used against the 39
- Mediterranean flour moth, Ephestia kuehniella Zeller. Journal of plant protection research 40
- 55(3): 260-265. 41

- 1 Khlif I., Jellali K., Michel T., Halabalaki M., Skaltsounis A.L., Allouche N. (2015).
- 2 Characteristics, phytochemical analysis and biological activities of extracts from Tunisian
- 3 Chetoui *Olea europaea* Variety. Journal of Chemistry, 2015: 1-11.

Konno K., Hirayama C., Yasui H., Nakamura M. (1999). Enzymatic activation of oleuropein: a protein crosslinker used as a chemical defense in the privet tree. Proceedings of the National Academy of Sciences, 96(16): 9159-9164.

8

- 9 Koudounas K., Banilas G., Michaelidis Ch., Demoliou C., Rigas S., Hatzopoulos P.
- 10 (2015). A defense-related *Olea europaea*  $\beta$ -glucosidase hydrolyses and activates oleuropein
- into a potent protein cross-linking agent. Journal of Experimental Botany, 66 (7): 2093-2106.

12

- 13 Kozlova T., Thummel C.S. (2000). Steroid Regulation of Postembryonic Development and
- Reproduction in Drosophila. Trends in Endocrinology & Metabolism, 11(7): 276-280.

15

- 16 Krief S. (2003). Méabolites secondaires des plantes et comportement animal: surveillance
- sanitaire et observations de l'alimentation des chimpanz & (Pan troglodytes schweinfurthii) en
- Ouganda. Activit és biologiques et étude chimique de plantes consomm és. Thèse de doctorat,
- 19 discipline : Écologie et Chimie des Substances Naturelles. Museum National d'Histoire
- 20 Naturelle-MNHN, Paris. 343p.

21

- 22 Kubola J., Siriamornpun S. (2008). Phenolic contents and antioxidant activities of bitter
- 23 gourd (Momordica charantia L.) leaf, stem and fruit fraction extracts in vitro. Food
- 24 chemistry, 110(4): 881-890.

25

- Kumar G., Kokati-Karthik L., Bhaskara-Rao K.V. (2013). Phytochemical composition
- 27 and in vitro antioxidant activity of aqueous extract of Aerva lanata (L.) Juss. ex Schult. Stem
- 28 (Amaranthaceae). Asian Pacific journal of tropical medicine, 6(3): 180-187.

29

- 30 Kumaran A., Karunakaran R.J. (2007). In Vitro antioxidant activities of methanol extracts
- of five *Phyllanthus* species from India. LWT, Food Science and Technology, 40 (2): 344-352.

32

- Laracine C. (1984). Etude de la variabilité flavonique intraspécifique chez deux conifères. :
- le Pin sylvestre et le Gen évrier commun. Thèse Doctorat 3<sup>e</sup> cycle, Universit éLyon. 193p.

35

- Lauranson J. (1989). Exploration de la diversit ébiochimique chez les conifères: contribution
- 37 à l'étude de l'hybridation Pinus uncinata Ram. X Pinus sylvestris L., et à la connaissance du
- complexe sp & fique *Pinus nigra* Arn. Thèse d'Etat, Universit & Claude Bernard-Lyon 1. 207p.

39

- 40 Lebreton Ph., Jay M., Voirin B., Bouchez M. P. (1967). Sur l'analyse qualitative et
- 41 quantitative des flavono ïles. Chimie analytique, 49(7): 375-383

- 1 Lee O.H., Lee B.Y., Lee J., Lee H.B., Son J.Y., Park C.S., Shetty K., Kim Y.C. (2009).
- 2 Assessment of phenolics-enriched extract and fractions of olive leaves and their antioxidant
- activities. Bioresource Technology, 100(23): 6107-6113.

Lee O.H., Lee B.Y. (2010). Antioxidant and antimicrobial activities of individual and combined phenolics in *Olea europaea* leaf extract. Bioresource technology, 101(10): 3751-3754.

8

- 9 Legrand G. (2015). Contribution à la caractérisation du métabolisme des acides
- 10 chlorog éniques chez la chicor ée : approches biochimique et mol éculaire. Thèse de doctorat en
- Sciences, discipline : Ingénierie des fonctions biologiques. Université de Lille 1 Sciences et
- 12 Technologies. 166p.

13

Leopoldini M., Russo N., Toscano M. (2011). The molecular basis of working mechanism of natural polyphenolic antioxidants. Food Chemistry. 125: 288-306.

16

17 **Le Tutour B., Guedon D. (1992).** Antioxidative activities of *Olea europaea* related phenolic compounds. Phytochemzstry, 31(4): 1173-1178.

19

- 20 Luis A., Gil N., Amaral M.E., Duarte A. P. (2012). Antioxidant activities of extracts from
- 21 Acacia melanoxylon, Acacia dealbata and Olea europaea and alkaloids
- estimation. International Journal of Pharmacy and Pharmaceutical Sciences, 4(1): 225-231.

23

- Maestri D.M., Nepote V., Lamarque A.L., Zygadlo J.A. (2006). Natural products as antioxidants. In: Phytochemistry: Advances in Research (edited by Imperato). 37(661): 105-
- 26 135. Kerala, India.

27

- 28 Macheix J.J., Fleuriet A., Jay-Allemand C. (2005). Les composés phénoliques des
- v ég étaux: un exemple de métabolites secondaires d'importance économique. PPUR presses
- 30 polytechniques. 192p.

31

- Mailoa M.N., Mahendradatta M., Laga A., Djide N. (2013). Tannin extract of guava leaves
- 33 (Psidium guajava L) variation with concentration organic solvents. International Journal of
- 34 Scientific & Technology Research, 2(9): 106-110.

35

Maire R. (1933). Études sur la flore et la végétation du Sahara central. Mémoires de la Sociétéd'Histoire Naturelle de l'Afrique du Nord N° 3, Mission du Hoggar II.166–168.

38

Maley J. (1980). Les changements climatiques de la fin du Tertiaire en Afrique: leur conséquence sur l'apparition du Sahara et de sa végétation. The Sahara and the Nile, 63-86.

41

42 **Martin S., Andriantsitohaina R.** (2002). Mécanismes de la protection cardiaque et vasculaire des polyphénols au niveau de l'endothélium. Ann. Cardiol. Ang éol. 51 : 304-315.

- 1 Martin-Garcia A.I., Moumen A., Yáñez Ruiz D.R., Molina Alcaide E., (2003). Chemical
- 2 composition and nutrients availability for goats and sheep of two-stage olive cake and olive
- 3 leaves. Animal Feed Science and Technology, 107: 61-74.

Mebirouk-Boudechiche L., Cherif M., Boudechiche L., Sammar F. (2014). Teneurs en compos és primaires et secondaires des feuilles d'arbustes fourragers de la région humide d'Algérie. Revue de M édecine V étérinaire, 165(11-12): 344-352.

8

- 9 Medail F., Quezel P., Besnard G., Khadari B. (2001). Systematics, ecology and
- 10 phylogeographic significance of Olea europaea L. ssp. maroccana (Greuter & Burdet) P.
- 11 Vargas et al., a relictual olive tree in south-west Morocco. Botanical Journal of the Linnean
- 12 Society, 137(3): 249-266.

13

- 14 Mediouni-Ben Jem âa J., Tersim N., Boushih E., Taleb-Toudert K., Khouja M.L. (2013).
- 15 Fumigant Control of the Mediterranean Flour Moth Ephestia kuehniella with the Noble
- Laurel Laurus nobilis essential Oils .Tunisian Journal of Plant Protection, 8(1): 33-44

17

- 18 Meftah H., Boughdad A., Bouchetla A. (2011). Effet biocide des extraits aqueux bruts de
- 19 Capsicum frutescens, Melia azedarach et Peganum harmala sur Euphyllura olivina Costa
- 20 (Homoptera, Psyllidae) en verger. Cahiers Agricultures, 20(6): 463-467.

21

- 22 Meftah H., Boughdad A., Bouchelta A. (2014). Comparison des param ètres
- biologiques et démographiques d'*Euphyllura olivina* Costa (Homoptera, Psyllidae) sur quatre
- variétés d'olivier. Journal Officiel Du Conseil Ol école International OLIVAE I, (120): 3-17.

25

- Meric K. (2005). Etude sur les compos és polyph énoliques en relation avec l'alimentation de
- 27 la tordeuse des bourgeons de l'epinette (*Choristoneura fumiferana* Clem.). Thèse de doctorat
- en sciences forestières. Université Laval. Quebec. 176p.

29

- 30 Mestar N.G., Boudiaf M.N., Lahcene S., Abbaci H., Aiche G.I., Metna B., Saadoun N.S.,
- 31 Taibi F., Houali K. (2018). Bio-insecticidal effects of Oleaster leaves aqueous extracts
- 32 against Psylla larvae (Euphyllura olivina (Costa)), a primary pest of Olea europaea L.
- 33 Cellular and Molecular Biology, 64 (15).

34

- Micol V., Caturla N., Pérez-Fons L., Más V., Pérez L., Estepa A. (2005). The olive leaf
- extract exhibits antiviral activity against viral haemorrhagic septicaemia rhabdovirus (VHSV).
- 37 Antiviral Research, 66(2-3): 129-136.

38

- 39 Mierziak J., Kostyn K., Kulma A. (2014). Flavonoids as important molecules of plant
- 40 interactions with the environment. Molecules, 19(10): 16240-16265.

- 42 Mkaouar S., Krichen F., Bahloul N., Allaf K., Kechaou N. (2018). Enhancement of
- 43 Bioactive Compounds and Antioxidant Activities of Olive (*Olea europaea* L.) Leaf Extract
- by Instant Controlled Pressure Drop. Food and Bioprocess Technology, 1-8.

1 NOAA. (2013). National Oceanic and Atmospheric Administration.

2

- 3 Mohammed H.H. (2013). Repellency of ethalonic extract of some indigenous plants against
- 4 Tribolium confusum (Coleoptera: Tenebrionidae). Journal of Agriculture and Veterinary
- 5 Science, 2(6): 27-31.

6

- 7 Mohammedi Z., Atik F. (2011). Impact of solvent extraction type on total polyphenols
- 8 content and biological activity from Tamarix aphylla (L.) karst. International Journal of
- 9 Pharmacology and Biological Sciences, 2 (1): 609-615.

10

- 11 Monod T. (1957). Les grandes divisions chorologiques de l'Afrique. CCTA/CSA, Publ. (24).
- 12 Londres. 147 p.

13

- 14 Moreno J., Barry P., Jimenez R. (1994). Morphological changes on the egg surface of
- 15 Ephestia kuehniella Zeller (Lepidoptera: Pyralidae) after parasitization by Phanerotoma
- 16 (Phanerotoma) ocularis Kohl (Hymenoptera: Braconidae). Journal Applied Entomology And
- 17 Zoology, 29(2): 282-284.

18

- 19 Morichau-Beauchant G., Brisou J. (1962). Le rôle d'un lépidopt ère en allergie respiratoire
- 20 (Éphestia kuhniella Zell). Revue Française d'Allergie, 2(2): 84-91.

21

- 22 Moualek I., Iratni Aiche G., Mestar Guechaoui N., Lahcene S., Houali K. (2016).
- 23 Antioxidant and anti-inflammatory activities of Arbutus unedo aqueous extract. Asian Pacific
- Journal of Tropical Biomedicine, 6(11): 937–944.

25

- Nabavi S.M., Ebrahimzadeh M.A., Nabavi S.F., Fazelian M., Eslami B. (2009). In vitro
- 27 antioxidant and free radical scavenging activity of *Diospyros lotus* and *Pyrus boissieriana*
- 28 growing in Iran. Pharmacognosy magazine, 5(18): 122 -126.

29

- Nashwa, Morsy F.S., Abdel-aziz M.E. (2014). Efficiently of olive (Olea europaea L.) leaf
- 31 extract as antioxidant and anticancer agents Journal of Agroalimentary Processes and
- 32 Technologies, 20(1): 46-53

33

- Nayak M.K., Collins P.J., Kopittke R.A. (2003). Residual toxicities and persistence of
- 35 organophosphorus insecticides mixed with carbaryl as structural treatments against three
- 36 liposcelidid psocid species (Psocoptera: Liposcelididae) infesting stored grain. Journal of
- 37 Stored Products Research, 39(4): 343-353

38

- 39 **Nefzaoui A.** (1995). Feeding value of Mediterranean ruminant feed resources. Advanced
- 40 course. Syria 12-23 March.

- 42 Ndomo A.F., Tapondjou A.L., Tendonkeng F., Tchouanguep F.M. (2009). Evaluation des
- propriétés insecticides des feuilles de Callistemon viminalis (Myrtaceae) contre les adultes
- 44 d'Acanthoscelides obtectus (Say) (Coleoptera ; Bruchidae). Tropicultura 27(3): 137-143

- 1 Orak H.H., Isbilir S.S., Yagar H. (2012). Determination of antioxidant properties of
- 2 lyophilized olive leaf water extracts obtained from 21 different cultivars. Food Science and
- 3 Biotechnology, 21(4): 1065-1074.

Ortega-Garc á F., Perag ón J. (2010). HPLC analysis of oleuropein, hydroxytyrosol, and tyrosol in stems and roots of *Olea europaea* L. cv. Picual during ripening. Journal of the Science of Food and Agriculture, 90(13): 2295-2300.

8

Ouguas Y., Hilal A., Elhadram I. (2010). Effet biocide des extraits phénoliques olécoles sur les adultes du psylle de l'olivier *Euphyllura olivina* costa (Homoptera: Psyllidae) sur deux variétés d'oliviers Menara et Arbequine au Maroc. Revue Ezzaitouna, 11(1): 1-15.

12

- Ould El Hadj M.D., Tankari Dan-Badjo A., Halouane F., Doumandji S. (2006). Toxicité
- compar ée des extraits de trois plantes acridifuges sur les larves du cinqui ème stade et sur les
- adultes de *Schistocerca gregaria* Forsk ål, 1775 (Orthoptera-Cyrtacanthacridinae). Secheresse,
- 16 17(3):407-414.

17

- Oyaizu M. (1986). Studies on products of browning reaction. Antioxidative Activities of Products of Browning Reaction Prepared from Glucosamine. The Japanese journal of nutrition
- and dietetics, 44(6): 307-315.

21

Ozenda P. (2004). Flore et v ég étation du Sahara. 3 ème ed. CNRS, Paris 662 pages.

23

Palici I.F. (2016). Valorisation des activités biologiques de certaines espèces végétales sahariennes nord-africaines. Thèse de doctorat en Sciences Agronomiques, Biotechnologies Agroalimentaires Université de Bordeaux. France. 150p.

27

Pandir D., Baş H. (2016). Compositional analysis and toxicity of four plant essential oils to different stages of Mediterranean flour moth, *Ephestia kuehniella* Zeller (Lepidoptera: Pyralidae). Türkiye Entomoloji Dergisi, 40(2): 185-195.

31

Park I.K., Lee S.G., Choi D.H., Park J.D., Ahn Y.J. (2003). Insecticidal activities of constituents identified in the essential oil from leaves of *Chamaecyparis obtusa* against *Callosobruchus chinensis* (L.) and *Sitophilus oryzae* (L.). Journal of Stored Products Research, 39(4): 375-384.

36

- Perrinjaquet-Moccetti T., Busjahn A., Schmidlin C., Schmidt A., Bradl B., Aydogan C. (2008). Food supplementation with an olive (*Olea europaea* L.) leaf extract reduces blood
- pressure in borderline hypertensive monozygotic twins. Phytotherapy Research, 22(9): 1239-
- 40 1242.

41

Pietta P.G. (2000). Flavonoids as antioxidants. Journal of Natural Products, 63(7): 1035 1042.

- Pincemail J., Bonjean K., Cayeux K., Defraigne J.O. (2002). M écanismes physiologiques
- de la défense antioxydante. Nutrition clinique et méabolisme, 16(4): 233-239.

- 4 Pereira A., Ferreira I., Marcelino F., Valentão P., Andrade P., Seabra R., Pereira J.
- 5 (2007). Phenolic compounds and antimicrobial activity of olive (Olea europaea L. Cv.
- 6 Cobran cosa) leaves. Molecules, 12(5): 1153-1162.

7

- 8 Prieto P., Pineda M., Aguilar M. (1999). Spectrophotometric quantitation of antioxidant
- 9 capacity through the formation of a phosphomolybdenum complex: specific application to the
- determination of vitamin E. Analytical biochemistry, 269(2): 337-341.

11

- 12 Quez & P. (1978). Analysis of the Flora of Mediterranean and Saharan Africa. Annals of the
- 13 Missouri Botanical Garden, 65(2): 479-534p.

14

- 15 Quez d P. (1954). Contribution à la flore de l'Afrique du Nord. Contribution à la flore du
- Hoggar. Bulletin de la société d'histoire naturelle de l'Afrique du Nord, 45 (1-2):55-67.

17

- 18 Rafiee Z., Jafari S.M., Alami M., Khomeiri M. (2011). Microwave-assisted extraction of
- 19 phenolic compounds from olive leaves; a comparison with maceration. Journal of Animal &
- 20 Plant Sciences, 21(4): 738-745.

21

- Raven P., Evert R.F., Eichhorn S.E. (2007). Biologie v ég étale. 2 ème édition, De Boeck
- 23 Sup érieur. 733 p.

24

- 25 Regnault-Roger C., Ribodeau M., Hamraoui A., Bareau I., Blanchard P., Gil-Munoz
- 26 M.I., Barberan F.T. (2004). Polyphenolic compounds of Mediterranean Lamiaceae and
- 27 investigation of orientational effects on Acanthoscelides obtectus (Say). Journal of Stored
- 28 Products Research, 40(4): 395-408.

29

- 30 **Rib éreau-Gayon P. (1968).** Les compos és phénoliques des v ég étaux. Edition Dunod Paris,
- 31 254 p.

32

- Rolland Y. (2004). Antioxydants naturels v ég étaux. Ol étagineux, Corps gras, Lipides, 11(6):
- 34 419-424.

35

- Ross J.A., Kasum C.M. (2002). Dietary flavonoids: bioavailability, metabolic effects, and
- safety. Annual Review of Nutrition, 22(1): 19-34.

38

- Rubio de Casas R., Besnard, G., Schönswetter P., Balaguer L., Vargas P. (2006).
- 40 Extensive gene flow blurs phylogeographic but not phylogenetic signal in *Olea europaea*
- 41 L. Theoretical and Applied Genetics, 113(4): 575-583.

- 1 Ruch R.J., Cheng S.J., Klaunig J.E. (1989). Prevention of cytotoxicity and inhibition of
- 2 intercellular communication by antioxidant catechins isolated from Chinese green tea.
- 3 Carcinogenesis, 10(6): 1003-1008.

Ryan D., Antolovich M., Prenzler P., Robards K., Lavee S. (2002). Biotransformations of phenolic compounds in *Olea europaea* L. Scientia Horticulturae, 92(2): 147-176.

7

Schröder R., Hilker M. (2008). The Relevance of Background Odor in Resource Location by Insects: A Behavioral Approach. BioScience, 58 (4): 308-316.

10

- 11 Saffidine K. (2015). Etude analytique et biologique des flavono des extraits de Carthamus
- 12 caeruleus L. et de Plantago major L. Thèse de doctorat en Sciences Filière: Biologie
- Sp écialit é microbiologie. Universit éFerhat Abbes 1, S écif. 132 p.

14

- 15 Saiah H., Allem R., El Kebir F.Z. (2016). Antioxidant and antibacterial activities of six
- 16 Algerian medicinal plants. International Journal of Pharmacy and Pharmaceutical
- 17 Sciences, 8(1): 367-74.

18

- 19 Salunke B.K., Kotkar H.M., Mendki P.S., Upasani S.M., Maheshwari V.L. (2005).
- 20 Efficacy of flavonoids in controlling *Callosobruchus chinensis* (L.)(Coleoptera: Bruchidae), a
- 21 post-harvest pest of grain legumes. Crop Protection, 24(10): 888-893.

22

- 23 Santos S.A., Pinto P.C., Silvestre A.J., Neto C.P. (2010). Chemical composition and
- 24 antioxidant activity of phenolic extracts of cork from Quercus suber L. Industrial Crops and
- 25 Products, 31(3): 521-526.

26

- 27 Savarese T.M., Strohsnitter W.C., Low H.P., Liu Q., Baik I., Okulicz W., Chelmow D.P.,
- 28 Lagiou P., Quesenberry P.J., Noller K.L., Hsieh C.C. (2007). Correlation of umbilical cord
- 29 blood hormones and growth factors with stem cell potential: implications for the prenatal
- origin of breast cancer hypothesis. Breast Cancer Research, 9(3), R29.

31

- 32 Scherer R., Godoy H.T. (2009). Antioxidant activity index (AAI) by the 2, 2-diphenyl-1-
- picrylhydrazyl method. Food chemistry, 112(3): 654-658.

34

- 35 Sedlacek J.D., Weston P.A., Barney R.J. (1996). Lepidoptera and Psocoptera. In:
- 36 «Integrated Management of Insects in Stored Products (B. Subramanyam. et D.W. Hagstrum.
- 37 Eds). Marcel Dekker, Inc., New York. 41–70.

38

- 39 Sereme A., Millogo-Rasolodimby J., Guinko S., Nacro M. (2008). Propriéé
- 40 thérapeutiques des plantes àtanins du Burkina Faso. Pharmacopée et Médecine traditionnelle
- 41 Africaines, 15: 41-49.

Sharififar F., Dehghn-Nudeh G., Mirtajaldini M. (2009). Major flavonoids with antioxidant activity from *Teucrium polium* L. Food Chemistry, 112(4): 885-888.

3

Sharma O.P., Bhat T.K. (2009). DPPH antioxidant assay revisited. Food chemistry, 113(4):
 1202-1205.

6

7 **Simmonds M.S.J.** (2001). Importance of flavonoids in insect-plant interaction: Feeding and oviposition. Phytochemistry. 56: 245-252.

9

Shirley B.W. (1996). Flavonoid biosythesis: new functions for old pathway. Plant Science. 1: 377-382.

12

Shi J., Nawaz H., Pohorly J., Mittal G., Kakuda Y., Jiang Y. (2005). Extraction of polyphenolics from plant material for functional foods-Engineering and technology. Food reviews international, 21(1): 139-166.

16

Singleton V. L., Rossi J.A. (1965). Colorimetry of total phenolics with phosphomolybdicphosphotungstic acid reagents. American journal of Enology and Viticulture, 16(3): 144-158.

19

- Smith S.L., Bollenbacher W.E., Cooper D.Y., Schleyer H., Wielgus J.J., Gilbert L.I. (1979). Ecdysone 20-Monooxygenase: Characterization of an insect cytochrome P-450
- dependent steroid hydroxylase. Molecular and Cellular Endocrinology, 15(3): 111-133.

23

Soltani-Mazouni N., Hami M., Gramdi H. (2012). Sublethal effects of methoxyfenozide on reproduction of the Mediterranean flour moth, *Ephestia Kuehniella* Zeller. Invertebrate reproduction & development, 56(2): 157-163.

27

Sroka Z., Cisowski W. (2003). Hydrogen peroxide scavenging, antioxidant and anti-radical activity of some phenolic acids. Food and Chemical Toxicology, 41(6): 753-758.

30

Stanković M.S. (2011). Total phenolic content, flavonoid concentration and antioxidant activity of *Marrubium peregrinum* L. extracts. Kragujevac Journal of Science, 33: 63-72.

33

**Suc J.P.** (1984). Origin and evolution of the Mediterranean vegetation and climate in Europe. Nature, 307(5950): 429 - 432.

36

Sümer F., Baş H., Koç M., Durak D., Öztemiz S. (2013). Insecticidal activity of essential oil of *Prangos ferulacea* (Umbelliferae) against *Ephestia kuehniella* (Lepidoptera: Pyralidae) and *Trichogramma embryophagum* (Hymenoptera: Trichogrammatidae). Turkish Journal of Agriculture and Forestry, 37(6): 719-725.

Swevers L., Latrou K. (1999). The ecdysone agonist tebufenozide (RH-5992) blocks the progression into the ecdysteroid-induced regulatory cascade and arrests silkmoth oogenesis at mid-vitellogenesis. Insect Biochemistry and Molecular Biology, 29 (11): 955-963.

4 5

6

**Taibi F., Smagghe G., Amrani L. et Soltani-Mazouni N. (2003).** Effect of ecdysone agonist RH-0345 on reproduction of mealworm, Tenebrio molitor. Comparative Biochemistry and Physiology Part C: Toxicology & Pharmacology, 135(3): 257-267.

7 8

Taibi F. (2007). Etude compar ée du développement et de la reproduction chez deux ravageurs des denrées stock ées *Ephestia kuehniella* et *Tenebrio molitor*: Aspect endocrinien en rapport avec l'impact d'un mimétique de l'hormone de mue RH-0345. Thèse de Doctorat en Biologie et Physiologie animale. Université d'Annaba, Algérie. 280 p.

13

- 14 Taibi F., Boumendjel M., Zaafour M., Sekiou O., Khaldi T., Delimi A., Abdessmad S.,
- 15 Rebani H., Chnouga H., Siakhene N., Boumendjel A, Messarah M. (2018). Conservation
- of stored food using plant's extracts. Effect of oregano (Origanum vulgaris) essential oil on
- 17 the reproduction and development of flour moth (Ephestia kuehniella). Cellular and
- 18 Molecular Biology 64(10): 05-11.

19

- 20 Tattini M., Remorini D., Pinelli P., Agati G., Saracini E., Traversi M.L., Massai R.
- 21 (2006). Morpho- anatomical, physiological and biochemical adjustments in response to root
- 22 zone salinity stress and high solar radiation in two Mediterranean evergreen shrubs, Myrtus
- 23 *communis* and *Pistacia lentiscus*. New Phytologist, 170(4): 779-794.

24

Teixeira da Silva J.A. (2004). Mining the essential oils of the Anthemideae. African Journal of biotechnology, 3(12): 706-720.

27

Tepe B., Sokmen M., Akpulat H.A., Sokmen A. (2006). Screening of the antioxidant potentials of six Salvia species from Turkey. Food Chemistry, 95(2): 200-204.

30

Tomar N.S., Sharma M., Agarwal R.M. (2015). Phytochimic alanalysis of *Jutropha curcas*L.during different seasons and development of wheat (*Trticumaestivum* L) are affected by
extracts /leachts of *Jutropha curcas* L. Physiol Mol Bio Plant 21(1): 43-50.

34

Touaibia M., Chaouch F.Z. (2015). Propriétés antioxydantes et antimicrobiennes des extraits de *Myrtus nivellei* Batt et Trab. Obtenus *in situ* et *in vitro*. Phytothérapie, 15(1): 16-22.

37

- Trabelsi N., Megdiche W., Ksouri R., Falleh H., Oueslati S., Bourgou S., Hajlaoui H.,
- 39 Abdelly C. (2010). Solvent effects on phenolic contents and biological activities of the
- 40 halophyte *Limoniastrum monopetalum* leaves. Food Sci Tech 43: 632-639.

- 42 Tsimogiannis D., Samiotaki M., Panayotou G., Oreopoulou V. (2007). Characterization of
- flavonoid subgroups and hydroxy substitution by HPLC-MS/MS. Molecules, 12(3): 593-606.

- Vanetten H.D., Mansfield J.W., Bailey J.A., Farmer E.E. (1994). Two Classes of Plant 1
- Antibiotics: Phytoalexins versus "Phytoant icipins". The Plant Cell, 1191-1192. 2

- Vercautern J. (1996). Polyphénols 96. 18<sup>th</sup> Internationnal conference on polyphenols. Ed. 4
- 5 INRA, Bordeaux, Paris. 31-43.

6

7 Visioli F., Galli C. (2002). Biological properties of olive oil phytochemicals. Critical reviews 8 in food science and nutrition, 42(3): 209-221.

9

- 10 Walker J.E., Saraste, M., Runswick M.J., Gay N.J. (1982). Distantly related sequences in
- 11 the alpha-and beta-subunits of ATP synthase, myosin, kinases and other ATP-requiring
- enzymes and a common nucleotide binding fold. The Journal of the European Molecular 12
- Biology Organization, 1(8): 945-951. 13

14

- 15 Wickens GE. (1976). The flora of Jebel Marra (Sudan) and its geographical affinities. Kew
- 16 Bull. Add. Ser. 5: 1-368

17

- Williams P.J., Geladi P., Britz T.J., Manley M. (2012). Investigation of fungal 18
- 19 development in maize kernels using NIR hyperspectral imaging and multivariate data analysis.
- 20 Journal of Cereal Science, 55(3): 272–278.

21

22 Woodward A., Coppock D.L. (1995). Role of plant defense in the utilization of native browse in southern Ethiopia. Agroforestry systems, 32(2): 147-161.

23

24

- 25 Xie P.J., Huang L.X., Zhang C.H., Zhang Y.L. (2015). Phenolic compositions, and
- antioxidant performance of olive leaf and fruit (Olea europaea L.) extracts and their 26
- 27 structure-activity relationships. Journal of Functional Foods, 16: 460-471.

28

- Xu B.J., Chang S.K.C. (2007). A comparative study on phenolic profiles and antioxidant 29
- 30 activities of legumes as affected by extraction solvents. Journal of food science, 72(2): S159-
- S166. 31

32

- 33 **Xu J.** (2010). Reproduction behavior of *Ephestia kuehniella* Zeller (Lepidoptea: Pyralidae).
- Degree of doctor of philosophy in entomology. Massey university Palmerson North New 34
- Zealand p 161 35

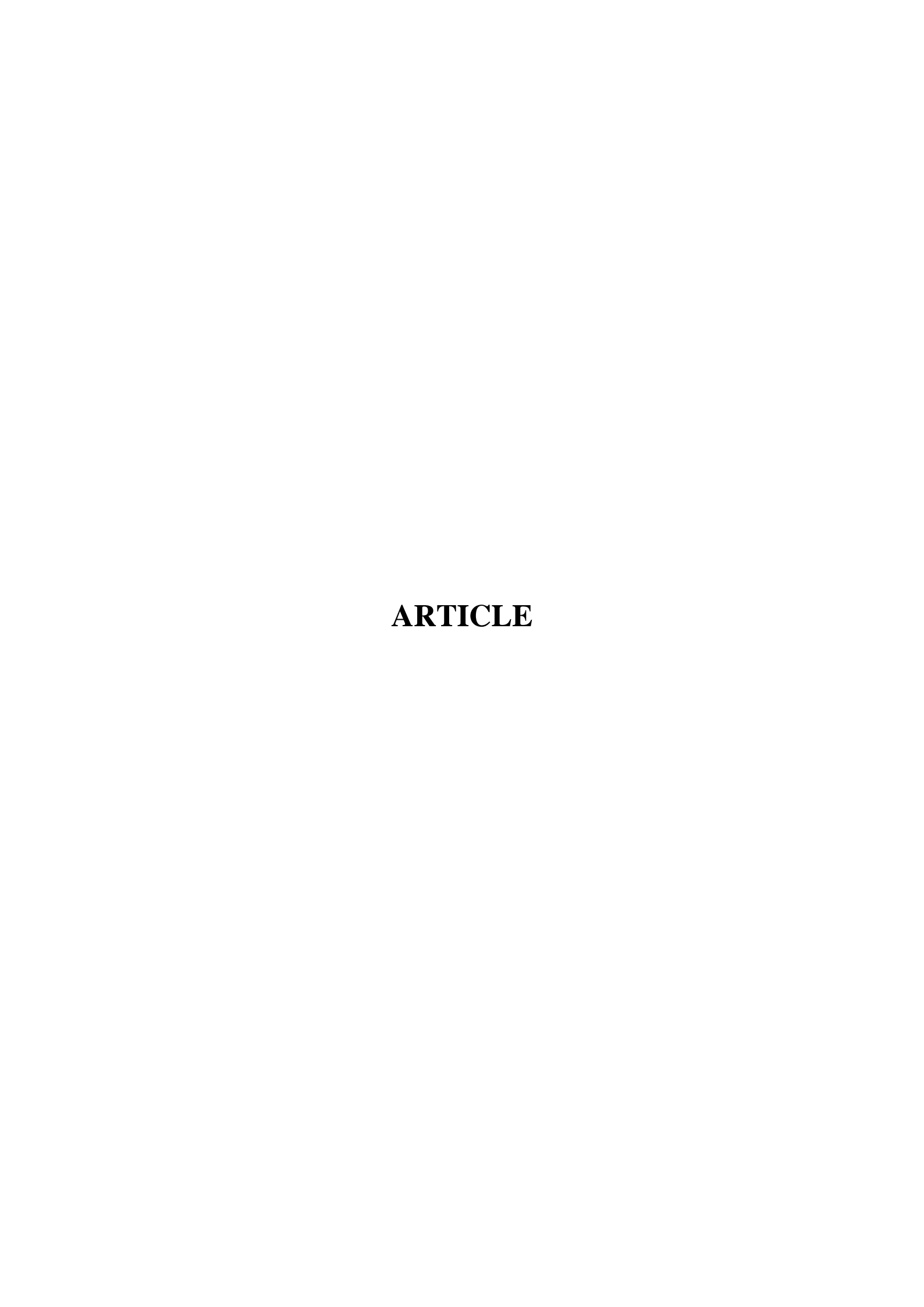
36

- Yen G.C., Duh P.D., Tsai H.L. (2002). Antioxidant and pro-oxidant properties of ascorbic 37
- 38 acid and gallic acid. Food Chemistry, 79(3): 307-313.

39

- Yezli-Touiker S., Soltani-Mazouni N. (2010). Profil des ecdystéro ïles durant la 40
- métamorphose et rapport avec le cycle cuticulaire chez Ephestia kuehniella (Insecta, 41
- Lepidoptera, Pyralidae). Synthèse: Revue des Sciences et de la Technologie, (22): 44-50. 42

Zeller P.C. Lepidopterologische Bemerkungen. Entomologische (1879). Zeitung herausgegeben dem entomologischen vereine zu Stettin, 40: 462-473. von [http://biodiversitylibrary.org/page/8989278] Zouiten N., El Hadrami I. (2001). Le psylle de l'olivier : Etat des connaissances et perspectives de lutte. Cahiers d'Etudes et de Recherches Francophones/Agricultures, 10(4) : 225-320. 





### Cellular and Molecular Biology

E-ISSN: 1165-158X/P-ISSN: 0145-5680

CMB Association

Original Research

www.cellmolbiol.org

# Insecticidal effects of the *Olea europaea* subsp. *laperrinei* extracts on the flour Pyralid *Ephestia kuehniella*

Souad Lahcene<sup>1</sup>, Faiza Taibi<sup>2</sup>, Nadjet Mestar<sup>1</sup>, Samira Ali Ahmed<sup>1</sup>, Mahieddine Boumendjel<sup>2</sup>, Saida Ouafi<sup>3</sup>, Karim Houali<sup>1\*</sup>

- <sup>1</sup> Laboratory of analytic biochemistry research and biotechnology (LABAB). Department of Biochemistry and Microbiology, Faculty of Biological Sciences and Agronomic Sciences. Mouloud Mammeri University, Tizi-. Ouzou, Algeria
- <sup>2</sup> Research Laboratory on the Biochemistry and the Environmental Toxicology. Department of biochemistry. Science faculty. Badji Mokhtar Annaba University. Algeria
- <sup>3</sup> Research laboratory of arid zones (LRZA). Department of Population and Organism Biology. Faculty of Biologics Sciences. Sciences and Technologies Houari Boumediene University Bab Ezzouar (USTHB) Algieria

Correspondence to: houalitizi@yahoo.fr

Received May 14, 2018; Accepted August 2, 2018; Published August 30, 2018

**Doi:** http://dx.doi.org/10.14715/cmb/2018.64.11.2

Copyright: © 2018 by the C.M.B. Association. All rights reserved.

**Abstract:** In the present study, the aerial parts of the Laperrine olive (*Olea europaea subsp. Laperrinei*) are subjected to acid extraction and the chemical composition of the extracts is determined by HPLC-DAD. The main compounds found in all of extracts are: hydroxytyrosol (30.45%), tyrosol (0.69%), oleuropein (32.76%), ferrulic acid (17.77%), quercetin (31.57%) and hesperetin (6.90%). The extracts obtained from the leafy stems of Laperrine olive tree are tested on the moth *Ephestia kuehniella* flour. Their administration by inhalation of newly exuviated chrysalises extends the duration of nymphalid development and disturbs the exuviated adults reproduction, by reducing the period in which the eggs are being laid. Thus, compared to the control insects, the number of eggs laid by treated females is significantly reduced after the treatment by extracts. Besides, the administration of different extracts of adult butterflies has a premature mortality effect.

Key words: Olea europaea subsp. Laperrinei; Polyphenols; Bio-insecticides; Ephestia kuehniella; HPLC.

#### Introduction

The Laperrine olive-tree or southern olive tree is under-species of the olive-tree belonging to the Oleaceae's family. According to Besnard et al. (1), this endemic species occurs in sub-arid to arid habitas and is observed in Algeria only in Central Sahara (Ahaggar, Taessa, Abeleheg, Hoggar, Tefedest, Tassili and Mouyedir), essentially in mountainous regions which altitude reaches 2800 m, with low precipitation under 100 mm (2). This olive-tree is now known as an under-species of the complex taxonomic *Olea europaea* (3). The Laperrine olive-tree which real scientific name is *Olea europaea* subsp. *laperrinei* (Batt. and Trab.) is now a taxon close to the Mediterranean rim olive-tree.

This is an important genetic resource for its drought resistance quality which can be used as a rootstock of different olive-tree varieties cultivated in arid regions (2).

Many storage systems rely on the use of synthetic insecticides and fumigants, such as methyl bromide and phosphine to control pests of stored products (4). Chemical pesticides are economical and effective, but have the disadvantage of causing resistance in treated insects and are harmful to the environment and to humans (5, 6). Plants produce many molecules against parasites. One of the research strategies is to study the plant and its extracts in order to identify some compounds that can be used as natural insecticides (7). Many studies

have shown that plant extracts are an alternative method of controlling insect pests of stored commodities because they are a source of bioactive natural compounds (8). These natural insecticides, called plant insecticides, have a great advantage over synthetic compounds because they are rapidly biodegradable (9).

The Laperrine olive-tree was not yet studied to evaluate its potential bio-insecticide activity; the literature lacks the quantitative or qualitative study of its phenolic compounds. Moreover, no evaluation study of insecticidal effect of olive leaves against *Ephestia kuehniella* was found. The present work is a preliminary study, which is a contribution to a better understanding of Laperrine olive tree and gives a way to value this plant as a bio-insecticide. Therefore, our aim in this study is to investigate the polyphenol content of Laperrine olive-tree leaves extract and the insecticidal effects against to *Ephestia kuehniella*.

The flour moth *Ephestia kuehniella* Zeller is a food moth which damages are exclusively caused by caterpillars. Its larvae mainly attack stocked food such as flour, cereals grains (rice, corn and wheat), semolina, pastas, and rarely dried fruit such as raisins, figs and apricots. They reduce the quality of product by their presence and cause direct damages in food because of chemicals produced by mandible glands (10).

#### **Materials and Methods**

#### Laperrine olive collection

The leaves and stems of *O. europaea* subsp *laperrinei* were gathered from Ouled Hanghassi in Tamanrasset's region (23°14'50.1"N, 5°29'13.7"E) on May 2015. Identification of the species was carried out according to the keys of the Ozenda flora manual (11). Authentication of the species is confirmed by Mr. Abdellah Salhi, Chief of the National Institute of Forestry Research Tamanrasset (INRF), Algeria. A reference specimen has been deposited at Mouloud Mammeri University (OLE1-2015 Tam, FSBSA / TO). The collected leaved stems are selected and dried in the open air, in the shade and protected from humidity.

#### **Insect material**

The moths were brought from Seybousse Mills in Annaba city (North-East of Algeria). The breeding is brought to the laboratory in a sterilizer under optimum development conditions, characterized by a temperature of 27 °C, a relative humidity nearing 70% and darkness (12, 13). The adults are laid down in glass jars with a volume of 1.5 l, 20 cm high and 10 cm diameter, containing flour and covered by a piece of tulle fabric fixed by an elastic band. A piece of cotton soaked with sugared water is laid on each jar in order to activate the growth of the pest insect. A daily follow-up allows to sex and to remove the male and female larvae in Petri dishes containing flour and pleated paper allowing larvae to enter the pupal stage (14). The distinction of the sexes is quite easy at the larval stage, where the male larvae have two brown spots on their posterior part corresponding to the testicles. Their dating is expressed in days after the nymph exuviations (15).

#### Plant extraction and bio-insecticide evaluation

The dried leaves and stems are grounded in an electro mechanical grinder. The achieved powders undergo an acid hydrolysis following the analytical protocol conceived by Lebreton et al. (16) and Jay et al. (17).

To two grams of vegetable powder we add 160 ml of 2N hydrochloric acid. The mixture is heated in a water bath at  $40 \,^{\circ}$  C. for  $40 \,^{\circ}$  minutes, with air being blown up every  $10 \,^{\circ}$  minutes. The aqueous phase is extracted three times with diethyl ether ( $60 \,^{\circ}$  ml  $-60 \,^{\circ}$  ml and  $40 \,^{\circ}$  ml).

This extraction makes it possible to collect the aglycones in the ethereal epiphase. The ether extracts are combined for spontaneous evaporation to dryness, under ventilated hood. The dry residue is recovered in 5 ml of methanol and stored at 4  $^{\circ}$ C.

The residual aqueous phase is taken up for the extraction of the C-glycosides with n-butanol (40 ml n-butanol: 40 ml). The butanol extract is evaporated to dryness, under a ventilated hood. The dry residue is recovered in 5 ml of methanol and stored at 4 °C. The raw extracts resulting from the hydrolysis are represented by the ether layer stemming from the leaves (LE) or from the stems (SE) and from a butanol phase obtained from the leaves (LB) or from the stems (SB). They are tested on the flour moth.

#### **Dosages**

#### Determination of flavones-aglycones content

The ethereal dry extract is recovered by methanol and adjusted in graduated flasks of 10 cm<sup>3</sup>. The differential dosage of total flavones-aglycones makes the Al<sup>++</sup> ions chelating properties infer on flavonoids. The height of the differential peak, proportionally to the concentration of flavones-flavonols which are present in the extract is determined by spectrometry on wavelength 430 nm. The total content of flavones-aglycones is expressed in mg of an equivalence quercetin/g of vegetable powder (mg EQ/g) using the following formula, Lebreton et al. (16):

T flavones- aglycones =  $(\Delta A/\epsilon)$  x M x V x (d/w) = 1. 3 x  $10^{-2}$  x  $\Delta A$  x V x (d/w), where  $\Delta A$  is the differential absorbance peak;  $\epsilon$  is the molar absorption coefficient of quercetin in aluminium chloride (=23000); M is the quercetin molar mass (= 302); V is the volume of flavones-aglycones methanol solution; d is the dilution factor and w is the dry weight of hydrolyzed plant material.

#### Determination of Anthocyanins content

The water-soluble anthocyanins is dosed by spectrophotometry at anthocyanins maximal wavelength between 500 and 560 nm. According to Lebreton et al. (16), the content of total proanthocyanins is expressed in mg of an equivalent procyanidin/g of vegetable powder (mg EPC/g), using the following formula: T anthocyanins =  $\eta$  x (A/ $\epsilon$ ) x M x V x (d/w) = 5.2 x  $10^{-2}$  x A x V x (d/w).  $\Omega$  is correction factor of oxidation yield of pro-anthocyanins into anthocyanins (estimated to 17%); A is the absorbance at the maximum absorption wavelength;  $\epsilon$  is the molar absorption coefficient of cyanidin (=34 700); M is cyanidin Molar Mass (=306); V is the volume of butanol phase; d is the dilution factor; w is the weight of dry matter of the hydrolysed vegetable material.

#### Determination of C. Glycosides content

The butanol dry extract is recovered in 10 cm<sup>3</sup> of methanol and dosed by spectrophotometry at a wavelength of 340nm. The content in total C-glucosides is expressed in mg equivalent orientin/g of vegetable powder (mg EO/g) with the following formula:

T C. glycosides =  $(A/\epsilon x M xV x (d/w) = 2.5 x 10^{-2} x A x V x (d/w)$ . A is the absorbance at the maximum absorption wavelength;  $\epsilon$  is the molar absorption coefficient of orientin (=18850); M is the orientin molar mass (= 448); V is the volume of the methanol solution; d is the dilution factor and w is the dry weight of hydrolyzed plant material.

#### **Chemical composition**

Chemical analysis of different extracts is obtained by DAD liquid chromatography (Agilent Serial 1100) under the following conditions: the mobile phase corresponds to acidified water at 0.2% with acetic acid at pH 3.1 and with acetonitrile by linear elution gradient during 30 minutes at 1.5ml/min, starting with 95% of water and with 100% of acetonitrile. The injected volume corresponds to 5µl of extract diluted in methanol. The identification of different compounds is made by comparing

different time standards under the same conditions (18).

#### Treatment by inhalation

In order to estimate the insecticidal effect of the olive-tree raw extracts, they are administered to chrysalises and to newly exuviated adults by inhalation (saturation of their environment) (14). The different extracts are sprayed on filter paper and deposited into Petri dish or into the insect tubes.

As for the chrysalises, in a Petri dish, the raw extract is sprayed on a pleated paper on which are laid four newly exuviated female pupae immediately after the nymph exuviations which represents the early development of lepidopterous ovaries (13). This administration at the stage of the life cycle is a test for the fertility of females and the percentage of eggs lay. Seven repetitions are carried out for ach treatment; the control plates are treated with solubilisation solvent, represented by methanol.

In the case of adults, from their exuviation, a couple is displayed in a tube containing 30 g of flour. The crude extract is sprayed on a pleated paper introduced in the tube. Seven repetitions are handled by treatment, the control boxes are treated with methanol.

The effect of raw extracts on *Ephestia kuehniella* reproduction is assessed based on the following parameters:

- The nymph development duration which corresponds to the time expressed in days, which separates the nymph exuviations from the adult exuviations;
- The pre-oviposition period represented by the number of days separating the adult emergence from the beginning of the egg laying;
- The period of oviposition is estimated by the number of egg laying days;
- The female fertility, which corresponds to the number of eggs, lay during the whole oviposition duration.

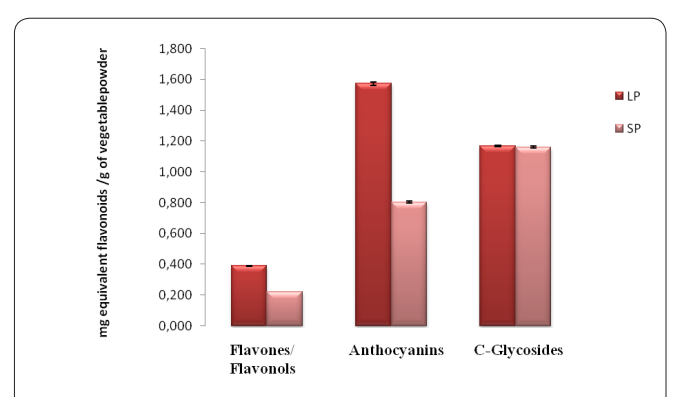
Then, ten newly exuviated male and female adults are introduced in a tube of 15 cm length and 3 cm diameter, containing 30 g of flour. The treatment is done by a raw extract atomization of pleated paper which is in the tube. The action is repeated thrice. The control tubes are treated with methanol. The toxicity tests of the various extracts are made on the daily count of the dead treated insects over a period of 21 days, corresponding to a 100% control mortality rate (7). We aim to estimate the insects longevity submitted to the olive-tree raw extracts. The longevity is estimated through the mortality rate of the treated control insects which is calculated by the following formula:

Observed mortality = (Number of dead individuals/ Number of total individuals) x100. The experiment lasts 21 days.

#### Statistical analysis

The results are expressed under an average form affected by its standard deviation. The t-Student test is used to analyze the level of statistical significance between the series of averages treated by pairs in the case of the conducted dosages.

The influence of the different extracts on the moth reproduction parameters is subject to an ANOVA to a factor. The normality of the data is specified at first by the Pearson test. The statistical analysis is realized with



**Figure 1.** Flavone compounds content of different extracts obtained from the leaves powder (LP) and from the stems powder (SP) of the Laperrine olive-tree.

the software program Statbox 6. In the case of a significant difference, we use the Newman-Keuls test to define the homogeneous groups.

#### Results

#### **Dosages**

Figure 1 recaps the calculation results of phenolic compounds contents extracted from the Laperrine olivetree leaved stems. The data statistical analysis shows a significant difference (P < 0.001), of the flavones-flavonols and anthocyanins absolute content. Indeed, we can notice in the case of leaves powder, an average content of  $0.389 \pm 0.004$  mg equivalent quercetin /g of vegetable powder and  $1.573 \pm 0.012$  mg equivalent procyanidin /g of vegetable powder, whereas in the case of stems powder, we can record  $0.21 \pm 0.06$  mg equivalent quercetin /g of vegetable powder and  $0.803 \pm 0.006$  mg equivalent procyanidin /g of vegetable powder. As for the C-glycosides the Student test enhances a significant difference with an average of  $1.167 \pm 0.002$  mg equivalent orientin/g of vegetable powder for LP (Leaves Powder) and  $1.161 \pm 0.001$  mg equivalent orientin /g of vegetable powder for SP (Stems Powder).

The results of dosages realized in both phases produced by the leaves powder and the stems powder show a very significant difference in favor of the leaves extracts.

#### **Chemical composition**

The chemical composition of different extracts is carried out by liquid chromatography. 21 compounds are identified "Table 1". Our results show the presence, in all extracts, of hydroxytyrosol, tyrosol and oleuropein specific to *Olea europaea* (19).

### Laperrine olive-tree raw extracts effect on *Ephestia kuehniella* reproduction

## Raw extracts effect on the nymphal development period

The raw extracts applied at a chrysalis stage of the *Ephestia kuehniella*, all extend the duration of pupal development compared to the control insects, for which we record a value of  $7.14 \pm 0.24$  days.

The applied statistical test brings out a significant effect (P < 0.001), we obtain an average of  $38.29 \pm 0.41$  days for LB. The pupae exuviation is done after 14.29

Table 1. Main chemical compounds identified in olive tree Laperrine extracts.

Chemical compounds	Ethereal Leaves extract		Ethereal Stems extract		Butanol Leaves extract		Butanol Stems extract	
	Retention time (min)	Area (%)	Retention time (min)	Area (%)	Retention time (min)	Area (%)	Retention time (min)	Area (%)
Hydroxytyrosol	4.838	30.45	4.853	18.78	4.830	5.32	4.850	8.47
Tyrosol	5.898	0.45	-	-	5.852	0.43	5.887	0.69
Caffein	-	-	6.467	0.49	6.453	0.75	4.483	0.71
Aesculein Acid	-	-	-	-	-	-	7.002	1.36
Caffeic Acid	7.062	0.61	-	-	7.046	0.84	-	-
Vanillin	8.673	2.12	8.656	1.06	-	-	-	-
Ferrulic acid	9.257	5.40	9.233	0.95	9.234	6.65	9.239	17.77
P coumarique acid	-	-	-	-	-	-	9.672	2.03
3 hydroxy 4 methoxycinamic Acid	-	-	-	-	9.773	0.79	9.799	0.79
Oleuropein	10.119	4.13	10.198	32.76	10.103	4.86	10.222	13.21
Naringenine 7 oglucoside	-	-	10.456	2.38	-	-	10.490	2.86
3,4,5 trimethoxybenzoic acid	-	-	10.817	4.99	-	-	10.814	4.25
m-anisic acid	-	-	-	-	11.938	1.75	-	-
Luteolin	12.491	1.31	-	-	-	-	-	-
Quercetin	12.865	29.18	12.901	11.43	12.787	22.31	12.866	31.57
cinamic acid	13.897	1.35	-	-	-	-	-	-
Apigenin	-	-	-	-	14.379	3.31	14.367	1.90
Hesperetin	15.028	6.90	15.056	5.63	15.061	2.54	15.006	4.28
Orientin	-	-	-	-	17.729	2.75	17.741	0.49
Vitexin	-	-	-	-	18.192	1.96	18.177	1.34
Isovitexin	-	-	-	-	18.495	1.24	18.468	1.07

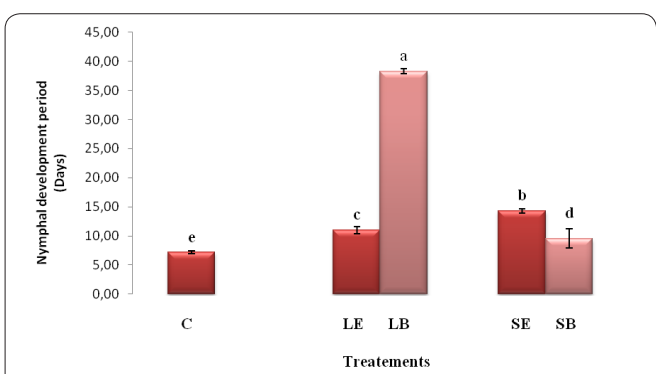
<sup>- :</sup> Absence.

 $\pm$  0.41 days for SE, 11.00  $\pm$  0.57 days pour LE and 9.57  $\pm$  1.63 days in the case of SB.

Thus, the most interesting insecticide effect seems to be the effect corresponding to the butanol extract from the leaves 'powder for which the pupae exuviation is effective only from the 38th day and to the effect of ethereal extract obtained from the stems powder with a pupae development which lasts till the 14th day "Figure 2".

#### Laperrine olive-tree raw extracts effect on the pre-oviposition period

The comparative examination of the after-treatment results shows a significant difference (P < 0.01) between SB, corresponding to the homogeneous group a, for which the pre-oviposition period is on average of 1.57



**Figure 2**. The period of nymphal development related to the applied treatment (LE: Ethereal Leaves extract, LB: Butanol Leaves Extract, SE: Ethereal Stems extract, SB: Butanol Stems extract, C: Control and a, b, c, d, e: Homogeneous groups).

 $\pm$  0.49 days and the control which presents an average value of 1.00  $\pm$  0 days.

In comparison with the control, the treatments left do not present any significant difference "Table 2", as the statistical performed test class them all in the same homogeneous group. Group b which presents an average pre-oviposition period of  $1.00 \pm 0$  days.

### Laperrine olive-tree raw extracts effect on the oviposition period

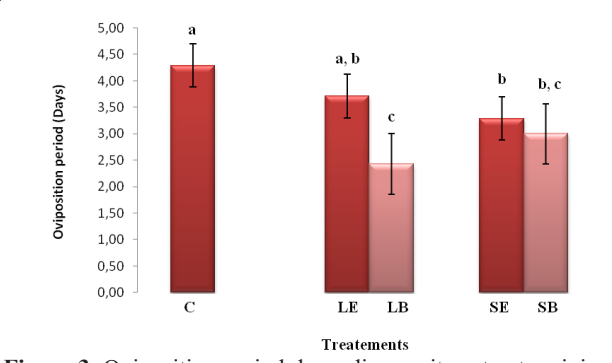
One day after the mating, the *Ephestia kuehniella* control female starts its egg laying which lasts on average  $4.29 \pm 0.41$  days.

Figure 3 shows that when the LB extract is applied, the number of days of the female egg laying diminishes in a significant way (P < 0.001); Indeed, the oviposition period is reduced by half with an average value of  $2.43 \pm 0.49$  days, we can count  $3.00 \pm 0.57$  for SB,  $3.29 \pm 0.41$  days for SE and  $3.71 \pm 0.41$  days for LE.

### Laperrine olive-tree raw extracts effect on the Ephestia kuehniella female fecundity

The application of raw extracts on the female para-**Table 2**. The Laperrine olive-tree raw extracts effect on the *Ephestia kuehniella* pre-oviposition period.

	Control	Leaves powder	Stems powder
Ether extract	1.00 + 0	$1.00\pm0$	$1.00\pm0$
Butanol extract	$1.00 \pm 0$	$1.14{\pm}~0.24$	$1.57 \pm 0.49$



**Figure 3**. Oviposition period depending on its extracts origin and depending on the applied treatments (LE: Ethereal Leaves extract, LB: Butanol Leaves extract, SE:Ethereal Stems extract, SB: Butanol Stems extract, C: Control and a, b, c: Homogeneous groups).

site reduces on average of 1/4 the number of laid eggs during the oviposition duration in comparison with the control, which counts an average of 190.71  $\pm$  10.04 eggs. The ANOVA presents a significant effect (P < 0.001) with an average value of 40.57  $\pm$  7.35 eggs for LE, 41.86  $\pm$  13.02 eggs for SE and respectively 56.71  $\pm$  10.04 eggs and 51.86  $\pm$  21.31 eggs in the case of LB and of SB "Figure 4".

Thus, all the tested extracts seem to have the same effect on the *Ephestia kuehniella* female, as the Newman-Keuls test class them all in the same homogeneous group, the b group.

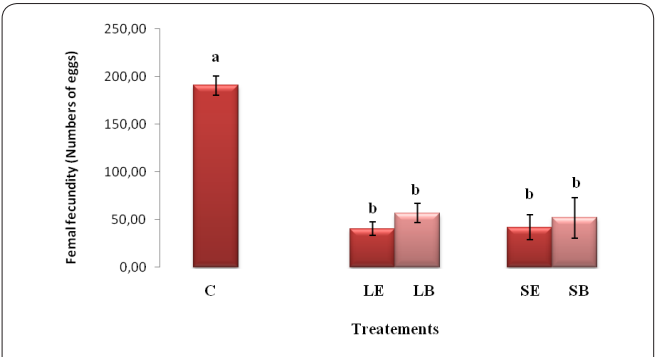
### Laperrine olive-tree raw extracts effect on the Ephestia kuehniella adults mortality

The Laperrine olive-tree raw extracts are administered on the *Ephestia kuehniella* pest by inhalation, in order to estimate their insecticide activity on the adults mortality.

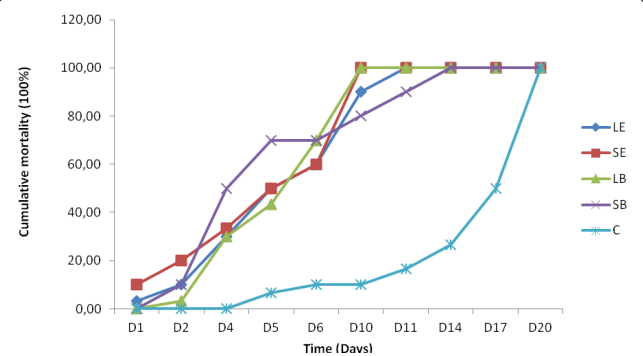
From the adult exuviation, many insects are placed in a tube containing pleated paper sprayed with the raw extract. A daily counting of dead adults is done until it reaches 100% mortality.

The illustrating results in Figure 5 show that the applied treatment has an efficient insecticide effect on the pest insects.

In the optimum development conditions, the control adults mortality significantly starts on day 5 of the breeding. Indeed, we can record an average value of  $6.67 \pm 4.44$  %. After the application of the LE and SE extracts on adults, immediate effects arise. Those effects may result in an average mortality rate 24 h after the



**Figure 4**. Female fecundity according to the applied treatments (LE: Ethereal Leaves extract, LB: Butanol Leaves extract, SE: Ethereal Stems extract, SB: Butanol Stems extract, C: Control and a, b: Homogeneous groups).



**Figure 5**. Adults mortality kinetics after the administration by inhalation of the extracts. LE: Ethereal Leaves extract, LB: Butanol Leaves extract, SE: Ethereal Stems extract, SB: Butanol Stems extract and C: Control.

beginning of the experiment,  $3.33 \pm 4.44$  % for LE and  $10.00 \pm 6.67$  % for SE.

As for the adults treated by LB and SB, we can notice a starting mortality in day 2 of the treatment with respective average values of  $3.33 \pm 4.44$  % and  $10.00 \pm 6.67$  %.

A lethality of 50% is recorded in day 4 of the treatment with SB (50  $\pm$  6.67%), and in day 5 for the LE treatments (50  $\pm$  6.67%) and SE (50  $\pm$  0%). That value is not reached until the 5<sup>th</sup> and 6<sup>th</sup> day of the LB treatment exposure, and only in day 17 in the case of the control insects (50  $\pm$  0%).

The mortality rate is significantly marked for each day of the experiment. The control adults insects live on average 20 days after which, we can count 100% mortality.

In relationship with the obtained results, it seems that the whole insects die after 10 days exposure to the SE and LB extracts, after an eleven-day-treatment with LE, and a fourteen-day-treatment with SB to have all the adult insects dead.

#### **Discussion**

The quantitative analysis by the UV-visible spectrophotometry method, of the phenolic extracts of *Olea europaea* subsp. *Laperrinei*, allowed us to assess their average amount of flavones-flavonols, which correspond to the average value of  $0.389 \pm 0.004$  mg/g for the leaves powder and  $0.221 \pm 0.006$  mg/g for the stems powder, in anthocyanin, we have  $1.573 \pm 0.012$  mg/g in the case of leaves powder and  $0.803 \pm 0.006$  mg/g for the stems powder. As for the C-glycosides, we calculate an average amount of  $1.167 \pm 0.002$  mg/g, in the case of leaves powder and  $1.161 \pm 0.001$  mg/g for the stems powder. Those amounts clearly reveal that the Laperrine olive-tree leaves contain more phenolic compounds than the stems.

The results of chemical analysis of various extracts show that the levels and types of identified compounds vary according to the nature of extract. Our results are relevant to the work of Nashwa et al. (20), who identifies quercitin, apigenin, oleuropein and hesperetin in leaf extracts *Olea europaea* L, according to Pereira et al. (21) and Dekanski et al. (22), who found the presence of caffeic acid, quercitin, luteolin, apigenin and oleuropein in the same extract.

Great deals of studies have shown that flavonoids

are implied in the mechanisms of plants defense against insects attacks. That property seems to apply *in vitro* conditions, as according to Teixeira da Silva (23) and Golawska et al. (24), flavonoids have an insecticide effect. This observation supports our experiment. Our study reveals an insecticide effect of flavone extracts obtained from the leaves powder and from the stems powder of the Laperrine olive-tree on *Ephestia kuehniella*. The inhalation of raw extracts by the chrysalis extends their pupal development duration and disturbs the adults reproduction. Out of the four tested extracts, only SB seems to extend the pre-oviposition period in a significant way.

We can notice that after the mating the oviposition period is significantly reduced after the females exposure to the tested raw extracts; nevertheless, the LB fraction mostly disturbs the adults reproduction, as it reduces the egg-laying period to 2.43 days in comparison to 4.29 days, observed in control in the optimum conditions of the moth reproduction.

All the obtained fractions from the Laperrine olivetree's powder disturb the adults fecundation by reducing on average of 2/3 the number of laid eggs.

The results obtained suggest that Laperrine olive extracts have an insecticidal effect against *E. kuehniella*. This effect is probably due to the presence of oleuropein, quercetin and apigenin which can play a fundamental role in bio-insecticidal activity (24, 25).

The different articles consulted show the effects of essential oils on the fecundity of stored food pests and supports our results obtained on *Ephestia kuehniella*. Thus, work on the essential oil extracted from the *Artemisia herba alba* white shows a disturbance of the reproduction of the pyral by lengthening the duration of the pre-ovipotion and of the nymphal development and reducing the period of laying (14). Even if the female is able to lay eggs, the number of eggs is reduced because of the reduction of oviposition period.

Similar results have been obtained with *Tagetes minuta*, *Hyptis suaveolaen*, *Ocinum canum*, *Ocimum basilicum* and *Piper guineense* (26). Kellouche et al. (27) have recorded no egg-laying with the *Callosobruchus maculatus* females after the administration of *Mentha* x *piperita* (Peppermint) essential oil with a dose of 20 µl /50 g. *Olea europaea* leaf powder has a limited effect on the number of eggs laid by the cowpea weevil.

The raw extracts interfere with a double mechanism on the insects reproduction and on their longevity. When administered to adults, the Laperrine olive-tree raw extracts provoke a significant mortality rate in comparison to the control insects.

Indeed, we observe to start mortality from 24 hours after the experiment (3.33% -10.00%), between the 4<sup>th</sup> and the 6<sup>th</sup> day of the experiment, 50% of the adult insects die whereas the whole pests die between the 10<sup>th</sup> and the 14<sup>th</sup> day after the administration of our extracts.

Delimi et al. (14), have observed that the white wormwood essential oil is efficient against the pest *E.kuehniella*. The adults lifetime progressively diminishes with the increasing of the applied dose.

We can also notice that the Goosefoot (*Chenopodium*) and the Gum-trees (*Eucalyptus*) essential oils and the *Chenopodium ambrosioides* powder have a great insecticide activity.

They have been tested on six stored food pests *Callosobruchus maculatus*, *C. chinensis* (Cowpea weevil), *Acanthoscelides obtectus*, *Sitophilus granarius*, *S. zeamais* and *Prostephanus truncatus*. A concentration of 0.4% provoke a mortality of 60% of the Cowpea weevil after a two-day-treatment (28, 29).

According to Kellouche et al. (30), leaf powder of Olea europaea significantly reduces adult longevity of cowpea weevil. The acetone extract of leaf powder of Olea europaea variety Chamlali causes a 100% mortality in the adults of Myzus percicae and reduces the penetration of the *Phthorimaea operculella* larvae in potato tubers at 71.7% and the percentage of spawning of the female at 93.3% (25). In addition, fed on olive-leaf meal, adults of the Desert Locust (Schistocerca gregaria), remain brick red color and smooth, character indicating a persistent of juvenile state, which makes the olive tree a potential tool for preventive fight against desert locust (31). The work of Mohammed (32), on the ethanolic extract of the olive tree shows that it induces a mortality of 98.7% of the larvae and 80.9% of adults of Tribolium confusum. The treatment of twigs infected with psylla (Euphyllura olivina costa), with phenolic compounds extracted from the olive tree causes in adults an average mortality ranging from 63.5% to 71.7% depending on the variety infected (33).

The plants resources constitute a great bioactive molecules reservoir which can constitute solutions to the environmental issues of sustainable development. Those molecules naturally synthesized by plants play a role in retro-regulation of insects population by plants, a kind of natural regulator of the stored food products pests. Those molecules could be used as a substitute for synthetic chemicals which bad effects on ecosystems and on human health are clearly evident.

The Laperrine olive-tree plant extracts, an underspecies of Algerian Central Sahara have shown an insecticide double effect on the *Ephestia kuehniella* pest by extending in a significant way the pupal development duration and by affecting in a limited way the pre-oviposition period and reducing the oviposition period and the number of eggs laid by the female. A significant mortality rate is also observed depending on the administered extracts to the flour moth. Those results constitute a new run to explore in order to understand the mechanisms of molecular action of those extracts.

#### **Conflict of interest statement**

We declare that we have no conflict of interest.

#### Acknowledgments

We express our gratitude to Pr. Yasmina Benazzoug (USTHB) for her stimulating discussions and to Pr. Nadia Bouguedoura for the acid hydrolysis at the LRZA (USTHB).

We present our special thanks to Dr. Zhor Bettache and Dr. Tahar Benakmoun of the central laboratory of the scientific police for the HPLC analysis.

#### References

1. Besnard G, Anthelme F, Baali-Cherif D. The Laperrine's olive tree (Oleaceae): a wild genetic resource of the cultivated olive and a model-species for studying the biogeography of the Saharan Moun-

tains. Acta Bot Gallica. 2012; 159(3):319-328.

- 2. Baali-Cherif D, Besnard G. High genetic diversity and clonal growth in relict populations of *Olea europaea subsp. laperrinei* (Oleaceae) from Hoggar, Ageria Ann Bot. 2005; 96 (5): 823-830.
- 3. Green PS. A revision of *Olea L*. (Oleaceae). Kew Bull. 2002; 57: 91-140.
- 4. Kheirkhah M, Ghasemi V, Yazdi AK, Rahban S. Chemical composition and insecticidal activity of essential oil from *Ziziphora clinopodioides* Lam. used against the Mediterranean flour moth, *Ephestia kuehniella* Zeller. J Plant Prot Res. 2015, 55(3): 260-265.
- 5. Nayak MK, Collins PJ, Kopittke RA. Residual toxicities and persistence of organophosphorus
- insecticides mixed with carbaryl as structural treatments against three liposcelidid psocid species (Psocoptera: Liposcelididae) infesting stored grain. J Stored Prod Res. 2003; 39: 343-353.
- 6. Bilal H, Akram W, Ali Hassan S, Zia A, Bhatti AR, Mastoi MI, Aslam S. Insecticidal and Repellent Potential of Citrus Essential Oils Against *Tribolium castaneum* Herbst (Coleoptera: Tenebrionidae). Pakistan J. Zool. 2015; 47(4): 997-1002.
- 7.Chaib I. Research on insecticidal plants in Tunisia: Review and discussion of methodological approaches. Tunisian J Plant Prot. 2011; 6: 109-125.
- 8. Park IK, Lee SG, Choi DH, Park JD, Ahn YJ. Insecticidal activities of constituents identified in the essential oil from leaves of *Chamaecyparis obtusa* against *Callosobruchus chinensis* (L.) and *Sitophilus oryzae* (L.). J Stored Prod Res. 2003; 39: 375–384.
- 9. El idrissi M, Elhourri M, Amechrouq A, Boughdad A. Étude de l'activité insecticide de l'huile essentielle de *Dysphania ambrosioïdes* L. (Chenopodiaceae) sur *Sitophilus oryzae* (Coleoptera: Curculionidae) [Study of the insecticidal activity of the essential oil of *Dysphania ambrosioïdes* L. (Chenopodiaceae) on *Sitophilus oryzae* (Coleoptera: Curculionidae)]. J. Mater. Environ. Sci. 2014; 5 (4):989-994.
- 10. Johnson JA, Valero KA, Hnnal MM. Effect of low temperature storage on survival and reproduction of india meal moth (Lipidoptea: Pyralidae). Crop Prot. 1997; 16:519-523.
- 11. Ozenda P. Flore et végétation du Sahara. 3ème ed. CNRS, Paris, 2004.
- 12. Soltani-Mazouzi N, Hami M, Gramdi H. Sublethal effects of methoxyfenozideon reproduction of the mediterranean flour moth, *Ephestia kuehniella*. Invertebr Reprod Dev. 2012; 56(2):157-163.
- 13. Delimi A, Taibi F, Bouchelaghem S, Boumendjel ME, Hennouni-Siakhène N, Chefrour A. Chemical composition and insecticidal activity of essential oil of *Artemisia herba alba* (Asteraceae) against *Ephestia kuehniella* (Lepidoptera: Pyralidae). Int J Biosci. 2017; 10(2):130-137.
- 14. Delimi A, Taibi F, Fissah A, Gherib S, Bouhkari M, Cheffrour A. Bio-activité des huiles essentielles de l'Armoise blanche *Artemesia herba alba*: effet sur la reproduction et la mortalité des adultes d'un ravageur des denrées stockées *Ephestia kuehniella* (Lepidoptera). Afr Sci. 2013; 9(3): 82-90.
- 15. Taibi F, Smagghe G, Amrani L, Soltani-Mazouni N. Effect of ecdysone agonist RH-0345 on reproduction of mealworm, Tenebrio molitor. Comp Biochem Physiol. 2003; 135(3):257-267.
- 16. Lebreton Ph, Jay M, Voirin B, Bouchez MP. Sur l'analyse qualitative et quantitative des flavonoïdes. Chimie analytique. 1967; 49(7):375-383.
- 17. Jay M, Gonnet JF, Wollenwebere F, Voirin B. Sur l'analyse qua-

- litative et quantitative des aglycones flavoniques dans une optique chimiotaxinomique. Phytochem. 1975; 14 (7): 605-1612.
- 18. Ouafi S, Bounaga N. Phenolic compounds as markers for Algerian cultivars of the date palm *Phoenix dactylifera* L. Acta Hortic. 2010; 882:321-327.
- 19. Ortega-Garcia F, Peragon J. HPLC analysis of oleuropein, hydroxytyrosol and thyrosol in stems and roots of *Olea europaea* L. cv Picual during ripening. J sci food Agric. 2010; 20 (13): 2295-2300. 20. Nashwa, Morsy FS, Abdel-Aziz ME. Efficienty of olive (*Olea europaea* L.) leaf extract as antioxidant and anticancer agents. J Agroaliment Processes Technol. 2014; 20(1): 46-53.
- 21. Pereira AP, Ferreira ICFR, Marcelino F, Valentão P, Andrade PB, Seabra R, Estevinho L, Bento A, Pereira JA. Phenolic compounds and antimicrobial activity of olive (*Olea europaea* L. Cv. Cobrançosa) leaves. Molecules. 2007; 12: 1153-1162.
- 22. Dekanski D, Janicijevic-Hudomal S, Tadic V, Markovic G, Arsic I, Mitrovic DM. Phytochemical analysis and gastroprotective activity of an olive leaf extract. J Serb Chem Soc. 2009; 74 (4):367-377.
- 23. Teixeira da Silva JA. Mining the essential oils of the Anthemidae. Afr J Biothechnol. 2004; 3(12): 706-720.
- 24. Golawska S, Kapusta I, Lukasik I, Wojcicka A. Effect of phenolics on the pea aphid, *Acrythosiphon pisum* (Harris) population *Pisum sativum* L. (Fabaceae). Pestycydy/ Pesticides.2008; 3-4: 71-77.
- 25. Ben Hamouda A, Boussadia O, Khaoula B, Laarif A, Braham M. Studies on insecticidal and deterrent effect of olive leaf on *Muzus persicae* and *Phthorimaea operculella*. J Entomol Zool Studies. 2015; 3(6):294-297.
- 26. Keita SM, Vincent C, Schmit JP, Ramaswamy S, Bélanger A. Effect of various essential oils on *Callosobruchus maculatus* (F.) (Coleoptera: Bruchidae). J Stored Prod Res. 2000; 36 (4):355-364.
- 27. Kellouche A, Ait-Aider F, Labdaoui K, Moula D, Ouendi K, Hamadi N, Ouramdane A, Frerot B, Mellouk M. Biological activity of ten essential oils against cowpea beetle, *Callosobruchus maculatus Fabricius* (Coleoptera: Bruchidae). Int J Integ Biol. 2010; 10(2): 86-89
- 28. Tapondjou LA, Adle C, Bouda H, Fontem DA. Efficacy of powder and essential oil from *Chenopodium ambrosioides* leaves as post harvest grain protectant against six-stored product beetles. J Stored Prod Res. 2002; 38: 395-402.
- 29. Kosma P, Roméo B, Bouba D, Bouba-Armand A, Goudoum A. Bioefficacity of the powder of *Melia azedarach* seeds and leaves against *Callosobruchus maculatus*, on cowpea seeds (*Vigna unguiculata*) in storage. E3. J Agric Res Dev. 2014; 5 (4): 072-078.
- 30. Kellouche A, Soltani N. Activité biologique des poudres de cinq plantes et de l'huile essentielle d'une d'entre elles sur *Callosobru-chus maculatus* (F.). Int J Tropical insect sci. 2004; 24 (1):184-191.
- 31. Ben Hamouda A, Ammar M, Ben Hamouda MH. Effect of *Olea europaea* and *Cestrum parquii* leaves on the cuticule and brain of the desert locust, *Schistocerca gregaria* Forsk. (Orthoptera: Acrididae). Pest Technol. 2011; 5(1):55-58.
- 32. Mohammed HH. Repellency of ethalonic extract of some indigenous plants against *Tribolium confusum* (Coleoptera :Tenebrionidae). J Agric Vet Sci. 2013; 2(6): 27-31.
- 33. Ouguas Y, Hilal A, Elhadram I. Effet biocide des extraits phénoliques oléicoles sur les adultes du psylle de l'olivier *Euphyllura olivina* costa (Homoptera : Psyllidae) sur deux variétés d'olivier Menara et Arbequine au Maroc. Rev. Ezzaitouna.2010; 11(1):1-15.

#### **RESUME**

L'olivier de Laperrine est une espèce endémique observée en Algérie uniquement au Sahara Central, au Niger et au Soudan. Elle est proche de l'olivier méditerranéen et représente une ressource génétique importante. La qualité de sa résistance à la sécheresse, ferait d'elle un potentiel porte-greffe pour les différentes variétés d'olivier cultivées.

Cette étude porte sur la caract érisation chimique des extraits de l'olivier de Laperrine et l'évaluation de leur potentiel antioxydant et bio-insecticide. Dans ce contexte, l'activité antioxydante *in vitro* est d'érmin é par la capacit é antioxydante totale, les tests FRAP, DPPH, H<sub>2</sub>O<sub>2</sub> et l'inhibition du blanchiment du β-carot ène. L'analyse chimique nous a permis de détecter l'oleuropéine, l'hydroxytyrosol, la lutéoline, l'apigénine, l'acide caféique, la rutine, la naring énine-7-glucoside et la lut éoline-7-glucoside. Les dosages chimiques par spectrom érie UV-visibles ont mis en évidence de fortes teneurs en phénols, en flavono ïles et en tanins totaux. La richesse des extraits en polyphénols explique le potentiel antioxydant élevé de l'olivier de Laperrine. L'effet bio-insecticide des extraits a é é test é sur *Ephestia kuehniella*, insecte nuisible des denr és stock éss. Leur administration par inhalation à des chrysalides nouvellement exuvi ées, prolonge leur dur ée de développement nymphal et perturbe la reproduction des adultes. Test és sur des papillons adultes, les diff érents extraits provoquent une mortalit é pr écoce.

Mots-cl és: Hoggar, Olea europaea subsp. laperrinei, Polyph énols, HPLC, Activit é antioxydante, Bio-insecticide, Ephestia kuehniella, Reproduction.

#### **ABSTRACT**

The *Laperrine* olive tree is endemic specie observed in Algeria only in the Central Sahara, in Niger and in Sudan. It is close to the Mediterranean olive tree and represents an important genetic resource. The quality of its resistance to drought would make it a potential rootstock for the different varieties of olive cultivated.

This study concerns the chemical characterization of extracts from the Laperrine olive tree and the evaluation of their antioxidant and bio-insecticidal potential. In this context, the antioxidant activity in vitro is determined by the total antioxidant capacity, the FRAP, DPPH, H<sub>2</sub>O<sub>2</sub> tests and the inhibition of β-carotene bleaching. The chemical analysis allowed us to detect oleuropein, hydroxytyrosol, luteolin, apigenin, caffeic acid, rutin, naringenin-7-glucoside and luteolin-7-glucoside. Chemical dosages by UV-visible spectrometry have shown high levels of phenols, flavonoids and total tannins. The richness of the polyphenol extracts explains the high antioxidant potential of the Laperrine olive tree. The bio-insecticidal effect of the extracts has been tested on *Ephestia kuehniella*, a pest of stored food. Their administration by inhalation to newly exuviated pupae prolongs their duration of nymphal development and disturbs the reproduction of adults. Tested on adult butterflies, the different extracts cause early mortality.

**Keywords**: Hoggar, *Olea europaea* subsp. *laperrinei*, Polyphenols, CHLP, Antioxidant activity, Bio-insecticide, *Ephestia kuehniella*, Reproduction.